ATLAS DE LA BIODIVERSIDAD DE COLOMBIA.



Atlas de la Biodiversidad de Colombia: Anolis. Mejores modelos con el apoyo de expertos / editado por María Helena Olaya Rodríguez, Elkin Noguera Urbano y César Gutiérrez – 1 edición. - Bogotá, D.C. Instituto de Investigación de Recursos Biológicos Alexander von Humboldt, 2021.

72 p. ; 11.33 cm. X 7.65 cm Incluye referencias bibliográficas, tablas, fotografías a color, infografías, mapas ISBN digital: 978-958-5418-58-5

1. Modelo de distribución 2. Especies Anolis 3. Mapas 4. BioModelos I. Olaya-Rodríguez, María Helena (Ed), II. Noguera-Urbano, Elkin (Ed), III. Gutiérrez, César (Ed), IV. Instituto de Investigación de Recursos Biológicos Alexander von Humboldt

> CDD: 569.8 Ed. 23 Número de contribución: 605 Registro en el catálogo Humboldt: 15043

> > CEP – Biblioteca Francisco Matís, Instituto Alexander von Humboldt





EDICIÓN

María Helena Olaya-Rodríguez, Elkin Noguera-Urbano y César Gutiérrez

REVISIÓN CIENTÍFICA

Ángela P. Cuervo-Robayo y Martha Calderón

EQUIPO BIOMODELOS

Elkin Noguera-Urbano, María Helena Olaya-Rodríguez, Cristian Cruz-Rodríguez, Daniel López, César Gutiérrez, María Cecilia Londoño y José Manuel Ochoa

DISEÑO Y DIAGRAMACIÓN

César Gutiérrez

CORRECCIÓN DE ESTILO

Luz Adriana Moreno Gonzalez

FOTOGRAFÍAS BANCO DE IMÁGENES INSTITUTO HUMBOI DE

Felipe Villegas

ISBN OBRA DIGITAL

978-958-5418-58-5

CITACIÓN SUGERIDA

Moreno-Arias, R. A. et al. (2021). Atlas de la biodiversidad de Colombia. Anolis. Instituto de Investigación de Recursos Biológicos Alexander von Humboldt.

Bogotá D. C., Colombia. 72 pp.

Palabras clave

Modelos de distribución, especies anolis, anolis neotropicales, anolis continentales, reptiles, norte de Suramérica, mapas, BioModelos

Primera edición

Publicación editada por la Editorial Alexander von Humboldt

2021

Autores

EXPERTOS GRUPO ANOLIS

RAFAEL ÁNGEL MORENO ARIAS

Pontificia Universidad Javeriana Bogotá, Colombia.

JULIÁN A. VELASCO

Centro de Ciencias de la Atmósfera. Universidad Nacional Autónoma de México Ciudad de México, México.

JOSÉ NICOLÁS URBINA CARDONA

Pontificia Universidad Javeriana Bogotá, Colombia.

GLADYS CÁRDERNAS-ARÉVALO

Universidad Nacional de Colombia Bogotá, Colombia.

GUIDO FABIAN MEDINA RANGEL

Universidad Nacional de Colombia Bogotá, Colombia.

PAUL DAVID ALFONSO GUTIÉRREZ CÁRDENAS

Universidad de Caldas Manizales, Colombia.

MARÍA HELENA OLAYA-RODRÍGUEZ

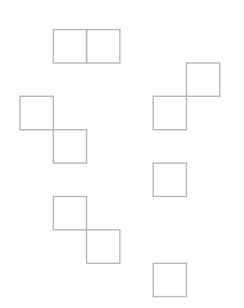
Instituto Humboldt Bogotá, Colombia.

CRISTIAN CRUZ-RODRÍGUEZ

Instituto Humboldt Bogotá, Colombia.

ELKIN NOGUERA-URBANO

Instituto Humboldt Bogotá, Colombia.

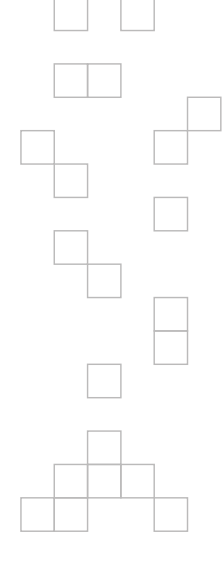


AGRADECIMIENTOS

A quienes amablemente compartieron las fotografías de varias especies, citados en cada especie. Los modelos de distribución de este Atlas fueron obtenidos gracias a la financiación para estancias posdoctorales de la Vicerrectoría de Investigación de la Pontificia Universidad Javeriana - PUJ (ID: 007750) y COLCIENCIAS -PUJ (Convocatoria 811 del año 2018; CTO 352 2019) otorgadas al primer autor (RM-A).

Contenido

Autores	02	Anolis fuscoauratus	23	Anolis rivalis	51
		Anolis gaigei	24	Anolis ruizii	52
Contenido	03	Anolis gemmosus	25	Anolis scypheus	53
Introducción		Anolis gracilipes	26	Anolis solitarius	54
Rafael Moreno Arias,	04	Anolis granuliceps	27	Anolis sulcifrons	55
Nicolás Urbina Cardona y Julián A. Velasco	04	Anolis heterodermus	28	Anolis tolimensis	56
Julian A. Velasco		Anolis huilae	29	Anolis trachyderma	57
Guía de lectura	05	Anolis jacare	30	Anolis transversalis	58
Ecomorfos y morfotipos	06	Anolis latifrons	31	Anolis triumphalis	59
Leomorros y morrotipos	00	Anolis limon	32	Anolis tropidogaster	60
Hábitats y microhábitats	06	Anolis lynchi	33	Anolis urraoi	61
Especies		Anolis lyra	34	Anolis vaupesianus	62
Anolis anchicayae	07	Anolis macrolepis	35	Anolis ventrimaculatus	63
Anolis anoriensis	08	Anolis maculigula	36	Anolis vittigerus	64
Anolis antioquiae	09	Anolis maculiventris	37	Riqueza y conservación	
Anolis antonii	10	Anolis mariarum	38	Rafael Moreno Arias y Elkin Noguera	65
Anolis apollinaris	11	Anolis megalopithecus	39		
Anolis auratus	12	Anolis nicefori	40	Anolis - autoridades ambientales Cristian Cruz y Elkin Noguera	66
Anolis biporcatus	13	Anolis notopholis	41		
Anolis bombiceps	14	Anolis onca	42	Anolis por departamento	67
Anolis calimae	15	Anolis ortonii	43	Cristian Cruz y Elkin Noguera	
Anolis chloris	16	Anolis parvauritus	44	Metodología	68
Anolis danieli	17	Anolis pentaprion	45	Rafael Moreno Arias y María Helena Olaya	
Anolis dracula	18	Anolis peraccae	46	Referencias	70
Anolis eulaemus	19	Anolis poecilopus	47		
Anolis fitchi	20	Anolis princeps	48		
Anolis fraseri	21	Anolis punctatus	49		
Anolis frenatus	22	Anolis purpurescens	50		
	1				1



Introducción

RAFAEL MORENO ARIAS, NICOLÁS URBINA CARDONA Y JULIÁN A. VELASCO

Grupo anfibios y reptiles de Colombia · BioModelos



Anolis heterodermus
Felipe Villegas
Banco de imágenes IAvH

Los Anolis se distinguen de otras lagartijas del Neotrópico por presentar unas laminillas extendidas en la superficie ventral de sus dedos y por la presencia (en los machos adultos y también en los juveniles y las hembras de algunas especies) de un pliegue de piel extensible y colorido en su garganta (Losos, 2009). Las laminillas cumplen una función locomotora, facilitando su adhesión en los microhábitats arborícolas, mientras que el pliegue de piel extensible cumple una función en la comunicación intra e interespecífica. Los anolinos -especies pertenecientes al género Anolis y que viven en América- son un ejemplo del fenómeno de radiación adaptativa y de evolución convergente (Losos et al., 1998; Mahler et al., 2013; Moreno-Arias & Calderón-Espinosa, 2016; Poe y Anderson, 2019) ya gue su diversidad se debe a una combinación de procesos biogeográficos históricos y diversificación ecológica (Poe et al., 2017; Stroud y Losos, 2019). Esta diversificación ecológica se refleja en la estrecha relación entre la morfología de las especies y el microhábitat que ocupan, derivando en el término 'ecomorfo' (Williams, 1972) que define grupos de especies con características corporales y ecológicas similares, independientemente de su cercanía filogenética.

Los anolinos tuvieron un origen suramericano durante el Paleoceno y Eoceno (hace aprox. 64-46 millones de años) con subsecuentes eventos de dispersión entre las masas continentales y las islas del Caribe, diversificándose principalmente durante el Mioceno (Poe et al., 2017). Esta larga y compleja historia evolutiva los ubica como el género más diverso de las amniotas (Losos, 2009) con estimaciones entre 379 a 436 especies (Poe et al., 2017; Uetz et al., 2019) y entre 22 a 27 ecomorfos (Mahler et al., 2013; Poe y Anderson, 2019), distribuidos en casi toda América con excepción de Argentina, Canadá y Chile. Si bien los anolinos han sido un ejemplo de diversidad, estos también ha generado controversias en su clasificación taxonómica (Castañeda & de Queiroz, 2011; Nicholson et al., 2012, 2018; Poe, 2013; Poe et al., 2017), generando dificultades en el conocimiento de su historia natural y su conservación. Según la IUCN 2021, 55 especies están amenazadas, 18 % de las 305 evaluadas.

Colombia tiene un lugar privilegiado en la historia evolutiva de los *Anolis* continentales porque hace parte del área donde han ocurrido eventos biogeográficos importantes para su diversificación. Actualmente se pueden encontrar en casi todos los ecosistemas del país desde el nivel del mar hasta la alta montaña. Colombia, con sus 78 especies y sus 10 ecomorfos (Moreno-Arias *et al.*, 2020), es el país con mayor diversidad de *Anolis* representando el 43% de la diversidad continental y el 20% de la diversidad global (Moreno-Arias y Calderón-Espinosa, 2016)). Posee entre el 37% y el 45% de la diversidad ecomorfológica conocida (Mahler *et al.*, 2013; Poe y Anderson, 2019). A pesar de la alta diversidad de anolinos en Colombia, su estado de conservación a nivel nacional indica que solamente tres especies están categorizadas como amenazadas: dos En Peligro -EN- y una En Peligro Crítico de extinción -CR-, mientras que la gran mayoría permanece como no amenazada (Morales-Betancourt *et al.*, 2015), principalmente por el limitado conocimiento de sus distribuciones y tendencias poblacionales.

Con base en lo anterior, es claro que Colombia necesita una iniciativa para integrar, articular y fortalecer el conocimiento sobre la diversidad de los anolinos. Dicho conocimiento deberia ser usado en la toma de decisiones para el manejo y conservación de estas especies y de los ecosistemas que habitan. Esta necesidad de articulación y visualización de la información ya existente, fue la principal motivación para la creación del presente Atlas de Biodiversidad. Se espera sea usado como insumo de las acciones en pro de la conservación y manejo de las especies de los escamados y sus hábitats. También se espera que con la información compilada por especie -extensión de ocurrencia, representatividad en el sistema de áreas protegidas, coberturas que habita y cambios futuros en su distribución geográfica por los cambios en el uso del suelo- se pueda actualizar la evaluación nacional del riesgo de extinción de las especies del género. Así mismo, se desea que la información del presente Atlas permita incluir a este importante grupo dentro de los estudios de impacto ambiental, planes de manejo ambiental y las compensaciones por pérdida de biodiversidad. Se presenta entonces, información de distribución sobre 58 especies continentales de Anolis, y las cifras relevantes sobre su estado de conservación en el territorio colombiano.

Guía de lectura

Rango de distribución -

Superficie de la distribución potencial

y remanente de la especie, medida en km²

Polígono mínimo convexo (PMC) sobre modelo

mínimo convexo sobre el rango de distribución

Superficie contenida dentro del polígono más pequeño

remanente. Inferido a partir del trazado de un polígono

que abarca la distribución potencial o la distribución

Categorías de amenaza -UICN-Ecomorfos y morfotipos IUCN 2021. La lista roja IUCN de Ver página 06 Nombre científico especies amenazadas. Nombre común Atlas de la Biodiversidad de Colombia · 2021 Foto de la especie **Autores** LC · Preocupación menor (HA) Expertos que participaron en la revisión, Anolis auratus edición y validación de las distribuciones potencial y remanente de la especie ANOLIS DE HIERBA BioModelos **ESTADÍSTICAS** Vínculo de la especie en BioModelos. RANGO DE DISTRIBUCIÓN para consultar y descargar los mapas R. Moreno-Arias, J. A. Velasco, 654 960 km² 206 162 km² (usuarios registrados) M. H. Olaya-Rodríguez P. D. Gutiérrez-Cárdenas y G. F. Medina-Rangelva Catálogo de la Biodiversidad 886 428 km² 800 813 km² Enlace del SiB Colombia para más CATÁLOGO DE LA BIODIVERSIDAD AOO información de la especie 2 515 220 km² 1100 km² Amenaza por huella humana DISTRIBUCIÓN POR COBERTURAS AMENAZA POR HUELLA HUMANA Porcentaje del rango de distribución Vegetación secundaria o en transición de la especie en cada una de las Bosque de galería y ripario Bosque fragmentado Arhustal Bosque abierto categorías de impacto del índice de REPRESENTATIVIDAD ÁREAS PROTEGIDAS huella espacial humana (IHEH): 8.6% 4.5 % 0.5 % 3.7 % natural 🕸 bajo 🎤 Otras figuras medio 🚜 alto 📠 (Correa-Ayram et al., 2018) ENDENCIA DE DISTRIBUCIÓN Minería **(1)** Porcentaje del rango de distribución de 2,48 % la especie en áreas con títulos mineros HÁBITAT Y MICROHÁBITAT vigentes en Colombia (Catastro Minero Colombiano, 2017) Hábitat y microhábitat Ver página 06

Distribución remanente

Hábitat de la especie considerando las coberturas de la tierra en las cuales se ha registrado. Resulta de la intersección entre el modelo de distribución potencial y las coberturas seleccionadas por los expertos

Distribución potencial

Mapa que representa las condiciones bioclimáticas y biogeográficas idóneas para que la especie ocurra considerando umbral de corte del modelo

Coberturas

Categorías del mapa de coberturas de la Tierra Corine Land Cover (Ideam, 2010), seleccionadas por los expertos para representar el hábitat de la especie

Representratividad áreas protegidas

Porcentaje del rango de distribución de la especie en las áreas protegidas del

PNN: Parques Nacionales Naturales RSC: Reservas de la Sociedad Civil Otras figuras: otro tipo de áreas protegidas como Áreas de Reserva Forestal, Áreas de Manejo Especial, etc.

Extensión de ocurrencia (EOO)*

Superficie contenida dentro del polígono más pequeño que abarca todos los sitios de presencia de la especie. Inferida a partir de las localidades trazando un polígono mínimo convexo

Área de ocupación (AOO)*

Área de la distribución geográfica de una especie que está realmente ocupada por dicha especie a una resolución de 2 x 2 km (IUCN, 2012)

*Se calcula con 3 o más registros de la especie, ver metodología

Tendencia de distribución

Tendencias en la distribución remanente de la especie debido a los cambios de cobertura boscosa Eje y: porcentaje del rango de la distribución remanente de la especie en las zonas de bosque del país. Eje x: años de monitoreo del Ideam de la cobertura de bosque a nivel nacional (1990-2016) y de los escenarios de cobertura forestal y regeneración para 2030 (Etter y Arévalo, 2014)

Autor de la foto

Ecomorfos y morfotipos

DE LOS ANOLIS CONTINENTALES DE COLOMBIA

LRC: longitud rostro-cloaca. $y \le en cola y patas es el número de veces en relación a la LRC.$

HA - Hierba y Arbusto: cuerpo pequeño (LRC < 5.1 cm), cola muy larga (> 2 LRC) y patas cortas (> 0.5 ≤ 0.7 LRC).

HoA - Hojarasca y Arbusto: cuerpo pequeño (LRC < 5.1 cm), cola larga (>1.5 ≤ 2 LRC) y patas largas (> 0.75 LRC).

T - Tronco: cuerpo pequeño (LRC ≤ 5.5 cm), cola corta (≤ 1.5 LRC) y patas cortas (> 0.5 ≤ 0.7 LRC).

TCp – Tronco y copa pequeño: cuerpo pequeño (LRC < 5.5 cm), cola muy larga (> 2 LRC) y patas cortas (> $0.5 \le 0.7$ LRC).

R - Ramitas: cuerpo pequeño o mediano (LRC < 8 cm), cola corta (≤ 1.5 LRC) y patas muy cortas (≤ 0.5 LRC).

PT - Piso y Tronco: cuerpo pequeño o mediano (LRC < 7 cm), cola larga (>1.5 ≤ 2 LRC) y patas largas (≥ 0.8 LRC).

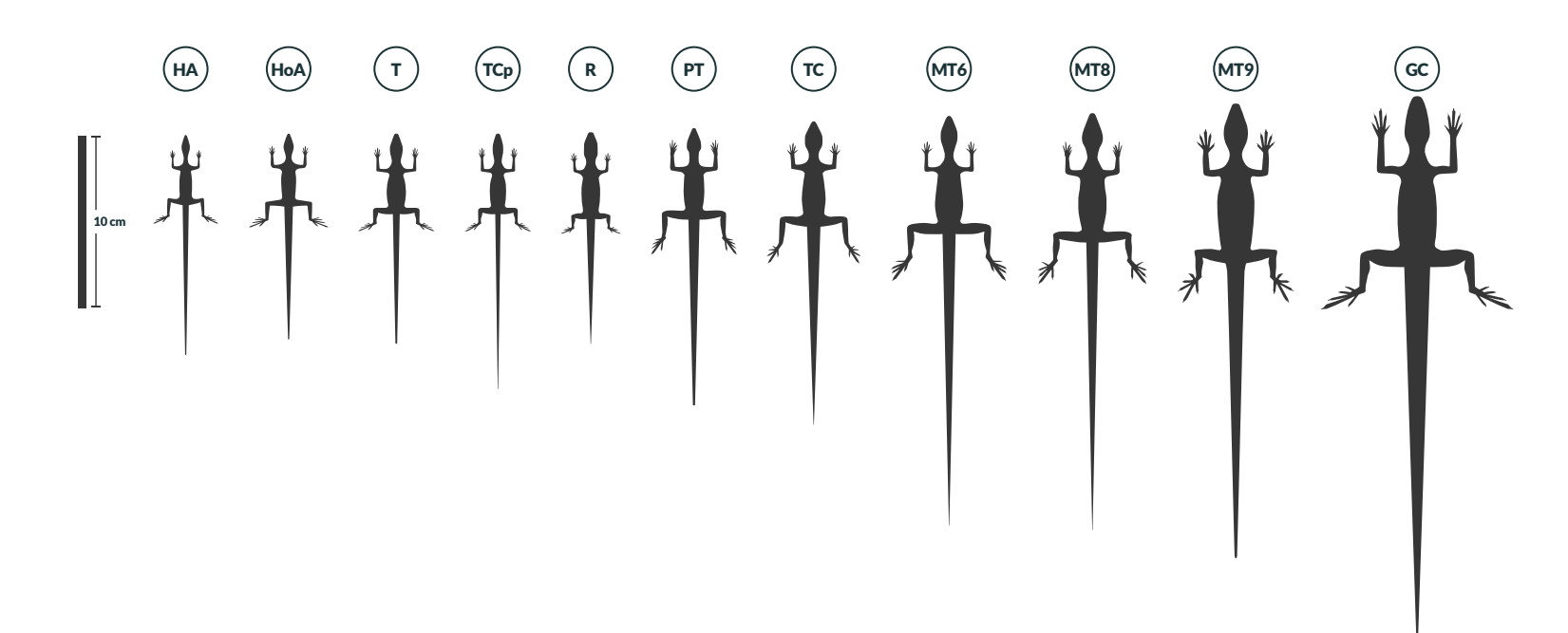
TC – Tronco y copa: cuerpo mediano (LRC > 6 < 7.2 cm), cola larga (>1.5 \leq 2 LRC) y patas cortas (\leq 0.70 LRC).

MT6 - Morfotipo 6: cuerpo mediano (LRC >7 < 8.5 cm), cola muy larga (> 2 LRC) y patas largas (≥ 0.8 LRC).

MT8 - Morfotipo 8: cuerpo mediano o grande (LRC > 7 \leq 10 cm), cola muy larga (\geq 2 LRC) y patas cortas (> 0.5 \leq 0.7 LRC).

MT9 - Morfotipo 9: cuerpo grande (LRC \geq 10 cm), cola larga (>1.5 \leq 2 LRC) y patas cortas (> 0.5 \leq 0.7 LRC).

GC - Gigantes de copa: cuerpo grande (LRC ≥ 10 cm), cola muy larga (≥ 2 LRC) y patas cortas (≥ 0.74 LRC).



Hábitats y microhábitats

DE LOS ANOLIS CONTINENTALES DE COLOMBIA

HÁBITAT

			HADHAI	
		Interior de Bosque	Borde de Bosque	Vegetación abierta
	Dosel		444	* * *
	Sotobosque	**	**	***
MICROHABITÁT	Herbáceo	77	7 7	**
	Rasante	777	7 7 7	* * *
	Semiacuático		7 9 7	

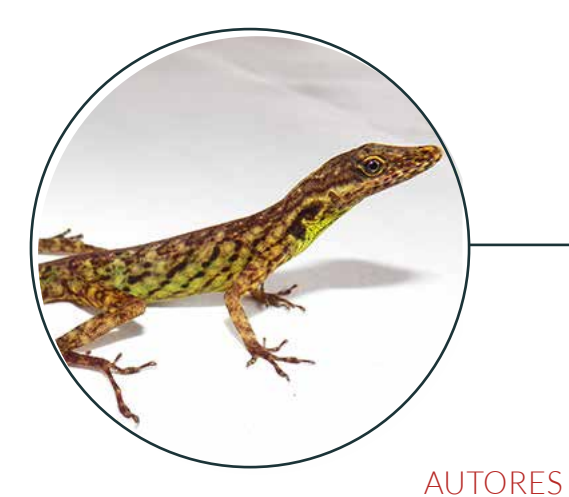
Ejemplos



Hábitat de interior de bosque y unos microhábitats en los estratos rasante y de sotobosque



Hábitats de borde de bosque y áreas abiertas, respectivamente y microhábitats en los estratos de sotobosque y herbáceo.



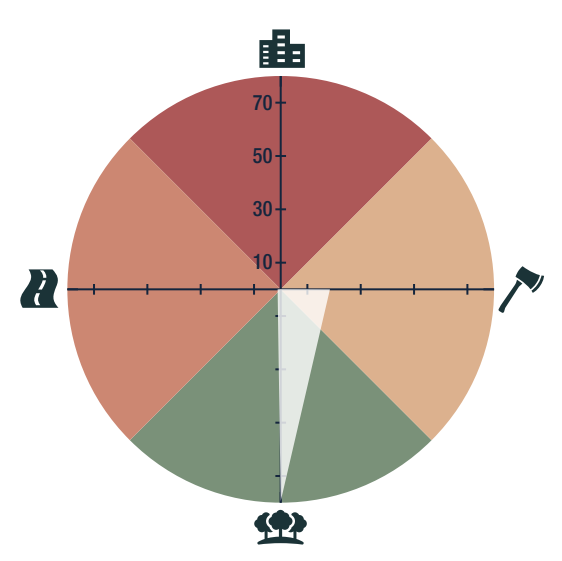
R. Moreno-Arias, J. A. Velasco, M. H. Olaya-Rodríguez, P. D. Gutiérrez-Cárdenas y G. F. Medina-Rangel BIOMODELOS



CATÁLOGO DE LA BIODIVERSIDAD



AMENAZA POR HUELLA HUMANA



6,63 % 🖨

HÁBITAT Y MICROHÁBITAT





Anolis anchicayae

ANOLIS DE ANCHICAYÁ

ESTADÍSTICAS

RANGO DE DISTRIBUCIÓN

 $48\,132\,km^2$

59 224 km² PMC sobre modelo

37 105 km²
Remanente

90 100 km² PMC sobre modelo

48 824 km²

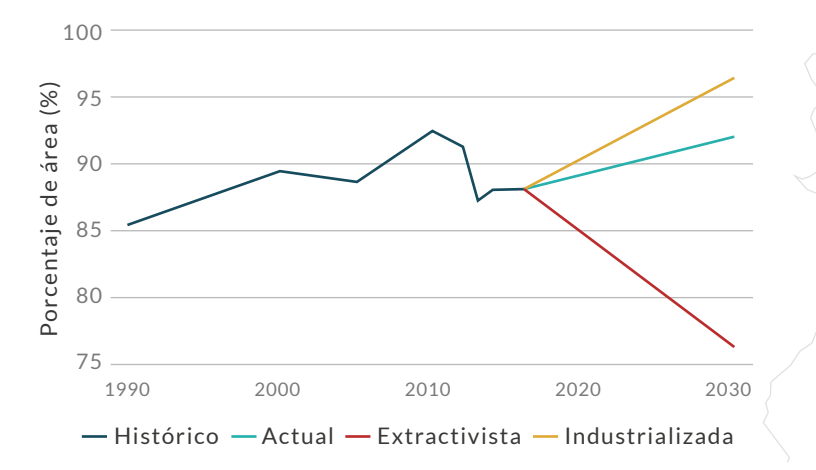
44 km²

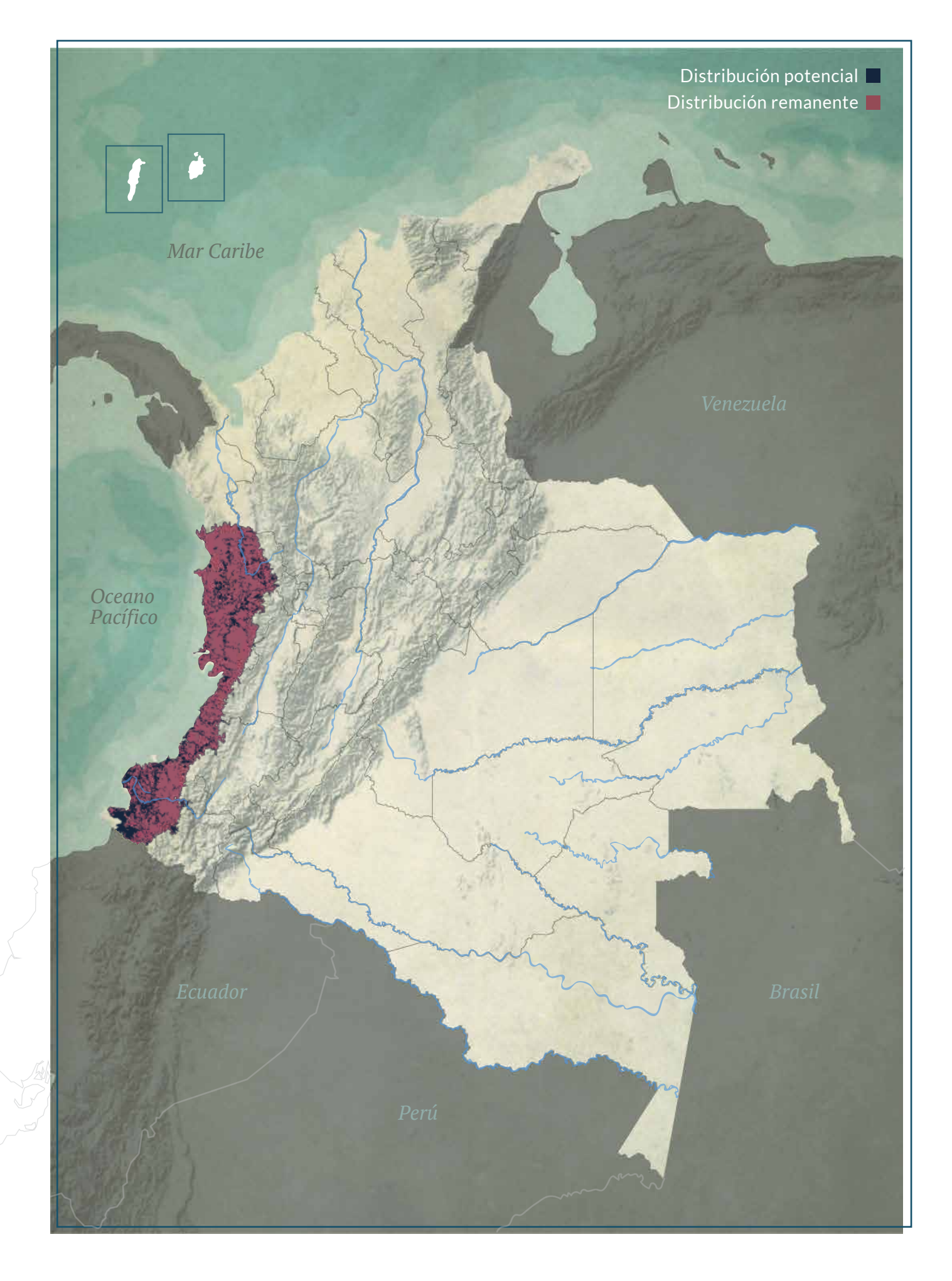
DISTRIBUCIÓN POR COBERTURAS

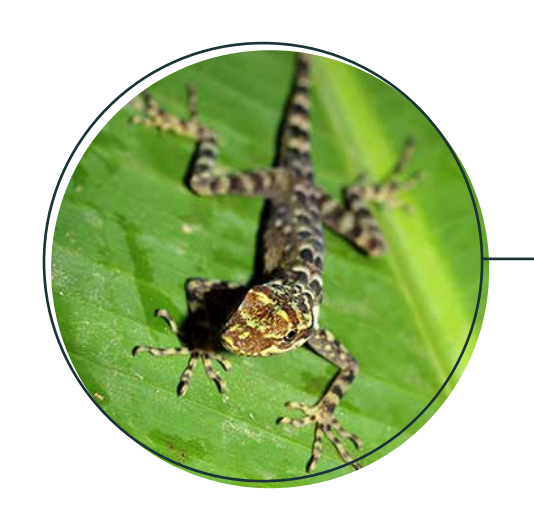
Bosque denso Bosque fragmentado Bosque abierto

REPRESENTATIVIDAD ÁREAS PROTEGIDAS

6,1% 2,3% 0% 3,8% Todas las áreas PNN RSC Otras figuras





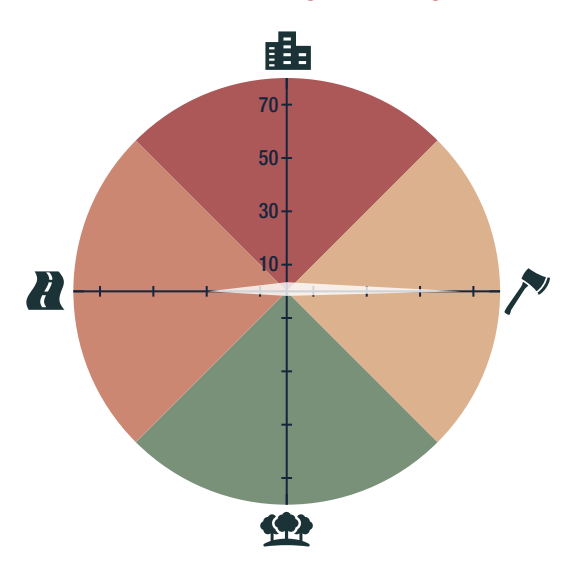


AUTORES R. Moreno-Arias, J. A. Velasco, M. H. Olaya-Rodríguez y P. D. Gutiérrez-Cárdenas BIOMODELOS



CATÁLOGO DE LA BIODIVERSIDAD

AMENAZA POR HUELLA HUMANA



7,16 %

HÁBITAT Y MICROHÁBITAT



LC · Preocupación menor

Anolis anoriensis

ANOLIS DE ANORÍ

ESTADÍSTICAS

RANGO DE DISTRIBUCIÓN

 $2694\,km^2$ Potencial

 $4962 \, \text{km}^2$ PMC sobre modelo $593 \, \text{km}^2$ Remanente

 $9376\,km^2$ PMC sobre modelo

RSC

EOO 1215 km² AOO $52 \, \text{km}^2$

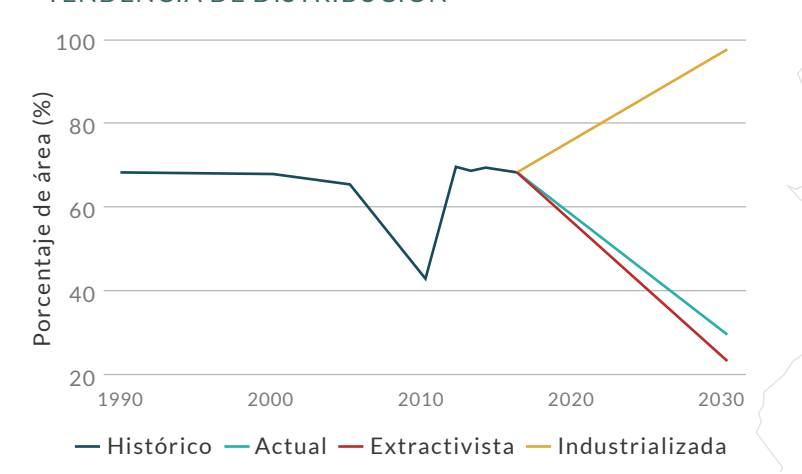
DISTRIBUCIÓN POR COBERTURAS

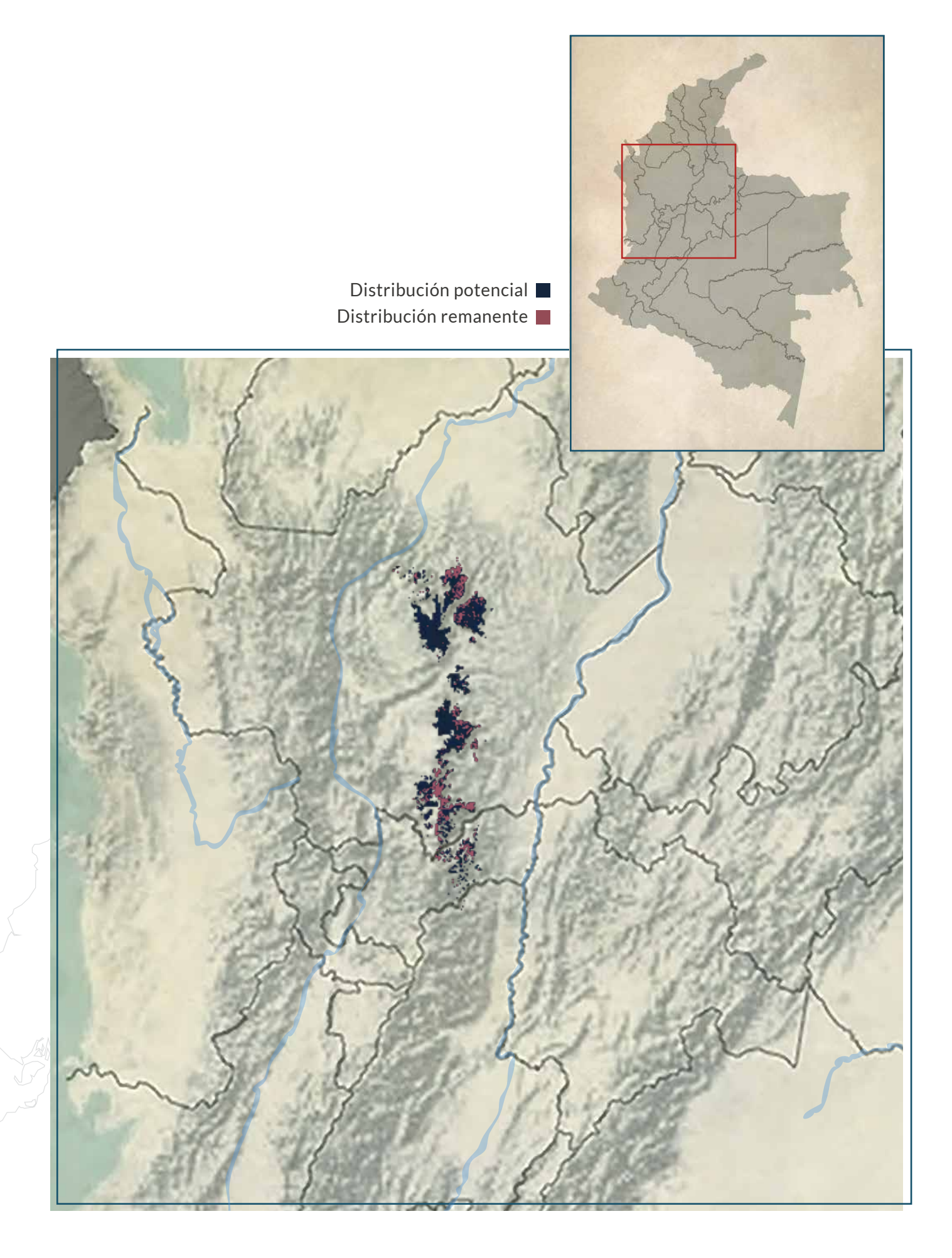
Bosque denso Bosque abierto Bosque fragmentado Bosque de galería y ripario

REPRESENTATIVIDAD ÁREAS PROTEGIDAS

39% 5,1% PNN Todas las áreas

33,9 % 0,1% Otras figuras





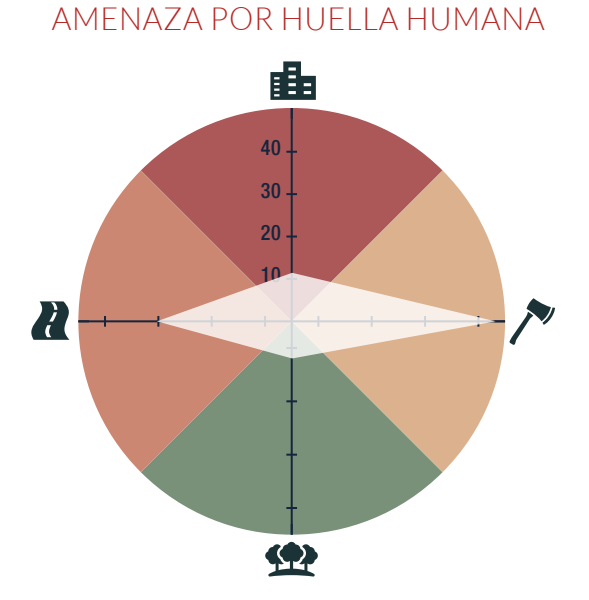


AUTORES R. Moreno-Arias, J. A. Velasco, M. H. Olaya-Rodríguez y P. D. Gutiérrez-Cárdenas BIOMODELOS

Ø

CATÁLOGO DE LA BIODIVERSIDAD

•



8,5 % 🖨

HÁBITAT Y MICROHÁBITAT



NT · Casi amenazado MT8

Anolis antioquiae

ANOLIS DE ANTIOQUIA

ESTADÍSTICAS

RANGO DE DISTRIBUCIÓN

8720 km²
Potencial

24 714 km² PMC sobre modelo

349 km² Remanente

9556 km² PMC sobre modelo

 $9823\,km^2$

A00 **28 km**²

DISTRIBUCIÓN POR COBERTURAS

Bosque fragmentado Bosque de galería y ripario Bosque abierto

REPRESENTATIVIDAD ÁREAS PROTEGIDAS

17,4 %

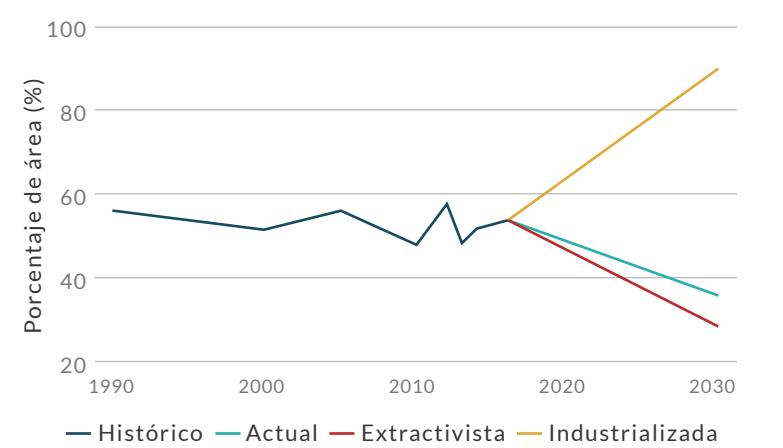
Todas las áreas

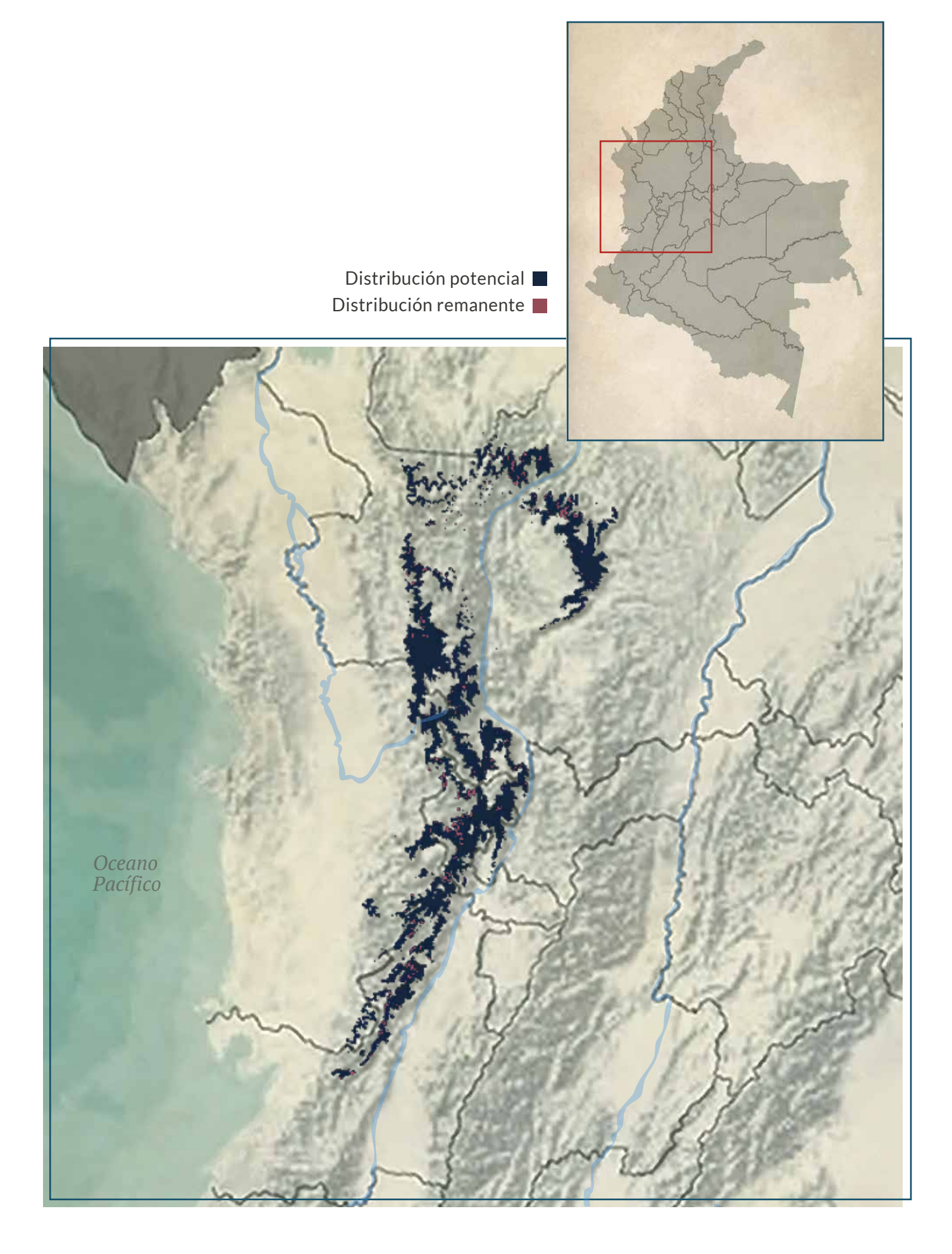
1,2 %

PNN

RSC

Otras
figuras





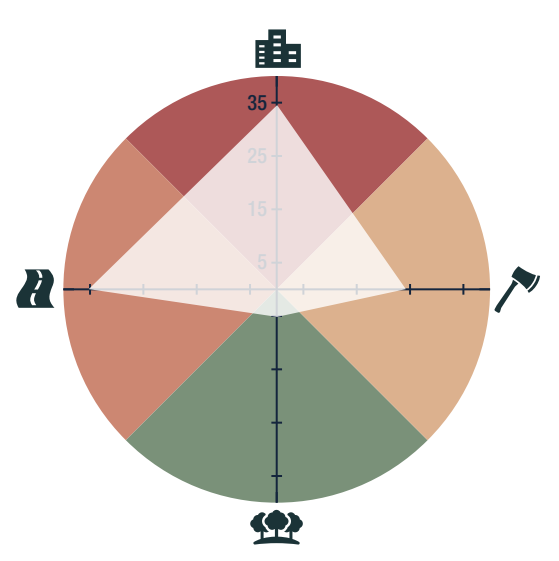
AUTORES R. Moreno-Arias, J. A. Velasco, M. H. Olaya-Rodríguez y G. F. Medina-Rangel

ළ

BIOMODELOS

CATÁLOGO DE LA BIODIVERSIDAD

AMENAZA POR HUELLA HUMANA



5,13 %

HÁBITAT Y MICROHÁBITAT





Anolis antonii

ANOLIS DE SAN ANTONIO

ESTADÍSTICAS

RANGO DE DISTRIBUCIÓN

22 222 km²
Potencial

49 304 km² PMC sobre modelo

2804 km²

63 999 km² PMC sobre modelo

35 483 km²

136 km²

DISTRIBUCIÓN POR COBERTURAS

Vegetación secundaria o en transición
Bosque fragmentado Arbustal
Bosque de galería y ripario Bosque abierto
Plantación forestal

REPRESENTATIVIDAD ÁREAS PROTEGIDAS

17,4 %

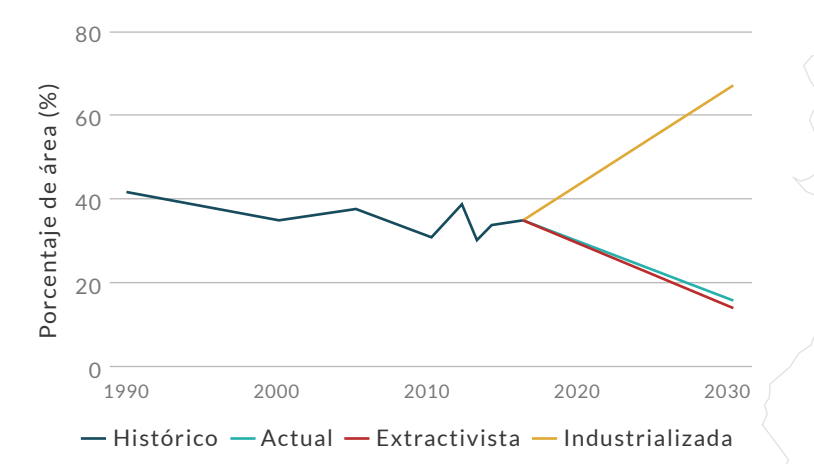
Todas las áreas

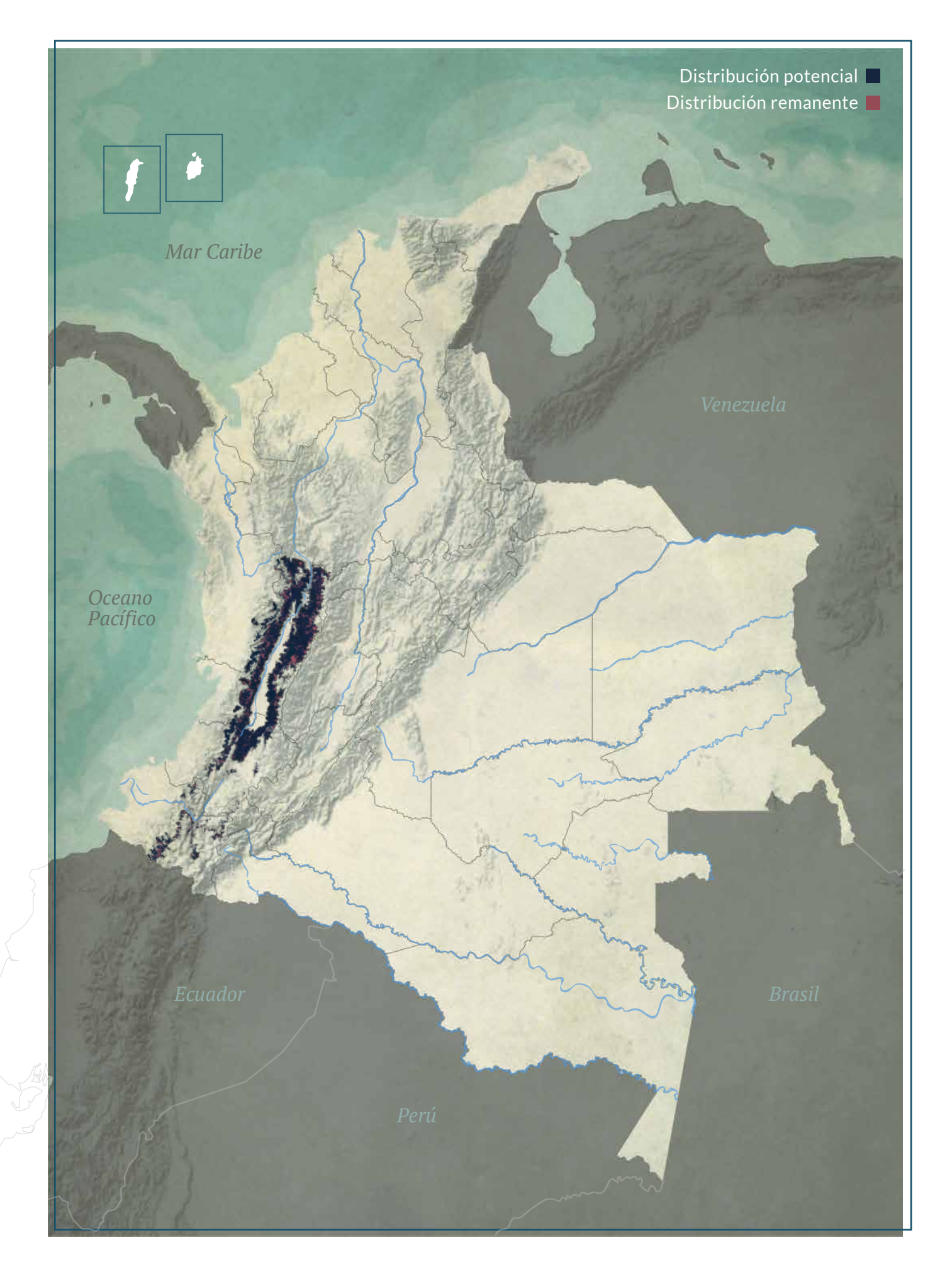
2,6 %

PNN

RSC

Otras
figuras







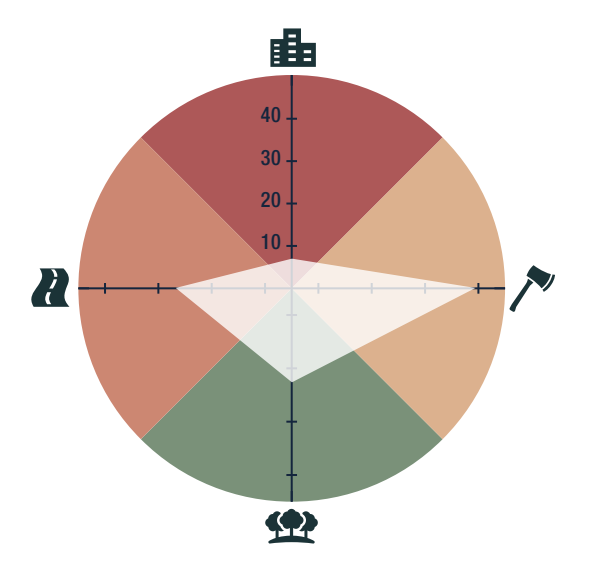
R. Moreno-Arias, J. A. Velasco, M. H. Olaya-Rodríguez, P. D. Gutiérrez-Cárdenas y G. F. Medina-Rangel BIOMODELOS



CATÁLOGO DE LA BIODIVERSIDAD



AMENAZA POR HUELLA HUMANA



4,24 %

HÁBITAT Y MICROHÁBITAT





Anolis apollinaris

ANOLIS DEL HERMANO APOLINAR

ESTADÍSTICAS

RANGO DE DISTRIBUCIÓN

 $19824 \, km^2$ Potencial

 $46683 \, \text{km}^2$ PMC sobre modelo $2782\,km^2$ Remanente

31 178 km² PMC sobre modelo

EOO 19 761 km² AOO $68 \, \text{km}^2$

DISTRIBUCIÓN POR COBERTURAS

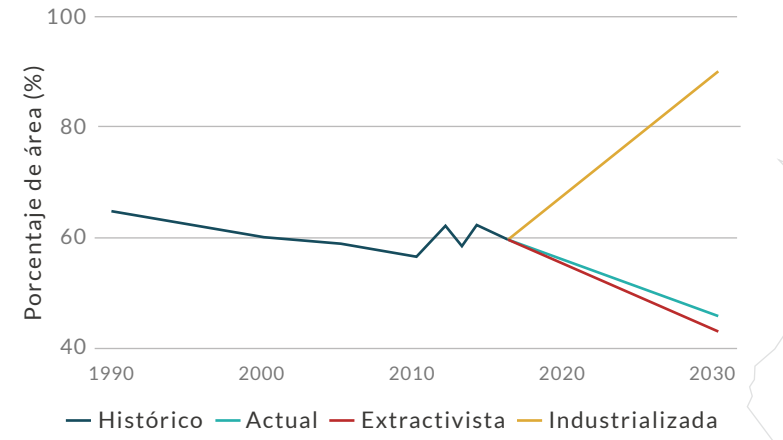
Bosque denso Bosque fragmentado Bosque de galería y ripario Bosque abierto

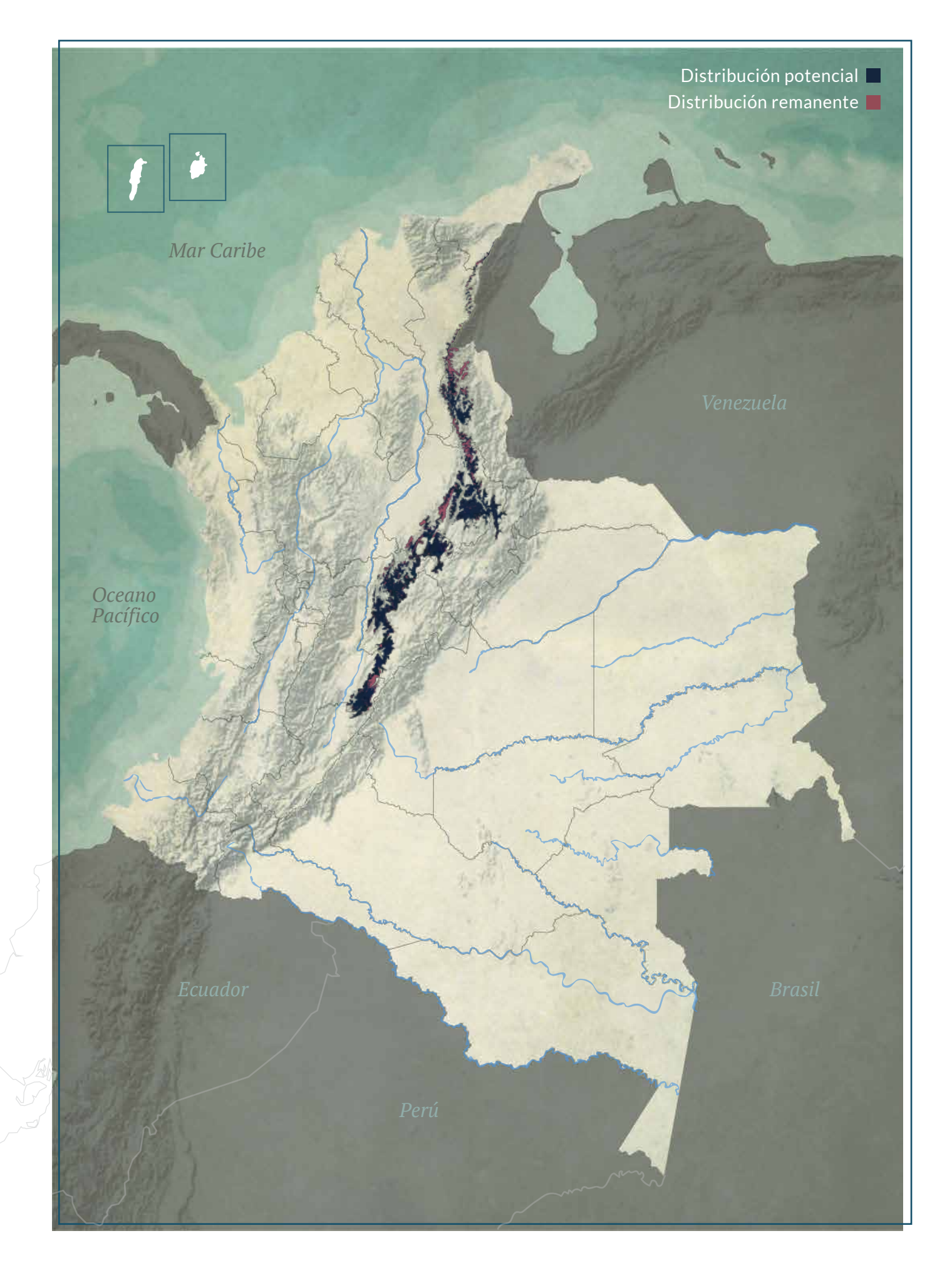
REPRESENTATIVIDAD ÁREAS PROTEGIDAS

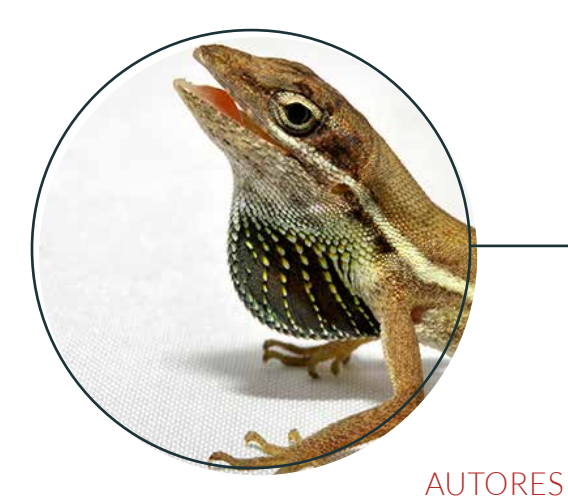
28,1% 14,8 % PNN Todas las áreas

0% 13,4 % RSC

Otras figuras





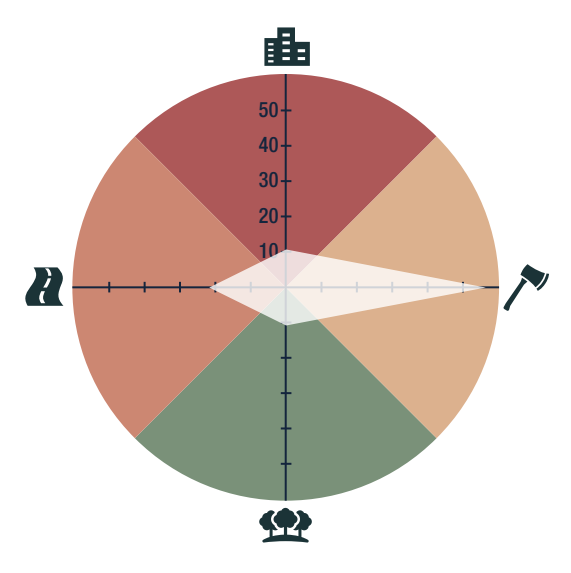


R. Moreno-Arias, J. A. Velasco, M. H. Olaya-Rodríguez, P. D. Gutiérrez-Cárdenas y G. F. Medina-Rangel BIOMODELOS



CATÁLOGO DE LA BIODIVERSIDAD

AMENAZA POR HUELLA HUMANA



2,48 % 🖨

HÁBITAT Y MICROHÁBITAT





Anolis auratus

ANOLIS DE HIERBA

ESTADÍSTICAS

RANGO DE DISTRIBUCIÓN

654 960 km²

886 428 km² PMC sobre modelo

206 162 km²

800 813 km² PMC sobre modelo

2 515 220 km²

1100 km²

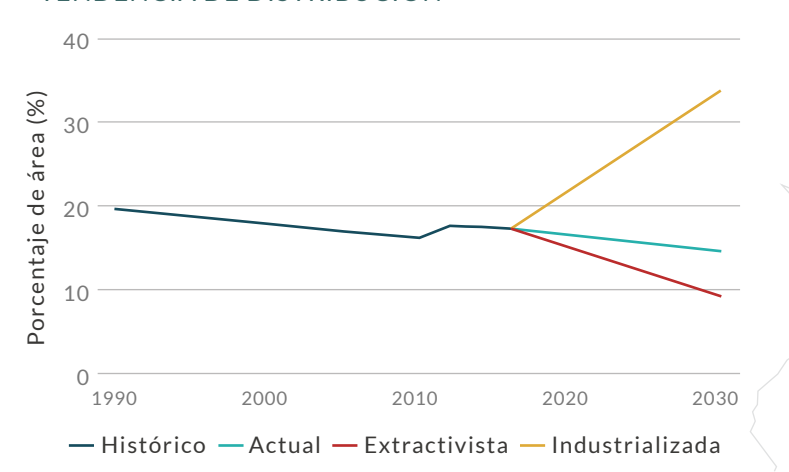
DISTRIBUCIÓN POR COBERTURAS

Herbazal
Vegetación secundaria o en transición
Bosque de galería y ripario Bosque fragmentado
Arbustal Bosque abierto

REPRESENTATIVIDAD ÁREAS PROTEGIDAS

8,6 %
Todas las áreas

4,5 %
PNN
RSC
Otras figuras



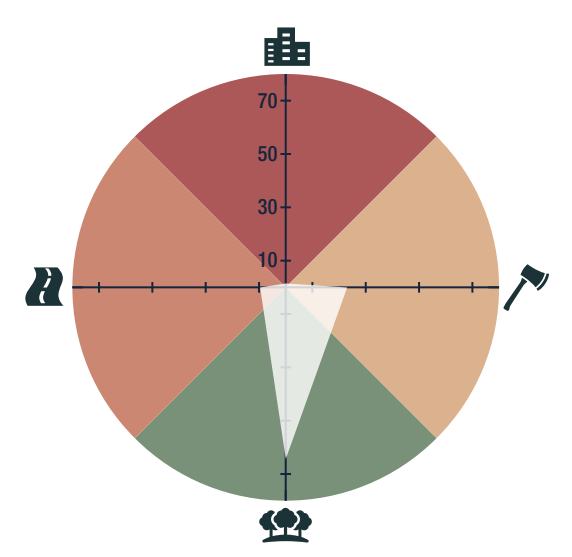


AUTORES R. Moreno-Arias, J. A. Velasco, M. H. Olaya-Rodríguez y G. F. Medina-Rangel BIOMODELOS



CATÁLOGO DE LA BIODIVERSIDAD

AMENAZA POR HUELLA HUMANA



11,15 %

HÁBITAT Y MICROHÁBITAT



C Preocupación menor MT8

Anolis biporcatus

ANOLIS VERDE NEOTROPICAL

ESTADÍSTICAS

RANGO DE DISTRIBUCIÓN

 $109\,566\,km^2$

315 563 km² PMC sobre modelo

72 112 km²
Remanente

439 834 km² PMC sobre modelo

1 773 952 km²

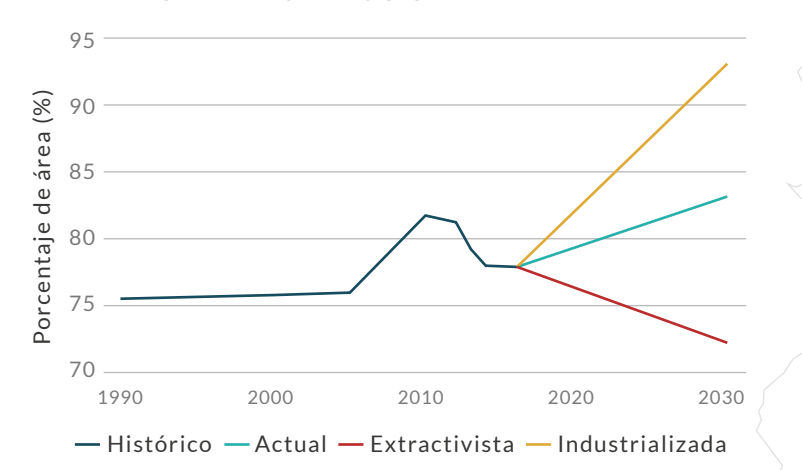
1104 km²

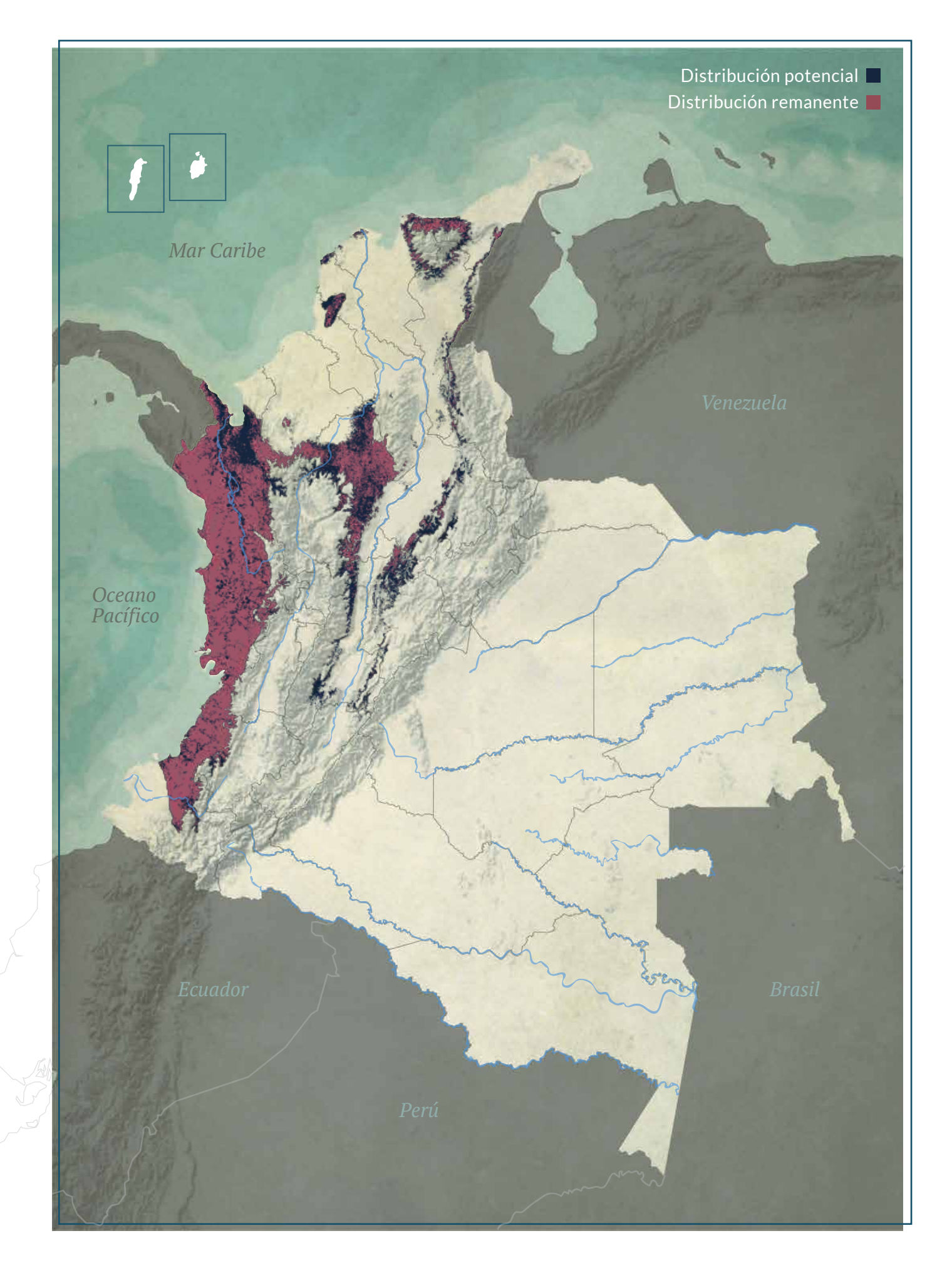
DISTRIBUCIÓN POR COBERTURAS

Bosque denso	Arbustal
Vegetación secundaria o en transición	
Bosque fragmentado	
Bosque abierto	

REPRESENTATIVIDAD ÁREAS PROTEGIDAS

11,4 %	6,5 %	0%	4,9 %
Todas las áreas	PNN	RSC	Otras figuras



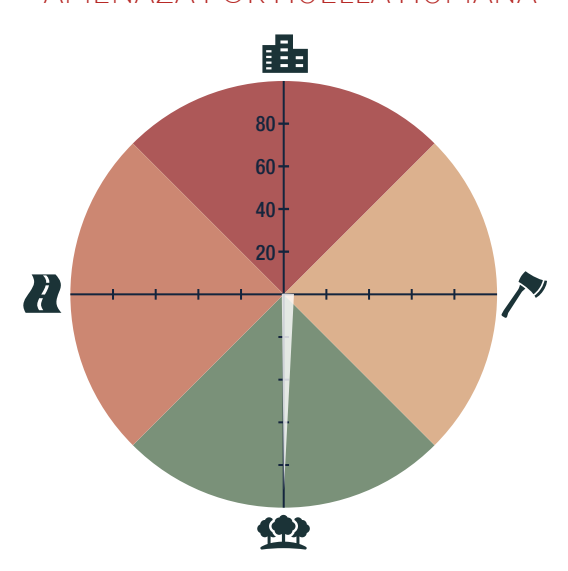


AUTORES R. Moreno-Arias, J. A. Velasco y M. H. Olaya-Rodríguez BIOMODELOS



CATÁLOGO DE LA BIODIVERSIDAD

AMENAZA POR HUELLA HUMANA



0,42 %

HÁBITAT Y MICROHÁBITAT



C Preocupación menor

Anolis bombiceps

ANOLIS DE LABIOS AZULES

ESTADÍSTICAS

RANGO DE DISTRIBUCIÓN

180 627 km²

369 628 km² PMC sobre modelo

159 340 km²
Remanente

366 459 km² PMC sobre modelo

221 774 km²

72 km²

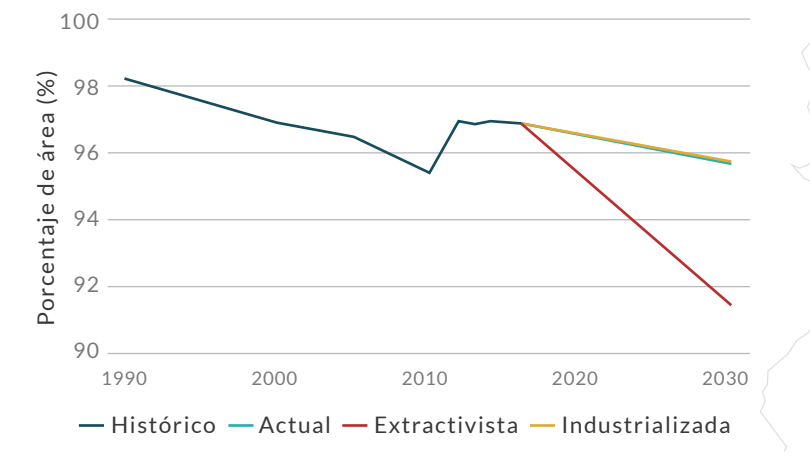
DISTRIBUCIÓN POR COBERTURAS

Bosque denso Bosque fragmentado Bosque de galería y ripario

REPRESENTATIVIDAD ÁREAS PROTEGIDAS

21,2 %
Todas las áreas

20 %
PNN
RSC
Otras figuras







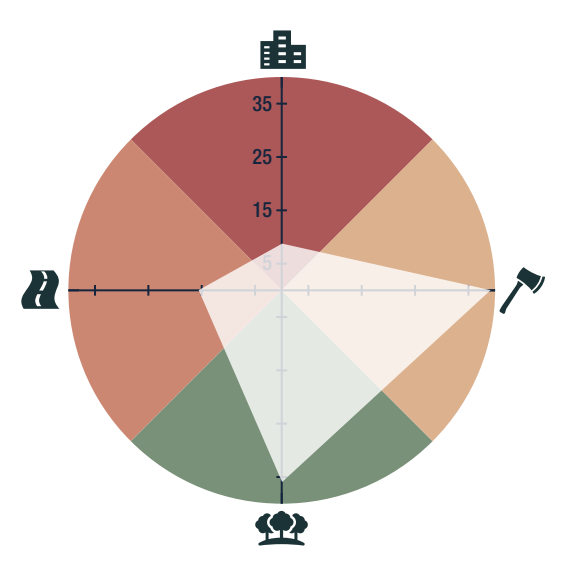
AUTORES R. Moreno-Arias, J. A. Velasco y M. H. Olaya-Rodríguez BIOMODELOS



CATÁLOGO DE LA BIODIVERSIDAD

4 2771

AMENAZA POR HUELLA HUMANA



6,97 %

HÁBITAT Y MICROHÁBITAT



EN · Amenazada (R)

Anolis calimae

ANOLIS DE CALIMA

ESTADÍSTICAS

RANGO DE DISTRIBUCIÓN

3975 km²
Potencial

10 199 km²
PMC sobre modelo

2280 km²
Remanente

14 889 km²
PMC sobre modelo

2771 km²

32 km²

DISTRIBUCIÓN POR COBERTURAS

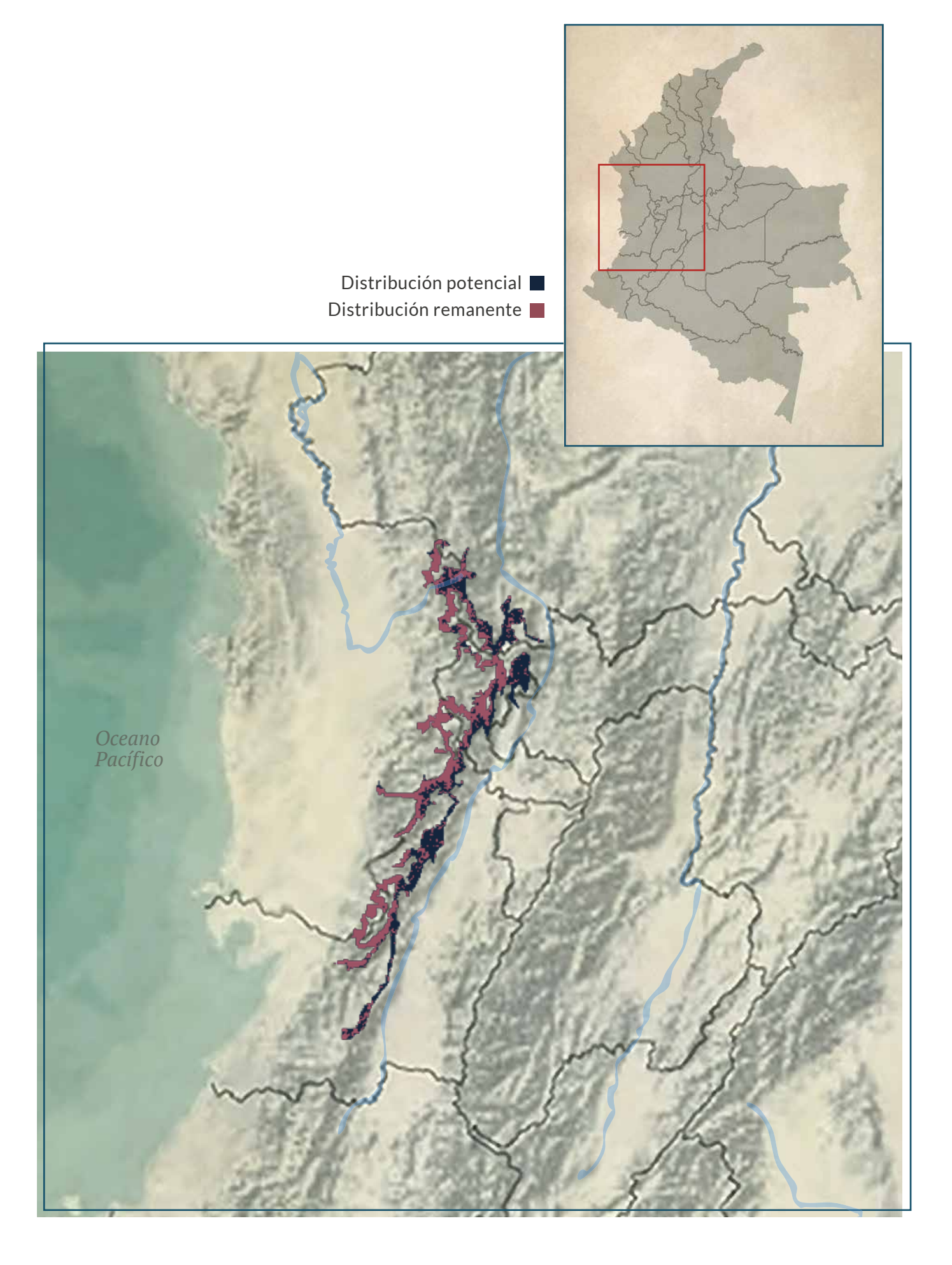
Bosque denso
Vegetación secundaria o en transición
Bosque fragmentado Bosque abierto
Bosque de galería y ripario Arbustal

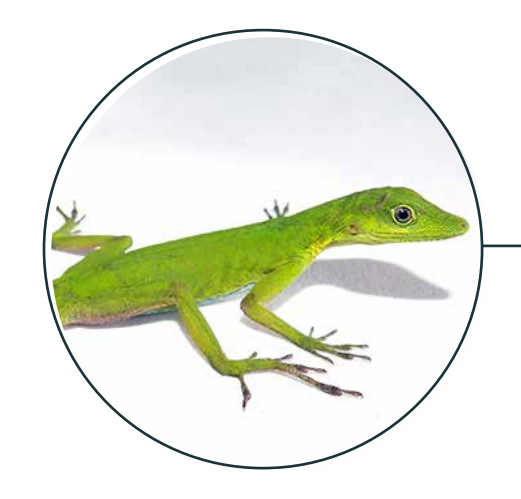
REPRESENTATIVIDAD ÁREAS PROTEGIDAS

 27,3 %
 7,6 %
 0,3 %
 19,3 %

 Todas las áreas
 PNN
 RSC
 Otras figuras







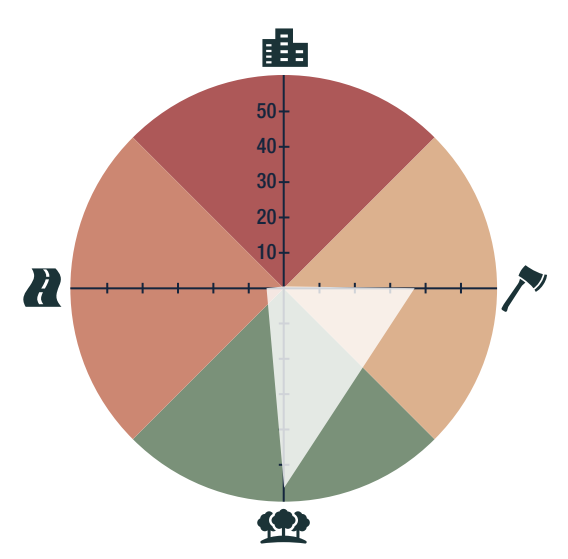
AUTORES

R. Moreno-Arias, J. A. Velasco, M. H. Olaya-Rodríguez y G. F. Medina-Rangel BIOMODELOS



CATÁLOGO DE LA BIODIVERSIDAD

AMENAZA POR HUELLA HUMANA



6,9 %

HÁBITAT Y MICROHÁBITAT



CP Preocupación menor

Anolis chloris

ANOLIS VERDE DE BOULENGER

ESTADÍSTICAS

RANGO DE DISTRIBUCIÓN

 $59\,341\,km^2$

78 555 km² PMC sobre modelo

8133 km²
Remanente

62 025 km² PMC sobre modelo

4%

Otras

figuras

57 376 km²

A00 232 km²

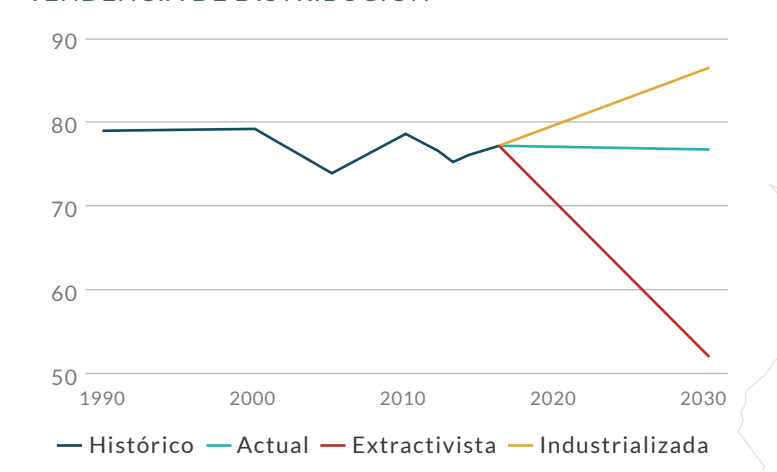
DISTRIBUCIÓN POR COBERTURAS

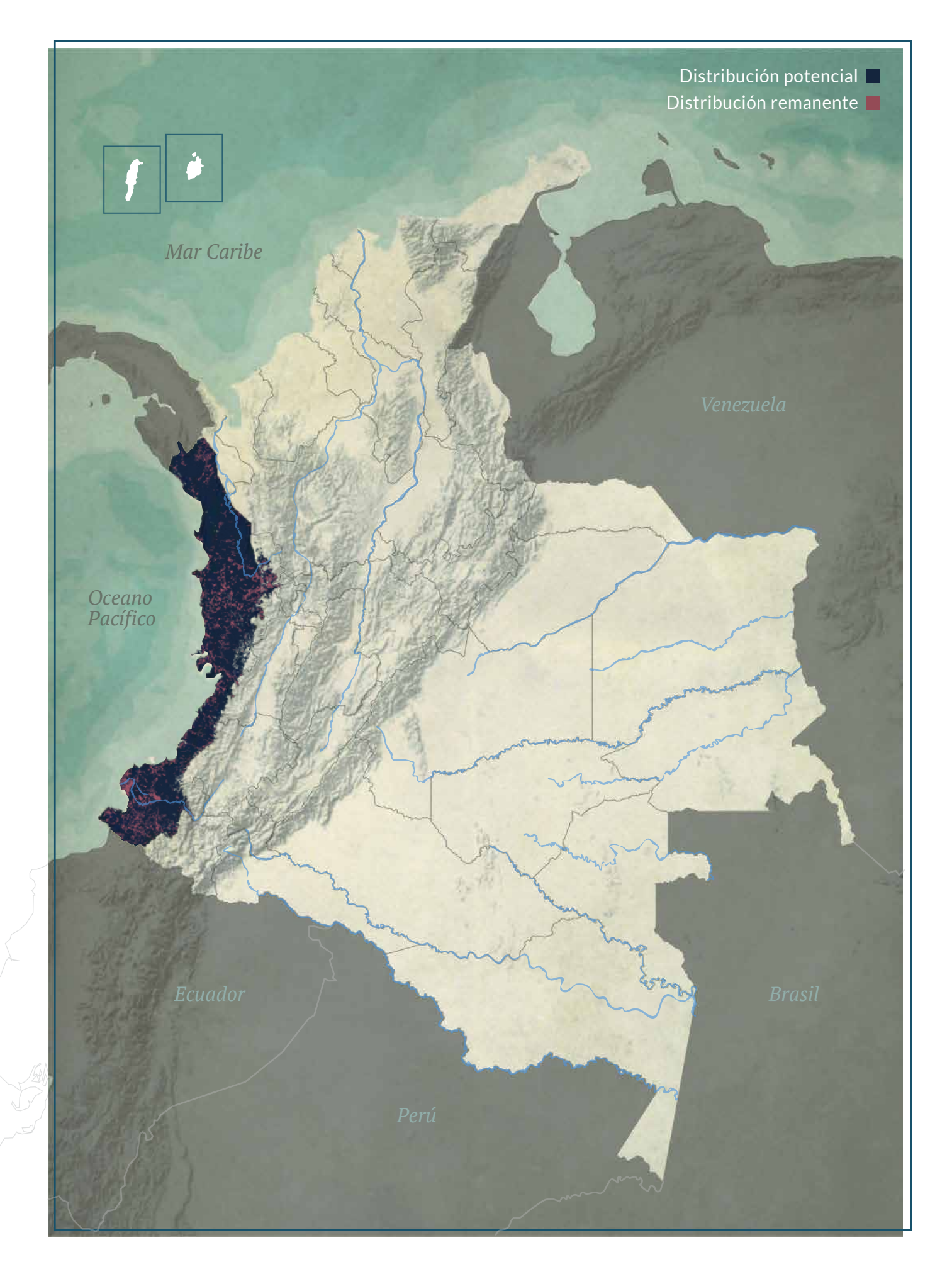
Bosque fragmentado Vegetación secundaria o en transición Bosque abierto Bosque de galería y ripario

REPRESENTATIVIDAD ÁREAS PROTEGIDAS

 4,6 %
 0,6 %
 0 %

 Todas las áreas
 PNN
 RSC



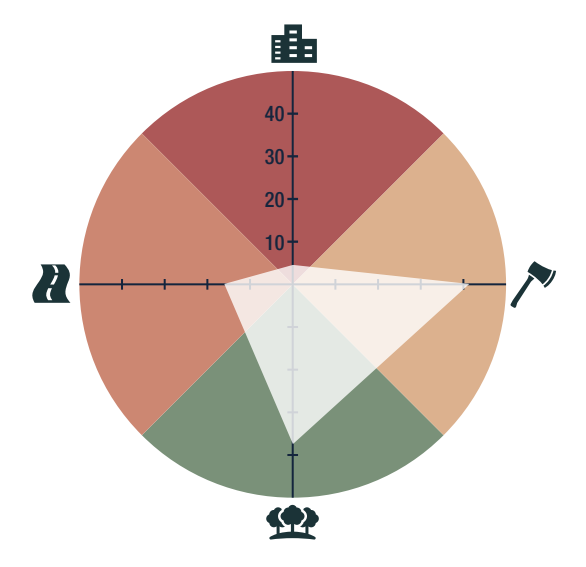


AUTORES R. Moreno-Arias, J. A. Velasco, M. H. Olaya-Rodríguez y G. F. Medina-Rangel BIOMODELOS



CATÁLOGO DE LA BIODIVERSIDAD

AMENAZA POR HUELLA HUMANA



10,55 %

HÁBITAT Y MICROHÁBITAT



DD · Datos insuficientes (MT6)

Anolis danieli

ANOLIS DEL HERMANO DANIEL

ESTADÍSTICAS

RANGO DE DISTRIBUCIÓN

 $18\,858\,km^2_{\text{Potencial}}$

24 960 km² PMC sobre modelo

8660 km²
Remanente

31 692 km² PMC sobre modelo

15 638 km²

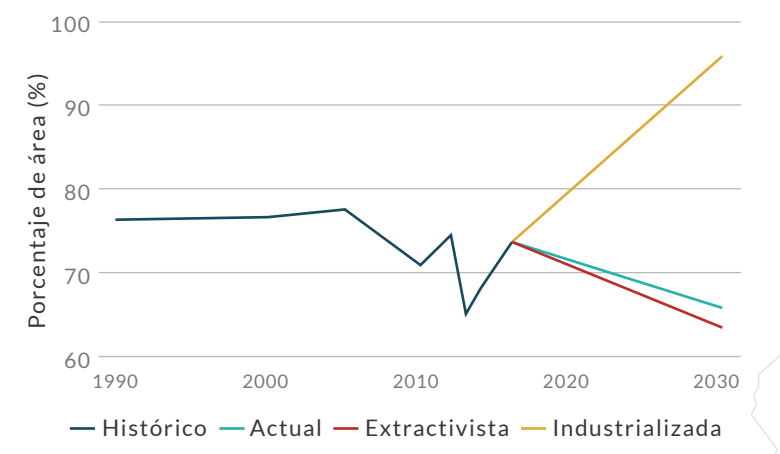
48 km²

DISTRIBUCIÓN POR COBERTURAS

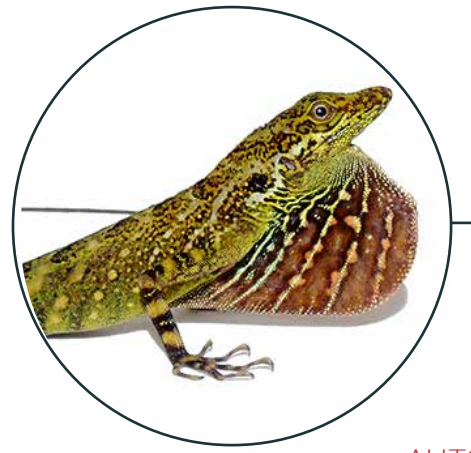
Bosque denso Bosque abierto Vegetación secundaria o en transición Bosque fragmentado Bosque de galería y ripario

REPRESENTATIVIDAD ÁREAS PROTEGIDAS

32,2 % 16,2 % 0,2 % 16v % PNN RSC Otras figuras







AUTORFS

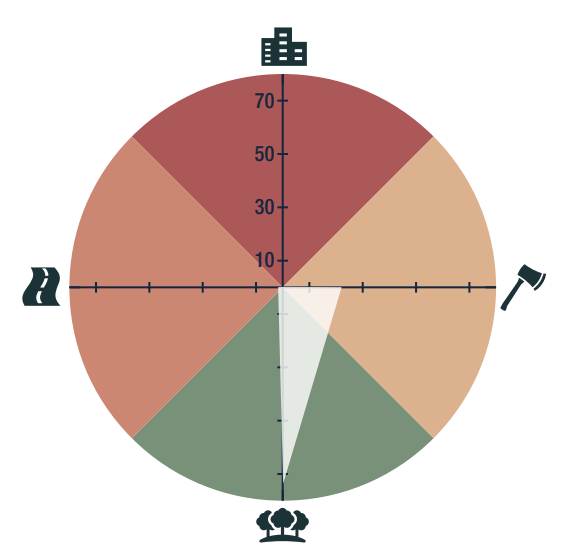
R. Moreno-Arias, J. A. Velasco, M. H. Olaya-Rodríguez, P. D. Gutiérrez-Cárdenas y G. F. Medina-Rangel BIOMODELOS



CATÁLOGO DE LA BIODIVERSIDAD

Q

AMENAZA POR HUELLA HUMANA



1,51%

HÁBITAT Y MICROHÁBITAT





Anolis dracula

ANOLIS DRÁCULA

ESTADÍSTICAS

RANGO DE DISTRIBUCIÓN

2428 km²
Potencial

4497 km²

PMC sobre modelo

1693 km²
Remanente

4028 km²
PMC sobre modelo

2255 km²

A00 **216 km**²

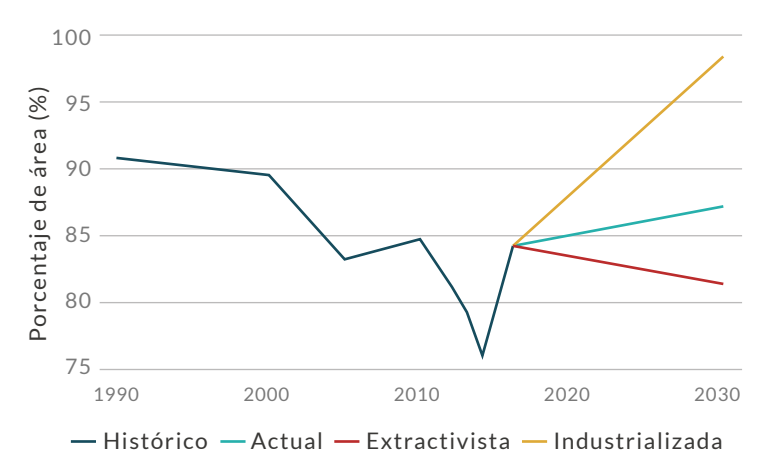
DISTRIBUCIÓN POR COBERTURAS

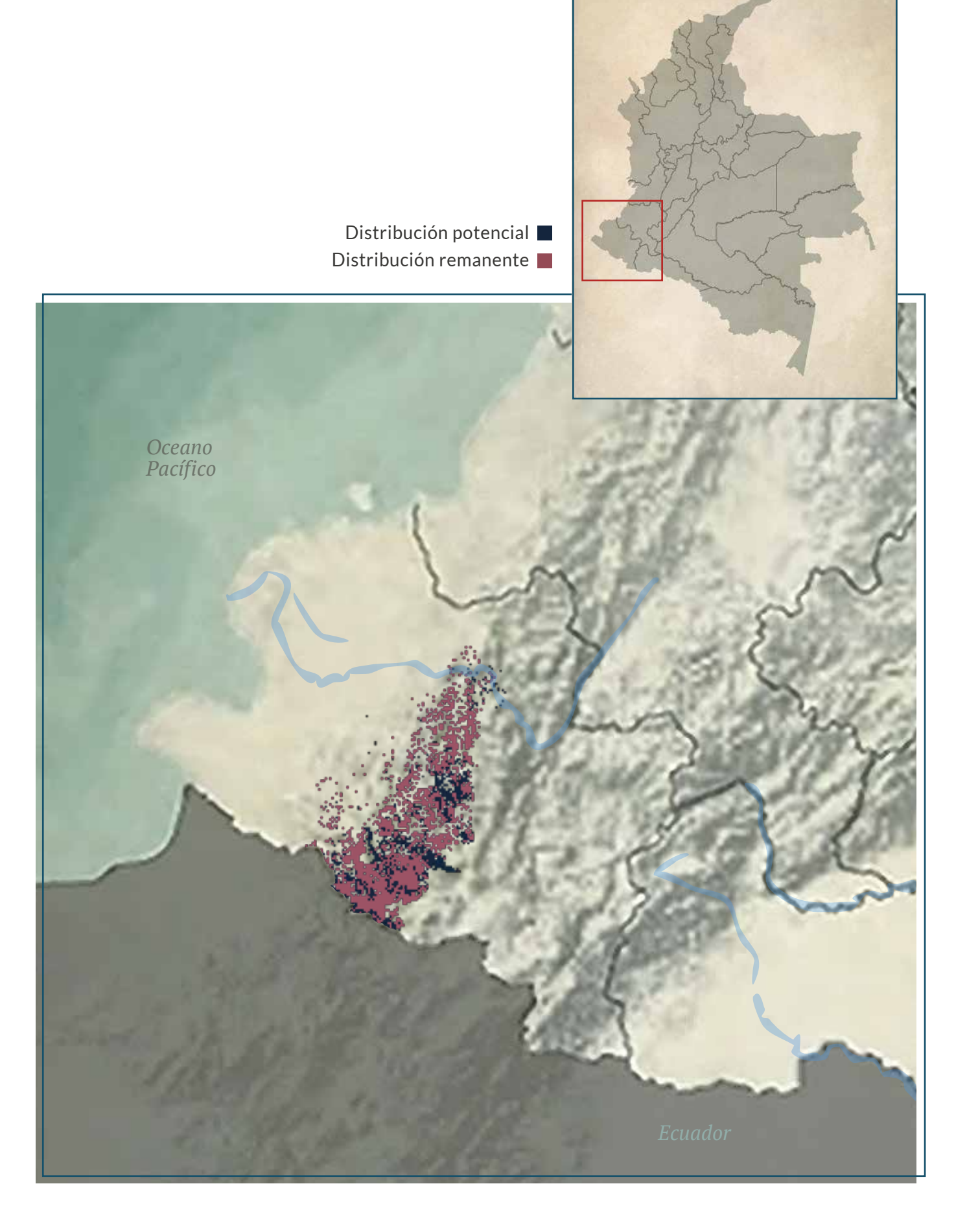
Bosque denso Bosque fragmentado

REPRESENTATIVIDAD ÁREAS PROTEGIDAS

3%
Todas las áreas

O%
O%
RSC
Otras figuras







C Preocupación menor CC

Anolis eulaemus

ANOLIS BUENO

R. Moreno-Arias, J. A. Velasco y M. H. Olaya-Rodríguez BIOMODELOS



ESTADÍSTICAS

RANGO DE DISTRIBUCIÓN

 $30\,426\,km^2$

70 844 km² PMC sobre modelo

DISTRIBUCIÓN POR COBERTURAS

Vegetación secundaria o en transición

10 303 km²

109 063 km² PMC sobre modelo

CATÁLOGO DE LA BIODIVERSIDAD



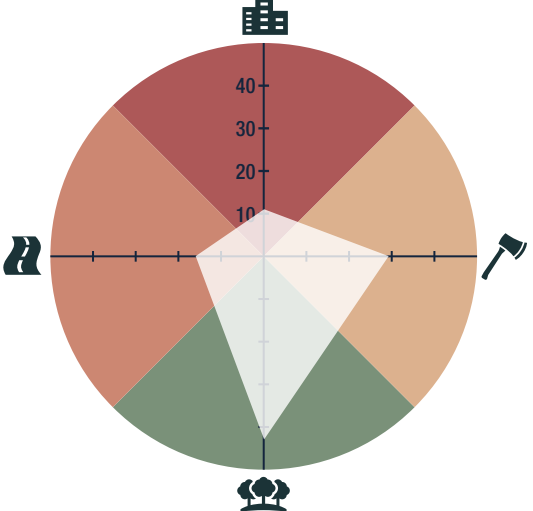
19 428 km²

Bosque denso

EOO

 44 km^2

AMENAZA POR HUELLA HUMANA



REPRESENTATIVIDAD ÁREAS PROTEGIDAS

Bosque fragmentado Bosque de galería y ripario

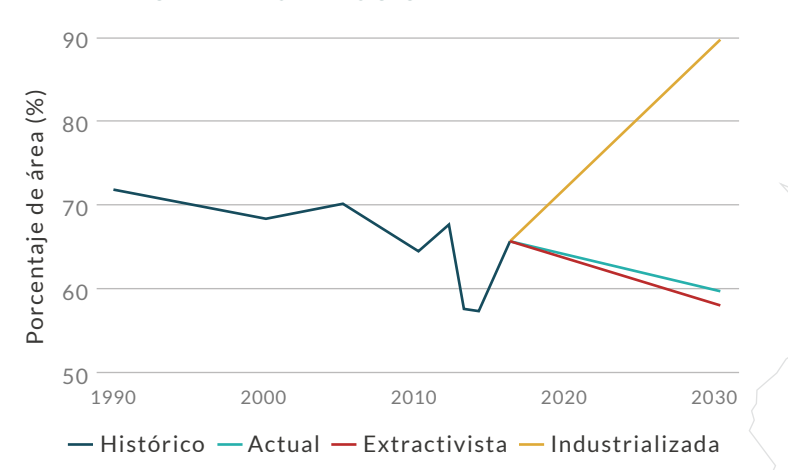
21,2 %
Todas las áreas

13,2 %

0,1 % RSC 7,9 % Otras figuras

Bosque abierto

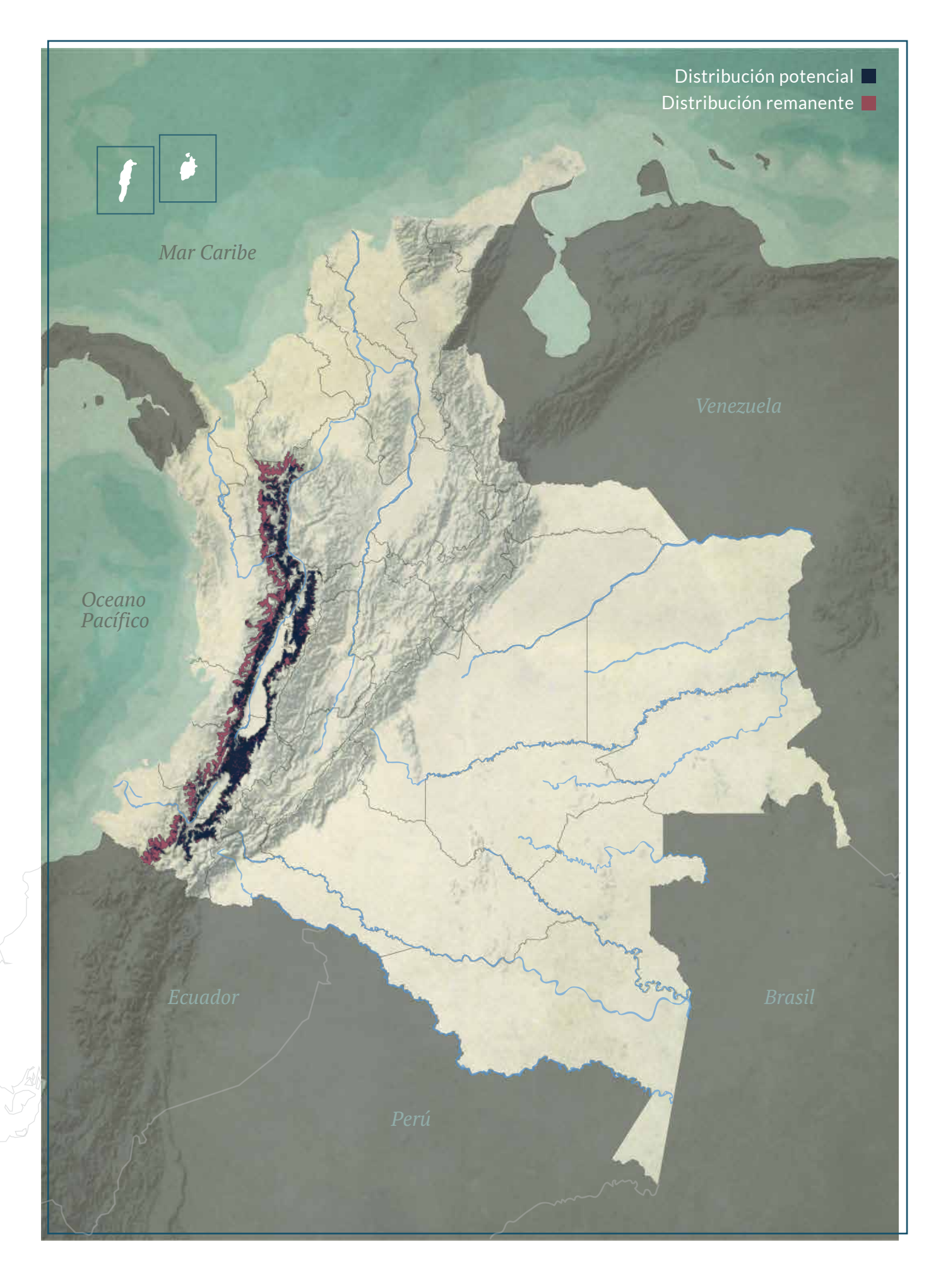
TENDENCIA DE DISTRIBUCIÓN





HÁBITAT Y MICROHÁBITAT





ANOLIS DE FITCH

AUTORES

@

RANGO DE DISTRIBUCIÓN

LC · Preocupación menor (MT6)

Anolis fitchi

6458 km²

ESTADÍSTICAS

15 650 km²

5792 km²

28 495 km² PMC sobre modelo

PMC sobre modelo

43 180 km²

Bosque denso

Bosque fragmentado

148 km²

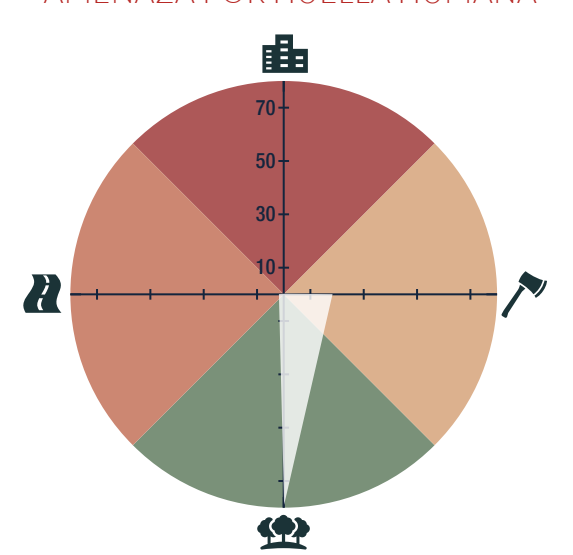
AMENAZA POR HUELLA HUMANA

CATÁLOGO DE LA BIODIVERSIDAD

R. Moreno-Arias, J. A. Velasco

y M. H. Olaya-Rodríguez

BIOMODELOS



1%

HÁBITAT Y MICROHÁBITAT

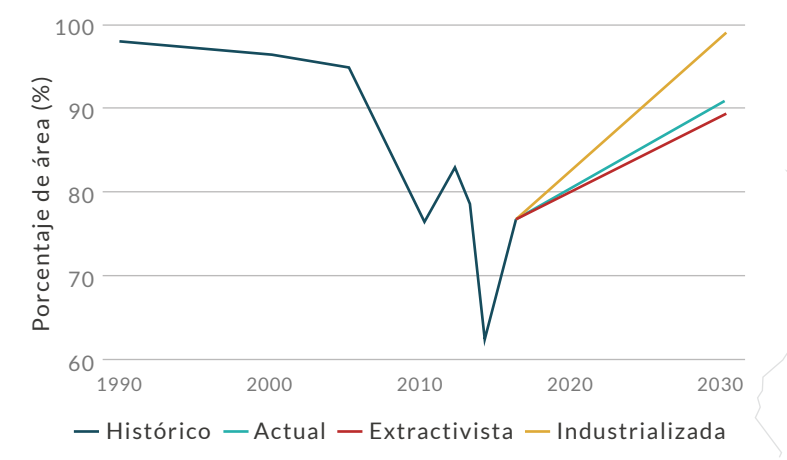


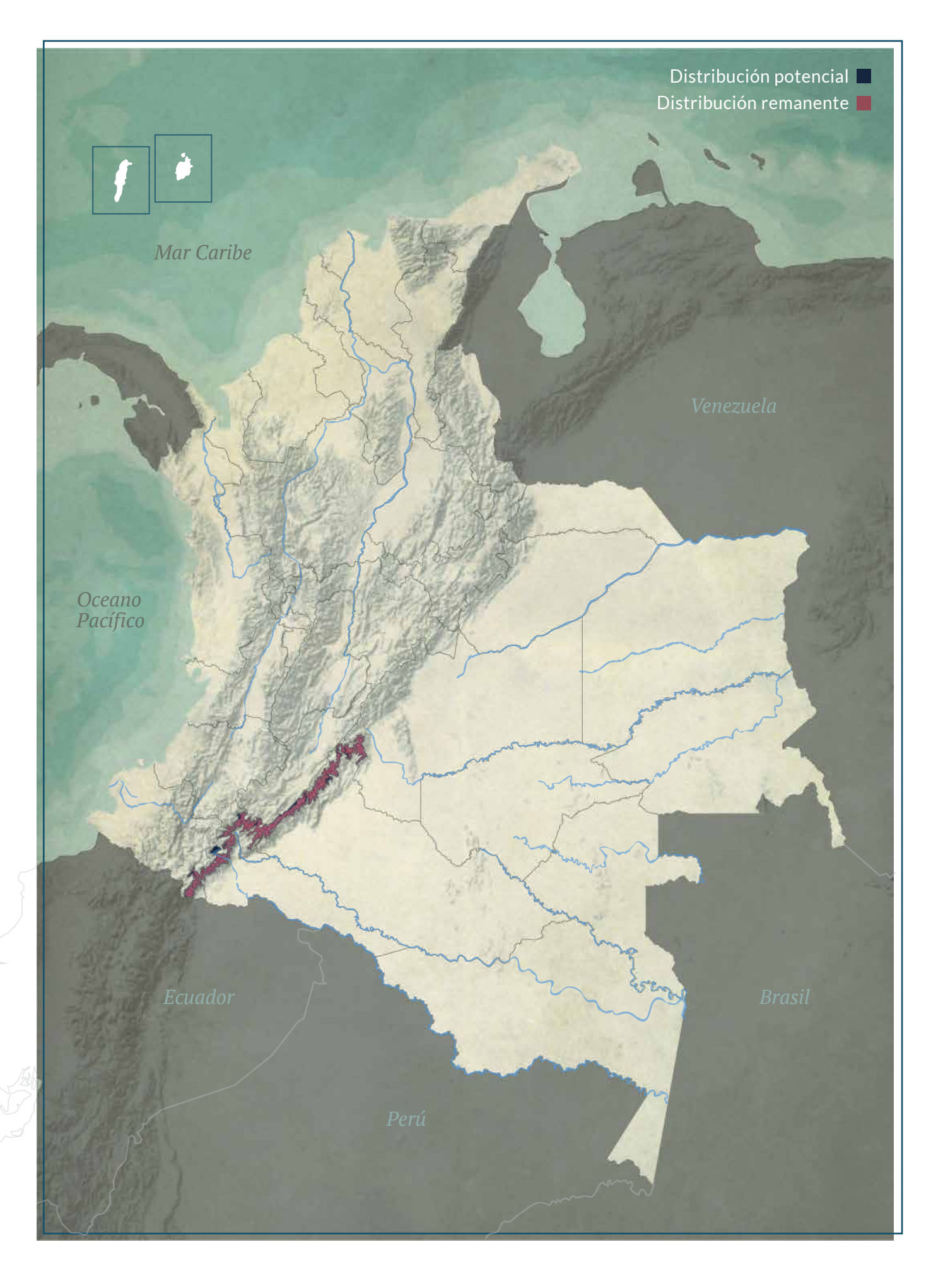
REPRESENTATIVIDAD ÁREAS PROTEGIDAS

DISTRIBUCIÓN POR COBERTURAS

36,4 %
Todas las áreas

23,7 %
PNN
RSC
Otras figuras





AUTORES

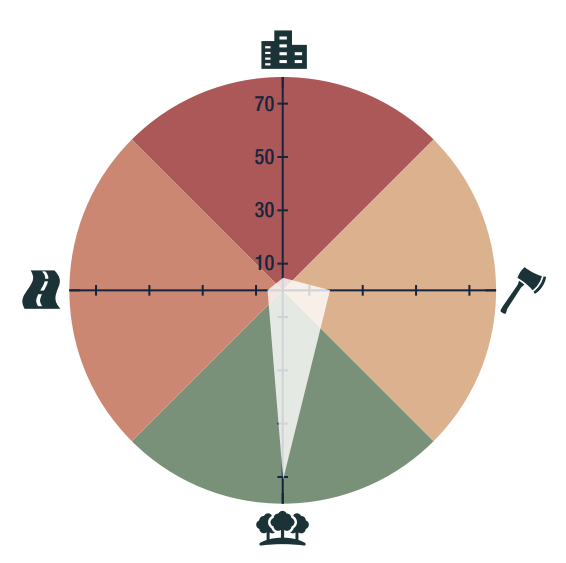
R. Moreno-Arias, J. A. Velasco y M. H. Olaya-Rodríguez BIOMODELOS



CATÁLOGO DE LA BIODIVERSIDAD

~

AMENAZA POR HUELLA HUMANA



12,24 %

HÁBITAT Y MICROHÁBITAT



C Preocupación menor MT9

Anolis fraseri

ANOLIS DE FRASER

ESTADÍSTICAS

RANGO DE DISTRIBUCIÓN

16 441 km²
Potencial

26 101 km² PMC sobre modelo

10 316 km²
Remanente

40 245 km² PMC sobre modelo

96 497 km²

148 km²

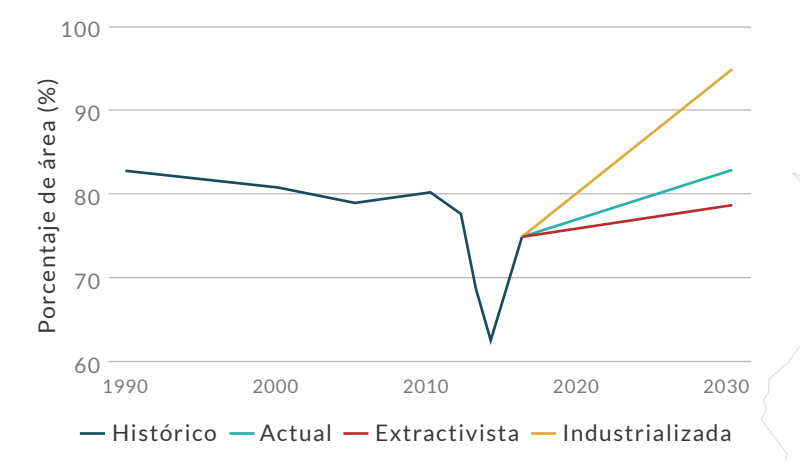
DISTRIBUCIÓN POR COBERTURAS

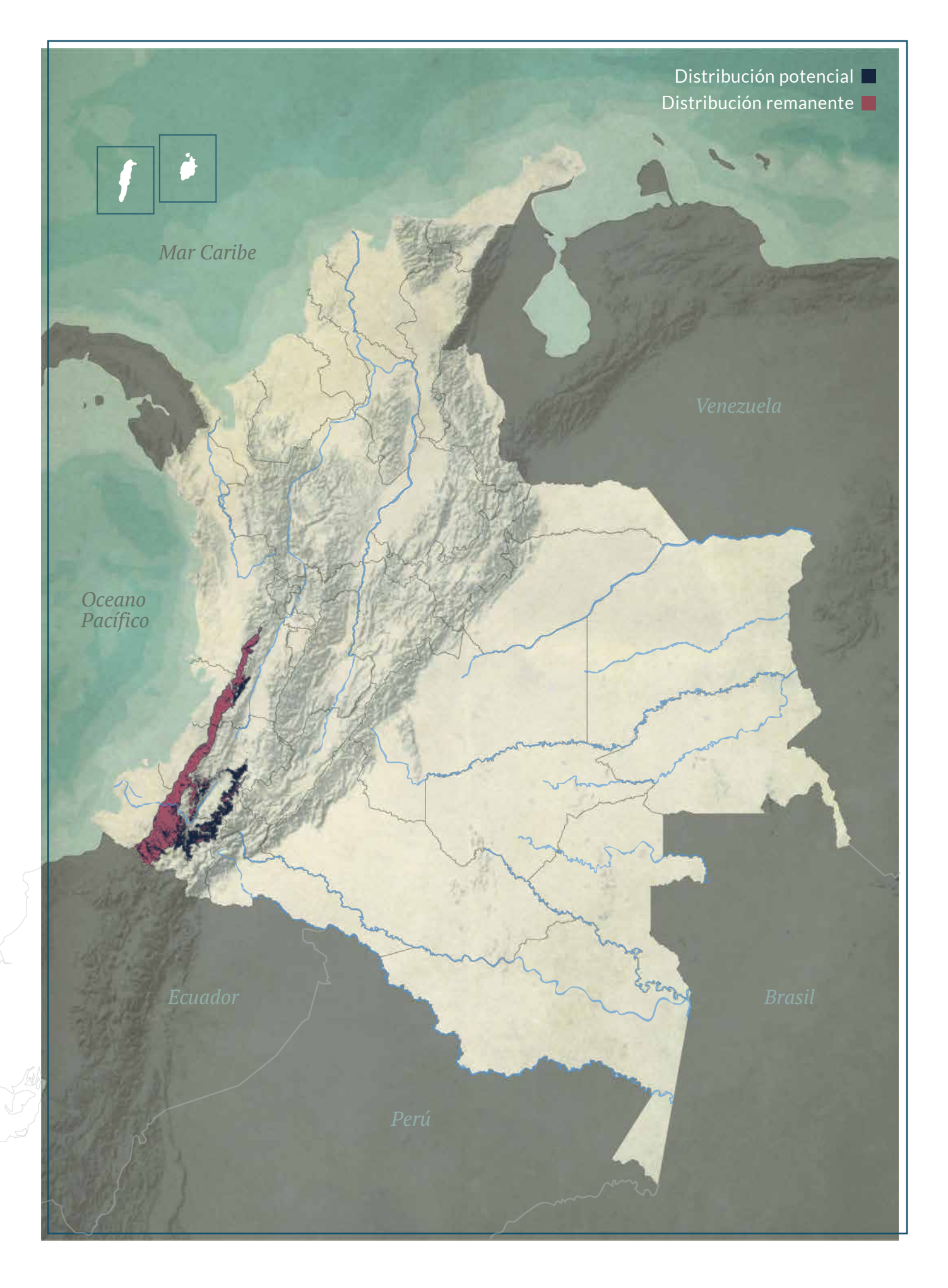
Bosque denso	Bosque de galería y ripario	
Bosque fragmentado		
Vegetación secundaria o en transición		
Arbustal		

REPRESENTATIVIDAD ÁREAS PROTEGIDAS

 14,5 %
 9,6 %
 0 %
 4,9 %

 Todas las áreas
 PNN
 RSC
 Otras figuras





AUTORES R. Moreno-Arias, J. A. Velasco,

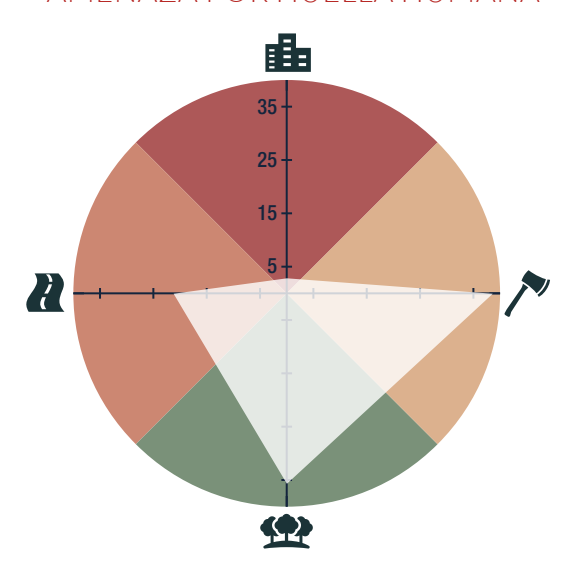
M. H. Olaya-Rodríguez y G. F. Medina-Rangel

BIOMODELOS

Ø

CATÁLOGO DE LA BIODIVERSIDAD

AMENAZA POR HUELLA HUMANA



12,14 %

HÁBITAT Y MICROHÁBITAT





Anolis frenatus

ANOLIS EMBRIDADO

ESTADÍSTICAS

RANGO DE DISTRIBUCIÓN

71 264 km²

115 500 km² PMC sobre modelo 19 283 km²
Remanente

131871 km² PMC sobre modelo

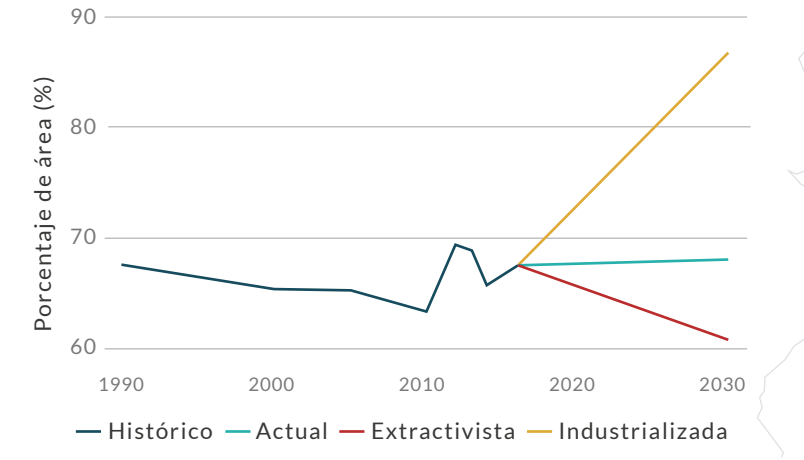
311 672 km²

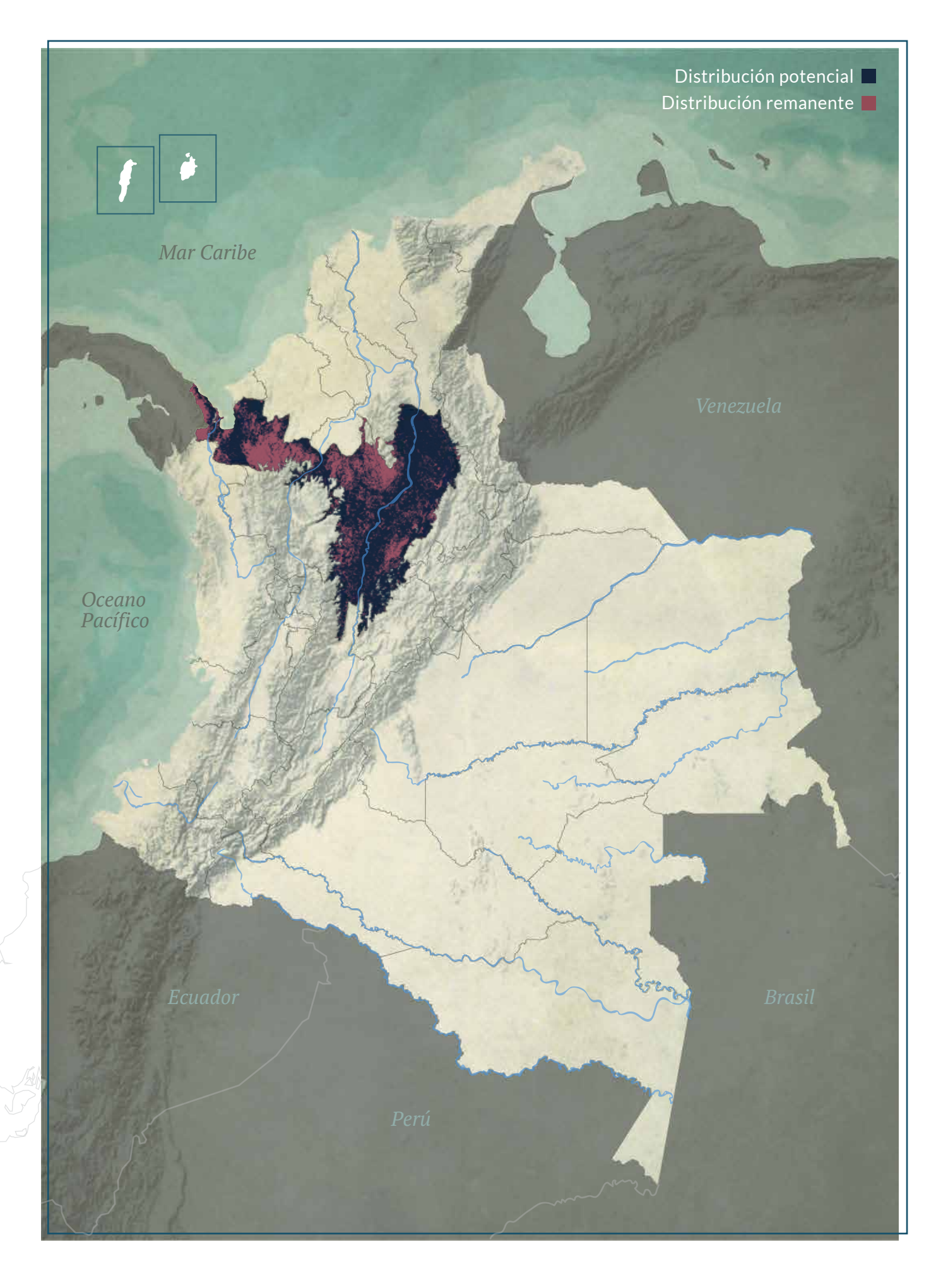
256 km²

DISTRIBUCIÓN POR COBERTURAS

Bosque denso Bosque fragmentado Bosque abierto Bosque de galería y ripario

REPRESENTATIVIDAD ÁREAS PROTEGIDAS





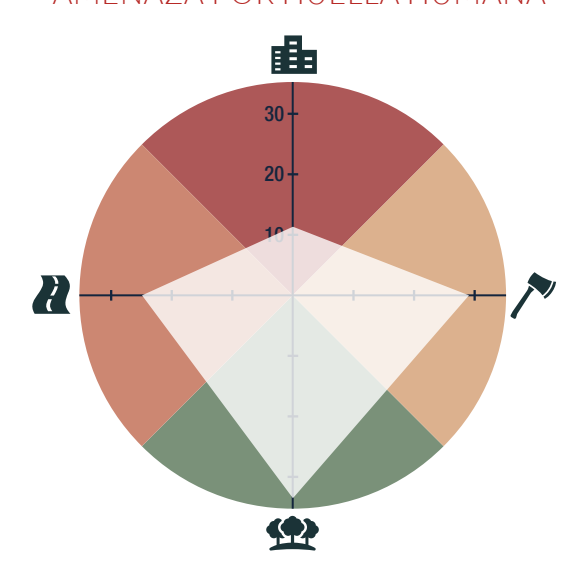


AUTORES R. Moreno-Arias, J. A. Velasco y M. H. Olaya-Rodríguez BIOMODELOS



CATÁLOGO DE LA BIODIVERSIDAD

AMENAZA POR HUELLA HUMANA



0,95 %

HÁBITAT Y MICROHÁBITAT



C Preocupación menor

Anolis fuscoauratus

ANOLIS ESBELTO CAFÉ

ESTADÍSTICAS

RANGO DE DISTRIBUCIÓN

 $481\,075\,km^2$

613 850 km² PMC sobre modelo

28 239 km²
Remanente

845 090 km² PMC sobre modelo

11 609 482 km²

888 km²

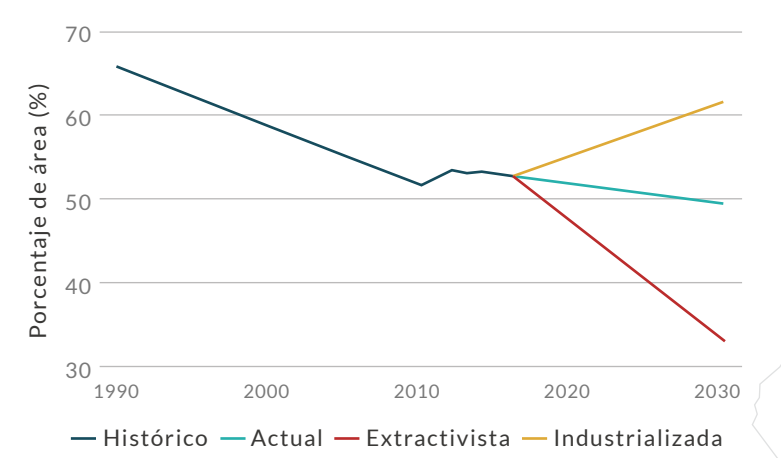
DISTRIBUCIÓN POR COBERTURAS

Vegetación secundaria o en transición
Bosque de galería y ripario Bosque abierto
Bosque fragmentado Plantación forestal
Arbustal

REPRESENTATIVIDAD ÁREAS PROTEGIDAS

9,7 %
Todas las áreas

5,5 %
PNN
RSC
Otras figuras





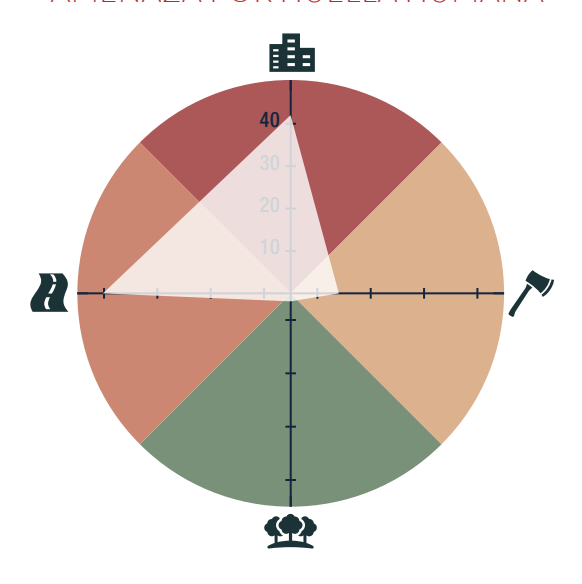


AUTORES
R. Moreno-Arias, J. A. Velasco,
M. H. Olaya-Rodríguez y G. F. Medina-Rangel
BIOMODELOS



CATÁLOGO DE LA BIODIVERSIDAD





7,3 % 🖨

HÁBITAT Y MICROHÁBITAT





Anolis gaigei

ANOLIS DE GAIGE

ESTADÍSTICAS

RANGO DE DISTRIBUCIÓN

121 033 km²

193 949 km² PMC sobre modelo

19 087 km²
Remanente

177 015 km² PMC sobre modelo

229 265 km²

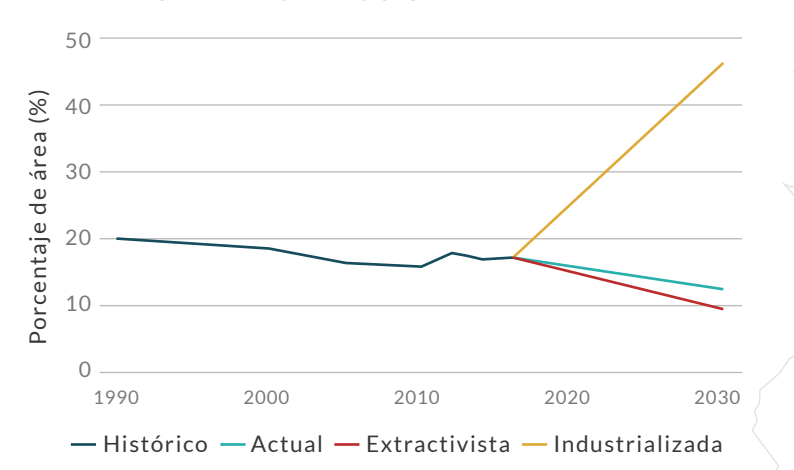
236 km²

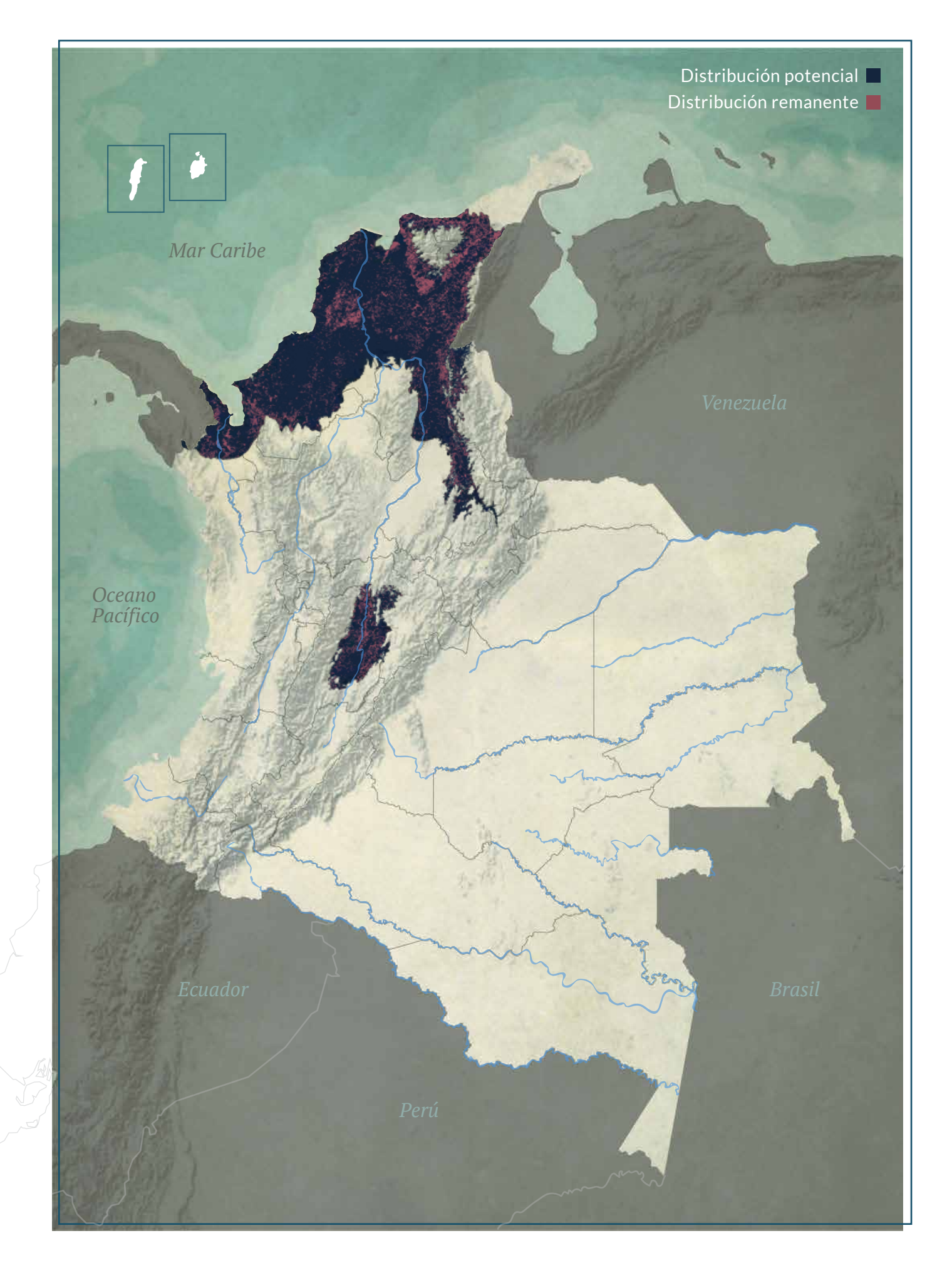
DISTRIBUCIÓN POR COBERTURAS

Vegetación secundaria o en transición
Arbustal Bosque abierto
Bosque fragmentado Plantación forestal
Bosque de galería y ripario

REPRESENTATIVIDAD ÁREAS PROTEGIDAS

6,6 % 2,1 % 0 % 4,2 % PNN RSC Otras figuras



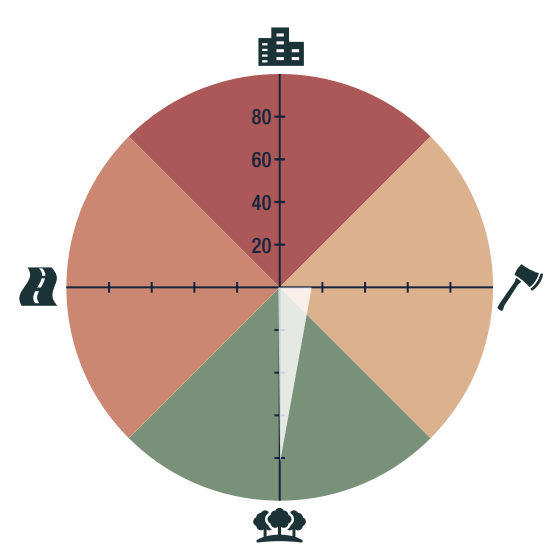


AUTORES R. Moreno-Arias, J. A. Velasco y M. H. Olaya-Rodríguez BIOMODELOS



CATÁLOGO DE LA BIODIVERSIDAD

AMENAZA POR HUELLA HUMANA



2,24 %

HÁBITAT Y MICROHÁBITAT



LC · Preocupación menor

Anolis gemmosus

ANOLIS GEMA

ESTADÍSTICAS

RANGO DE DISTRIBUCIÓN

1095 km²
Potencial

4156 km²
PMC sobre modelo

799 km²
Remanente

7539 km²
PMC sobre modelo

15 610 km²

A00 240 km²

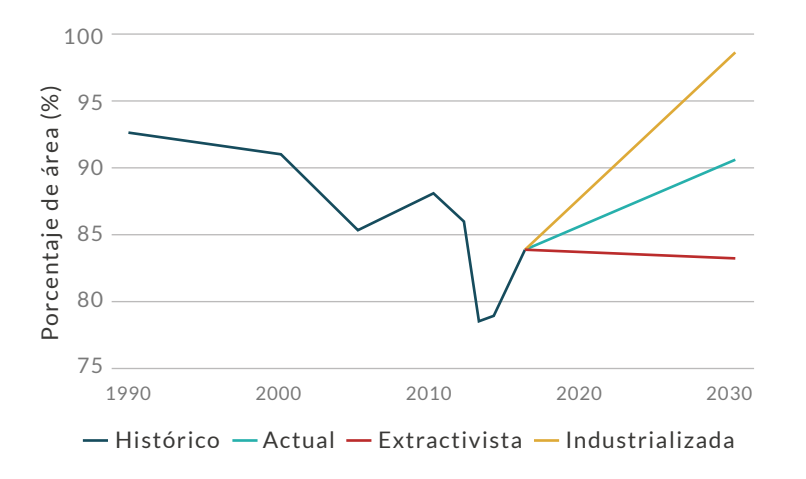
DISTRIBUCIÓN POR COBERTURAS

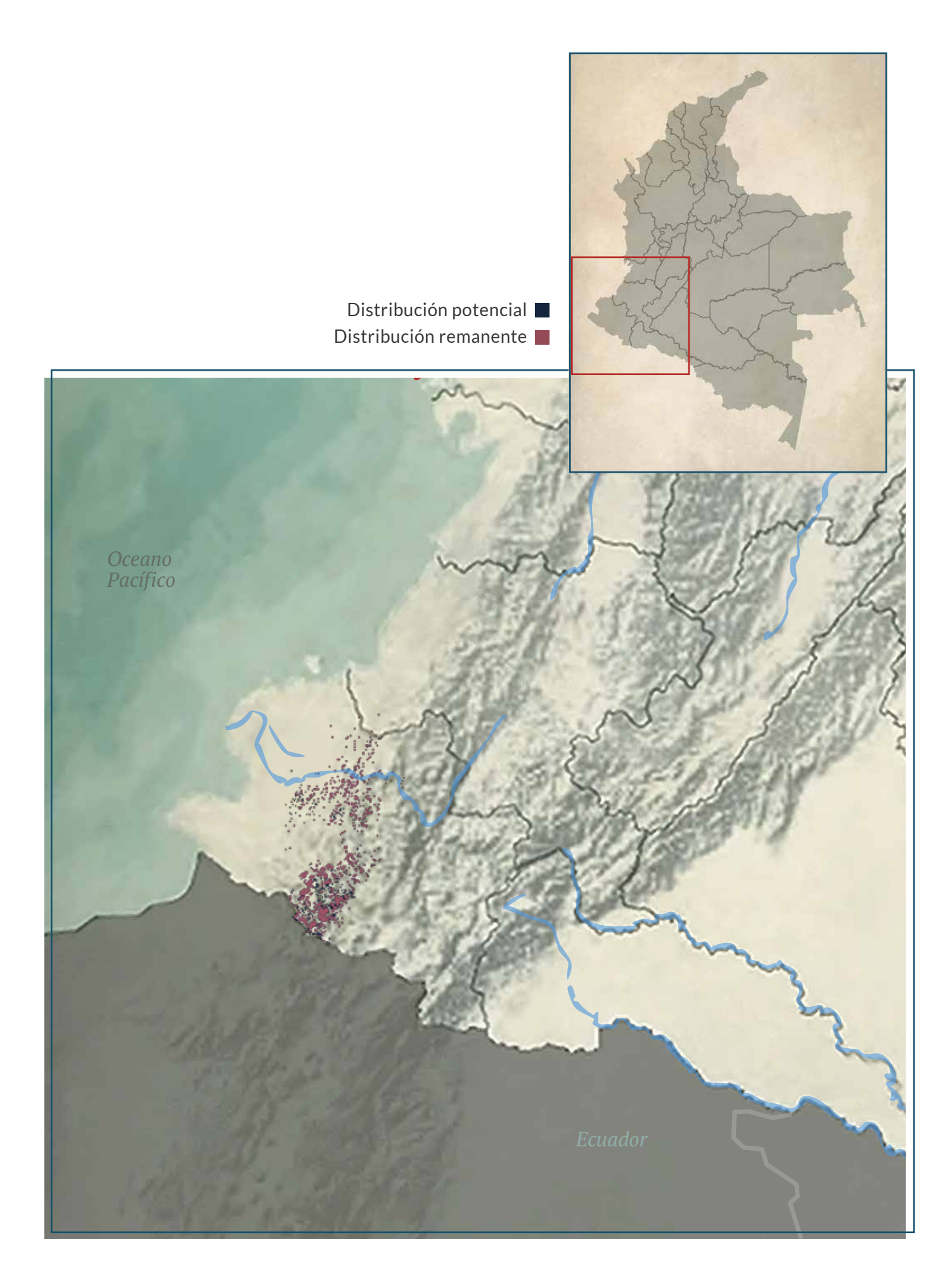
Bosque denso Bosque fragmentado

REPRESENTATIVIDAD ÁREAS PROTEGIDAS

4,2 %
Todas las áreas

2,3 %
PNN
RSC
Otras figuras



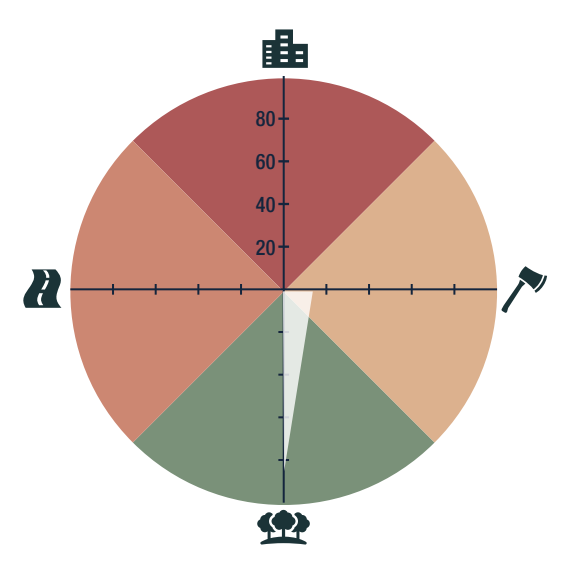




₽

CATÁLOGO DE LA BIODIVERSIDAD

AMENAZA POR HUELLA HUMANA



11,78 %

HÁBITAT Y MICROHÁBITAT



C Preocupación menor HoA

Anolis gracilipes

CAMALEÓN DEL CHOCÓ

ESTADÍSTICAS

RANGO DE DISTRIBUCIÓN

38 924 km²
Potencial

57 320 km² PMC sobre modelo

25 279 km²
Remanente

53 826 km² PMC sobre modelo

20 999 km²

A00 **152 km**²

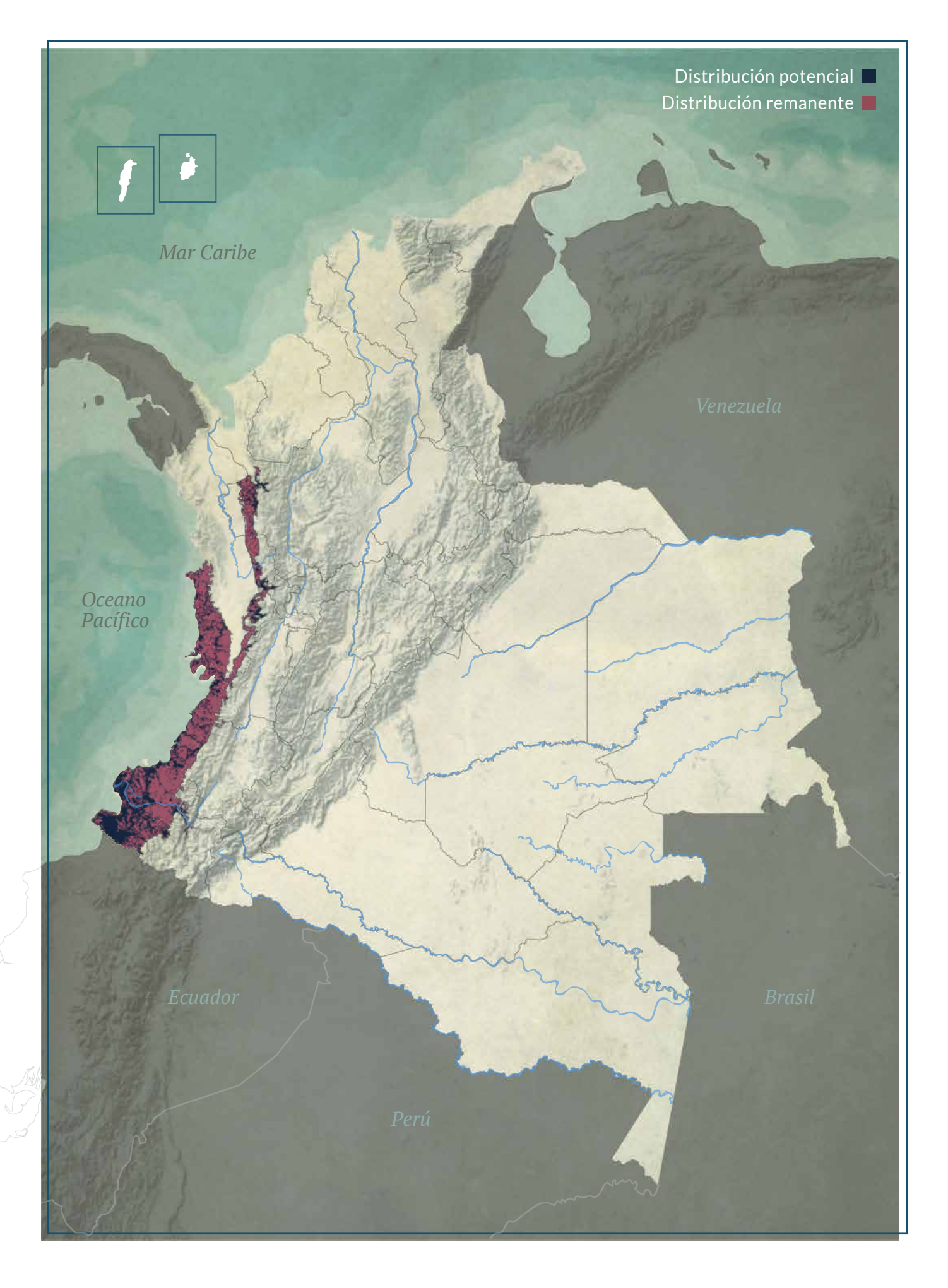
DISTRIBUCIÓN POR COBERTURAS

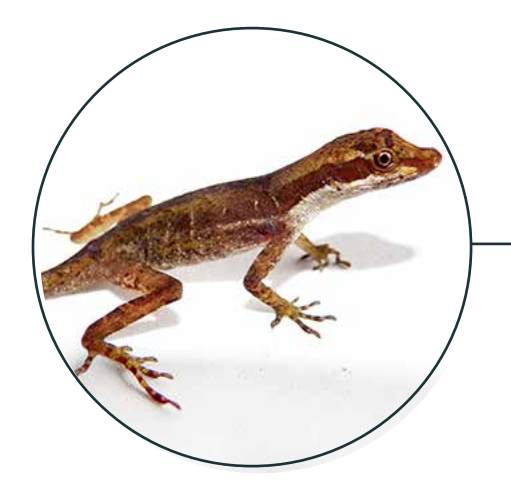
Bosque denso Bosque abierto

REPRESENTATIVIDAD ÁREAS PROTEGIDAS

8 % 2,8 % 0 % 5,2 % Todas las áreas PNN RSC Otras figuras







AUTORES

R. Moreno-Arias, J. A. Velasco y M. H. Olaya-Rodríguez BIOMODELOS



CATÁLOGO DE LA BIODIVERSIDAD

AMENAZA POR HUELLA HUMANA

~

7,87 %

HÁBITAT Y MICROHÁBITAT





Anolis granuliceps

ANOLIS GRANULOSO

ESTADÍSTICAS

RANGO DE DISTRIBUCIÓN

73 430 km²

102 343 km² PMC sobre modelo

55 271 km²
Remanente

99 708 km² PMC sobre modelo

9995 km²

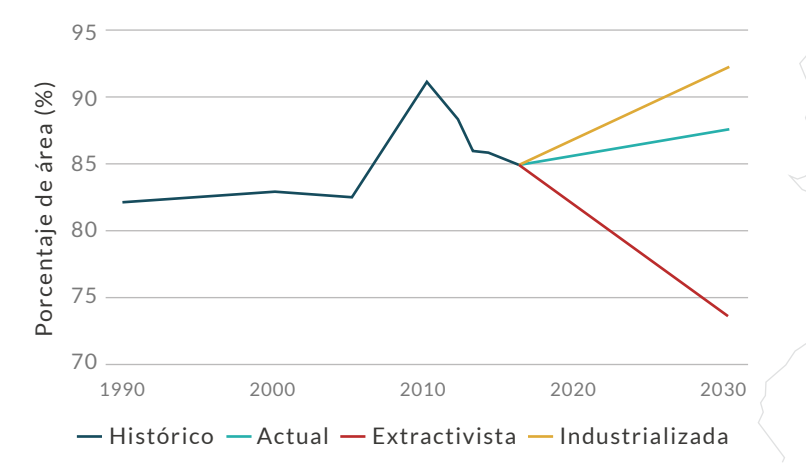
A00 **244 km**²

DISTRIBUCIÓN POR COBERTURAS

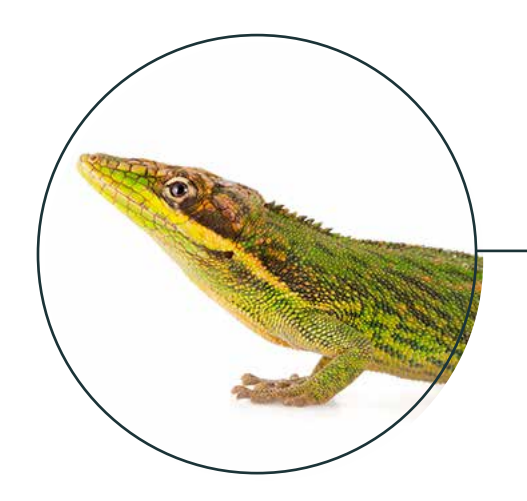
Bosque denso Bosque fragmentado Bosque abierto Bosque de galería y ripario

REPRESENTATIVIDAD ÁREAS PROTEGIDAS

7,5 % 3,3 % 0 % 4,2 % Todas las áreas PNN RSC Otras figuras







AUTORES

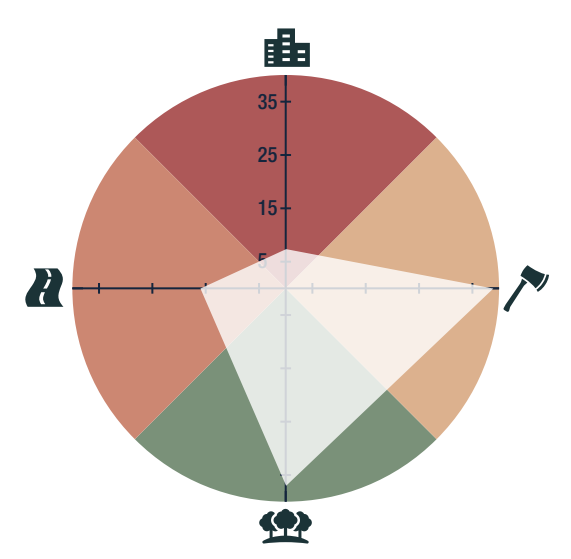
R. Moreno-Arias, J. A. Velasco, M. H. Olaya-Rodríguez y G. F. Medina-Rangel BIOMODELOS



CATÁLOGO DE LA BIODIVERSIDAD



AMENAZA POR HUELLA HUMANA



5,35 %

HÁBITAT Y MICROHÁBITAT





Anolis heterodermus

CAMALEON ANDINO

ESTADÍSTICAS

RANGO DE DISTRIBUCIÓN

 $88\,492\,km^2_{\text{Potencial}}$

229 130 km² PMC sobre modelo

42 685 km²
Remanente

227 329 km² PMC sobre modelo

47 396 km²

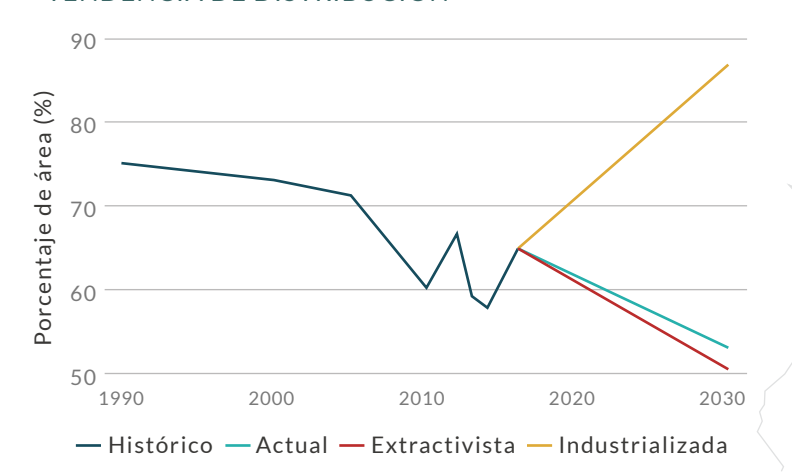
344 km²

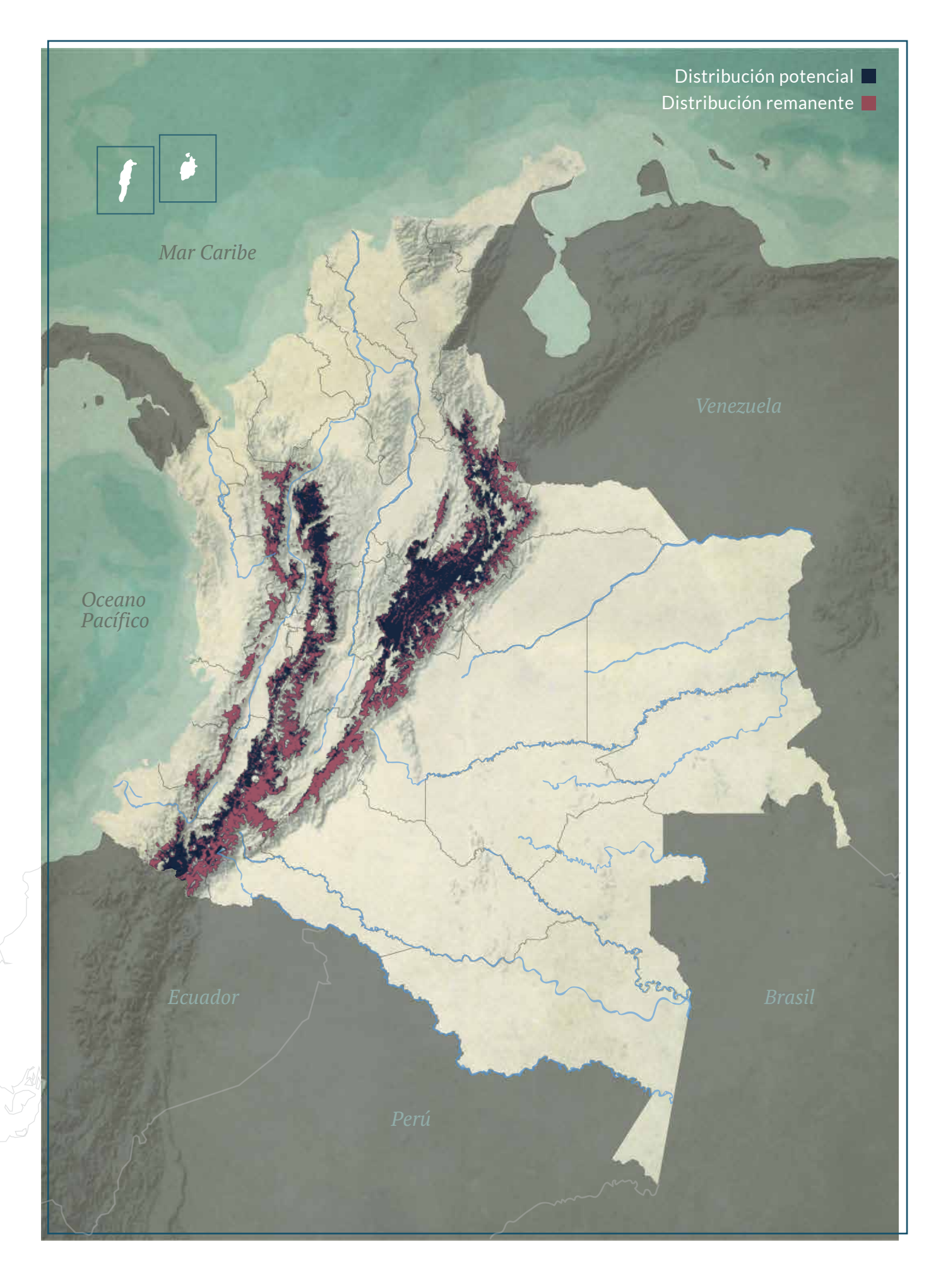
DISTRIBUCIÓN POR COBERTURAS

Bosque denso	Bosque abierto	
Arbustal	Plantación forestal	
Bosque fragmentado		
Vegetación secundaria o en transición		

REPRESENTATIVIDAD ÁREAS PROTEGIDAS

37,3 % 17,5 % 0 % 20 % Todas las áreas PNN RSC Otras figuras







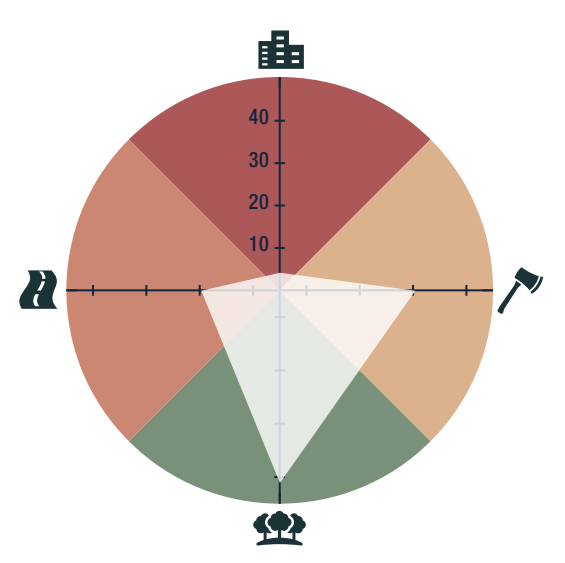
AUTORES
R. Moreno-Arias, J. A. Velasco
y M. H. Olaya-Rodríguez
BIOMODELOS



CATÁLOGO DE LA BIODIVERSIDAD

~

AMENAZA POR HUELLA HUMANA



3,67 % 🖨

HÁBITAT Y MICROHÁBITAT



C Preocupación menor MT8

Anolis huilae

ANOLIS DEL HUILA

ESTADÍSTICAS

RANGO DE DISTRIBUCIÓN

16 940 km²
Potencial
43 952 km²

PMC sobre modelo

7601 km²
Remanente
42 128 km²

PMC sobre modelo

 $\frac{7271\,\text{km}^2}{2}$

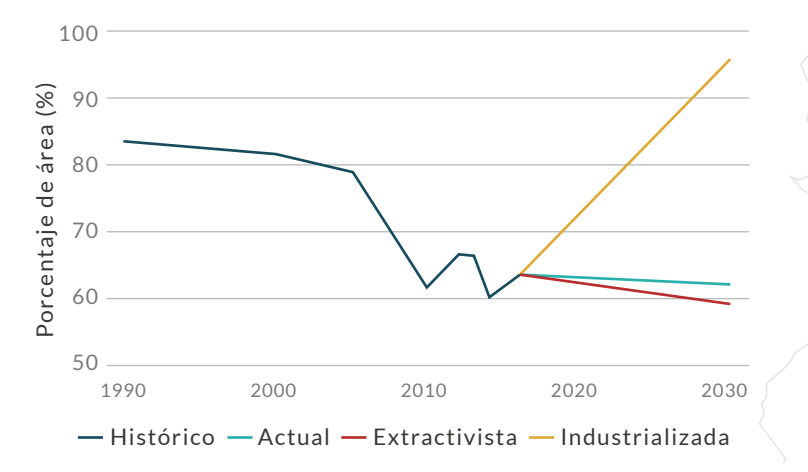
 $40\,\text{km}^2$

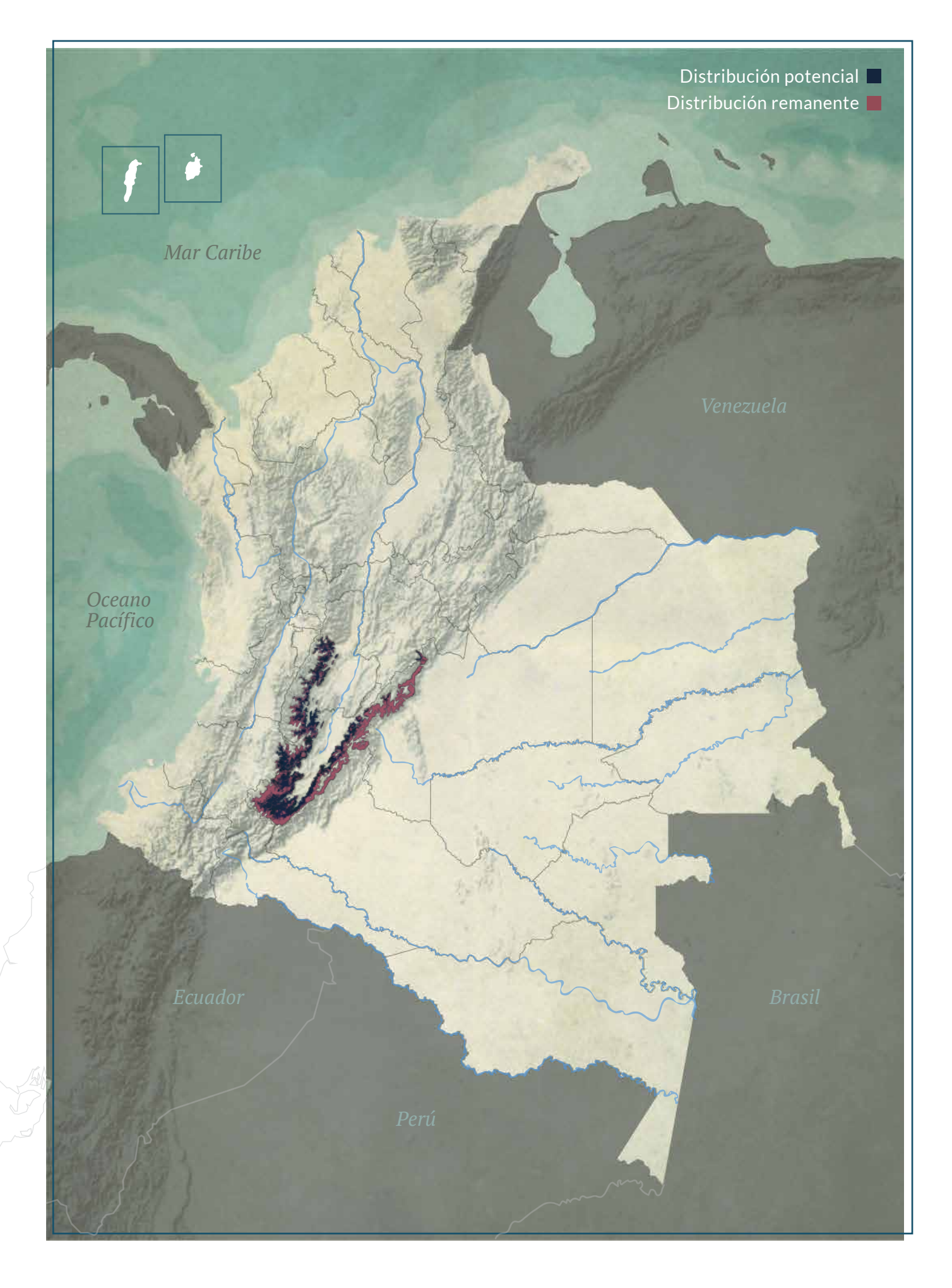
DISTRIBUCIÓN POR COBERTURAS

Bosque denso
Vegetación secundaria o en transición
Bosque fragmentado Arbustal
Bosque de galería y ripario Bosque abierto

REPRESENTATIVIDAD ÁREAS PROTEGIDAS

36,4 % 12,4 % 0,2 % 24,1 % PNN RSC Otras figuras





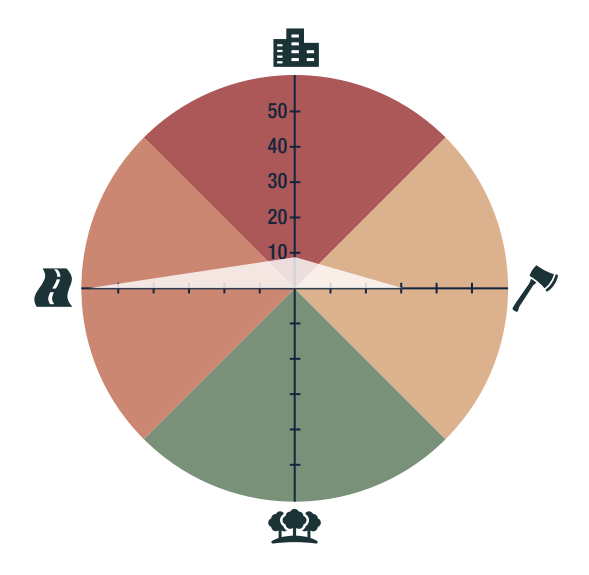


AUTORES R. Moreno-Arias, J. A. Velasco, M. H. Olaya-Rodríguez y G. F. Medina-Rangel BIOMODELOS

Ø

CATÁLOGO DE LA BIODIVERSIDAD

AMENAZA POR HUELLA HUMANA



5,67 %

HÁBITAT Y MICROHÁBITAT



LC · Preocupación menor

Anolis jacare

ANOLIS JACARÉ

ESTADÍSTICAS

RANGO DE DISTRIBUCIÓN

1317 km²
Potencial

2312 km²
PMC sobre modelo

37 105 km² Remanente

90 100 km² PMC sobre modelo

48 824 km²

A00 20 km²

DISTRIBUCIÓN POR COBERTURAS

Bosque fragmentado Vegetación secundaria o en transición

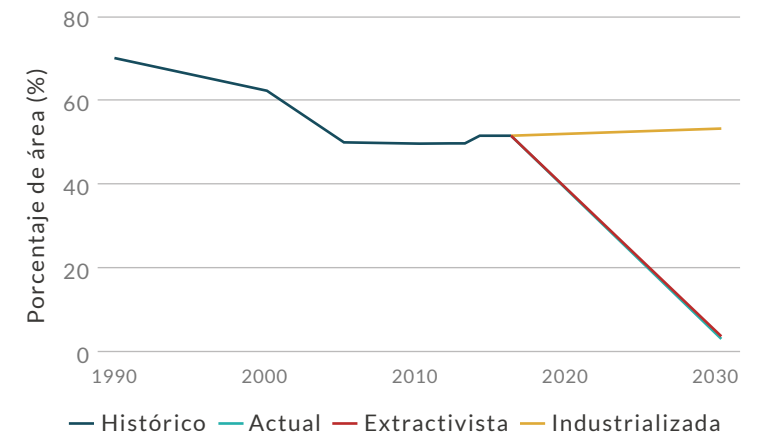
REPRESENTATIVIDAD ÁREAS PROTEGIDAS

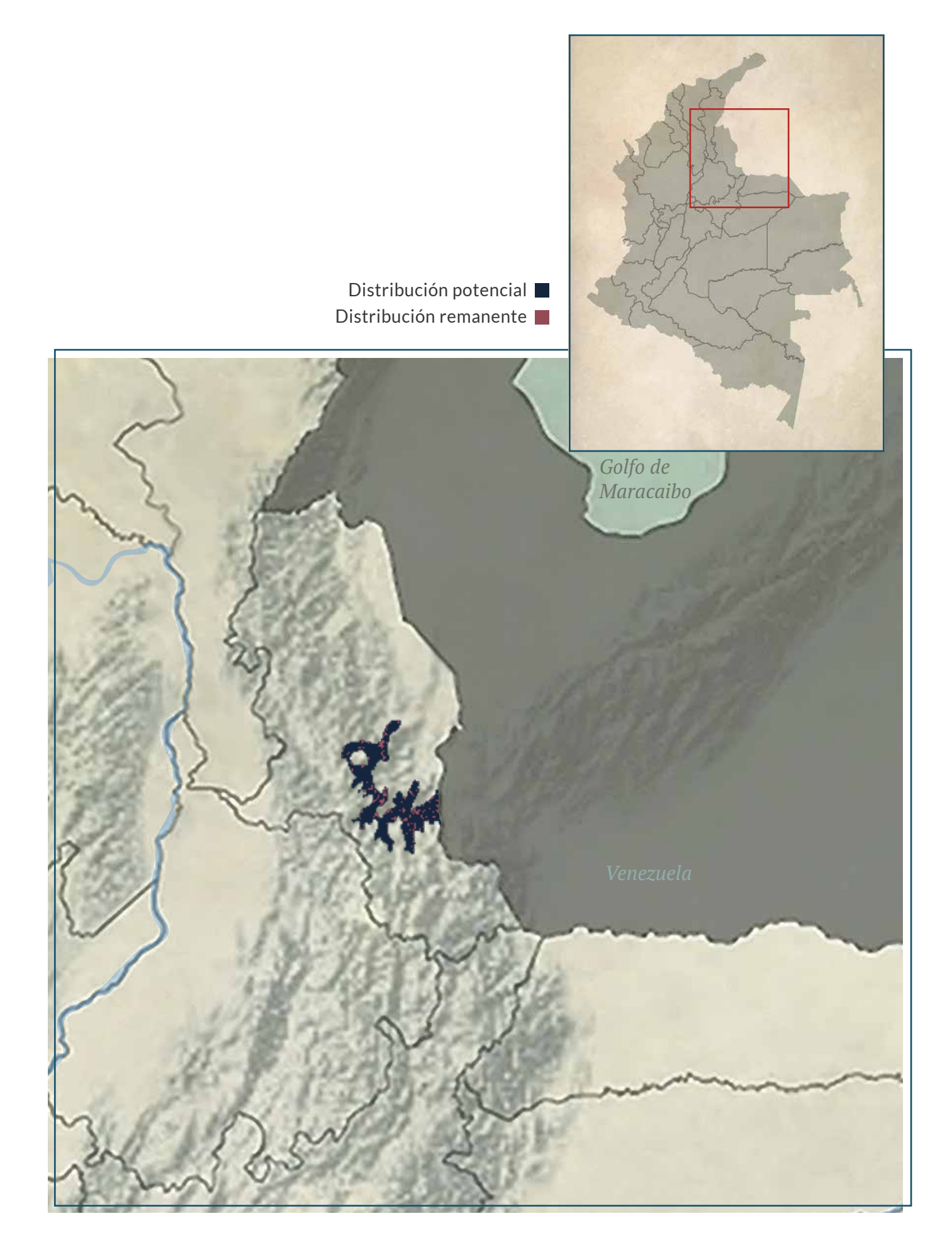
4,1%
Todas las áreas

O%
PNN

RSC

Otras
figuras







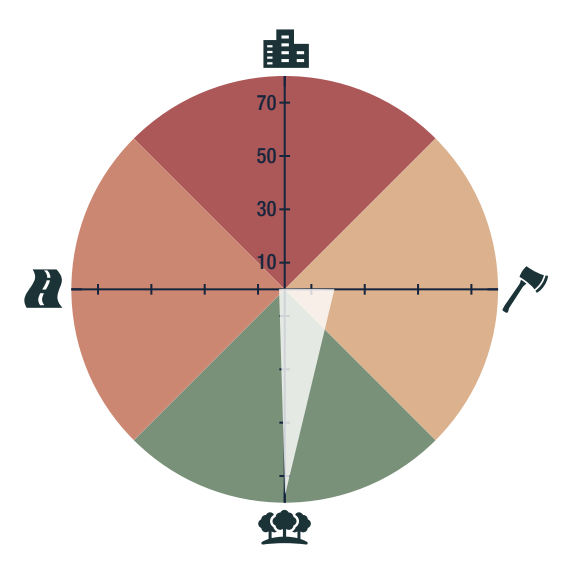
AUTORES R. Moreno-Arias, J. A. Velasco, M. H. Olaya-Rodríguez y G. F. Medina-Rangel BIOMODELOS



CATÁLOGO DE LA BIODIVERSIDAD

3

AMENAZA POR HUELLA HUMANA



8,36 % 🖨

HÁBITAT Y MICROHÁBITAT





Anolis latifrons

ANOLIS DE CABEZA ANCHA

ESTADÍSTICAS

RANGO DE DISTRIBUCIÓN

54 007 km²
Potencial

56 574 km²

PMC sobre modelo

41 229 km²
Remanente

55 151 km² PMC sobre modelo

3435 km²

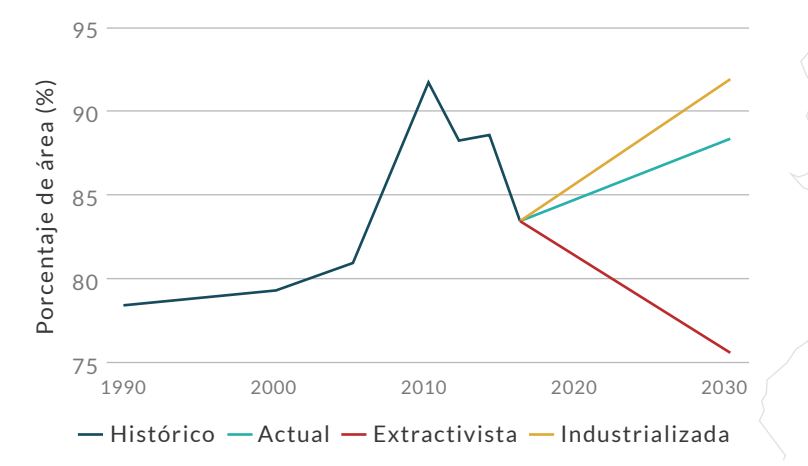
A00 56 km²

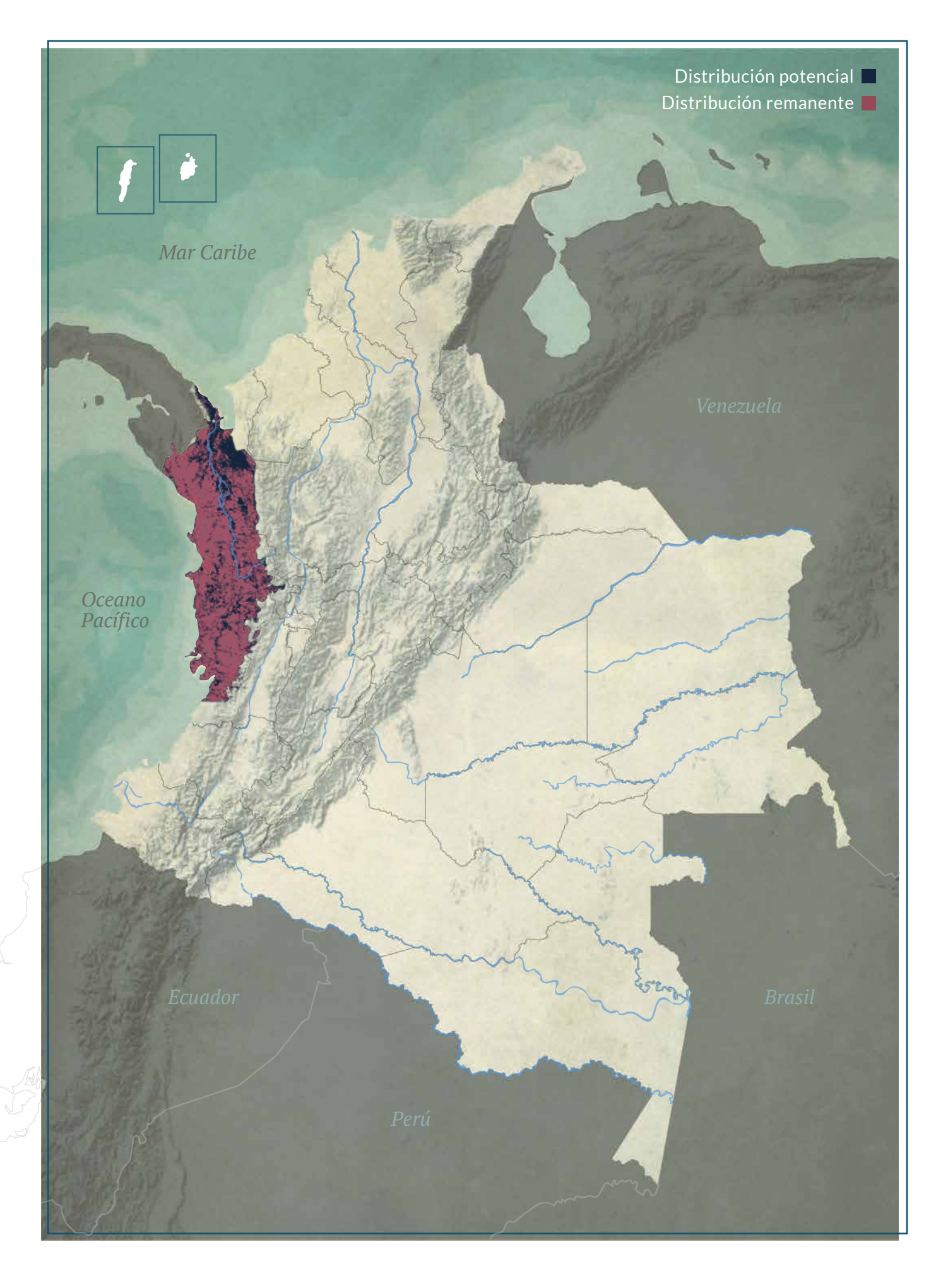
DISTRIBUCIÓN POR COBERTURAS

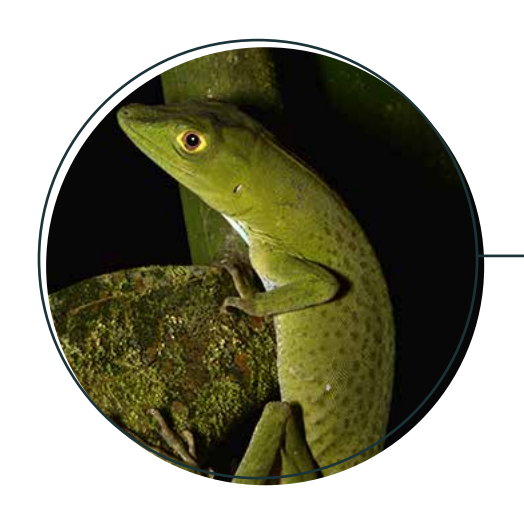
Bosque denso Bosque fragmentado Bosque abierto Bosque de galería y ripario

REPRESENTATIVIDAD ÁREAS PROTEGIDAS

7,6 % 2,8 % 0 % 4,9 % Todas las áreas PNN RSC Otras figuras





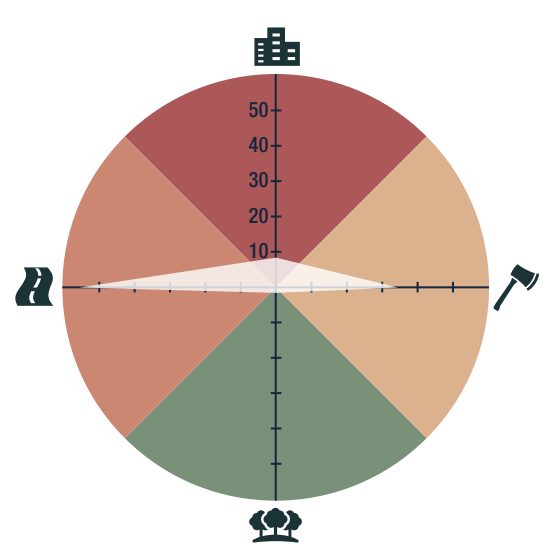


AUTORES R. Moreno-Arias, J. A. Velasco, Gladys Cárdenas-Arévalo y M. H. Olaya-Rodríguez BIOMODELOS

Ø

CATÁLOGO DE LA BIODIVERSIDAD

AMENAZA POR HUELLA HUMANA



14,12 %

HÁBITAT Y MICROHÁBITAT





Anolis limon

ANOLIS LIMÓN

ESTADÍSTICAS

RANGO DE DISTRIBUCIÓN

37 644 km²
Potencial

62 094 km² PMC sobre modelo 5328 km²
Remanente

47 645 km² PMC sobre modelo

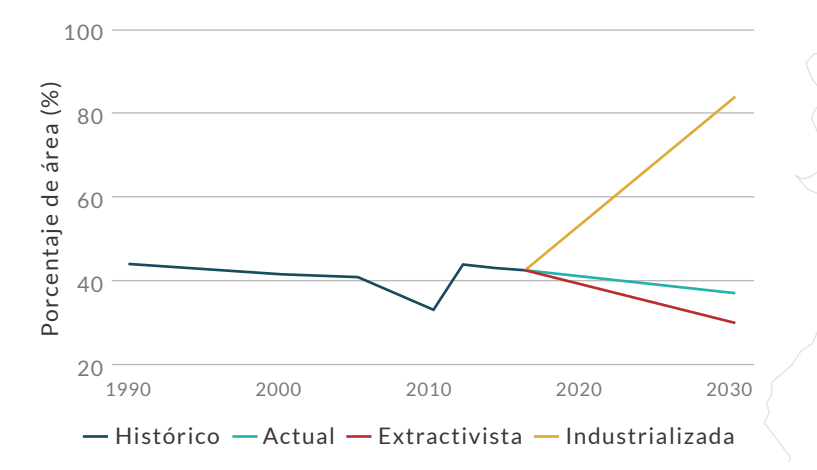
6801 km²

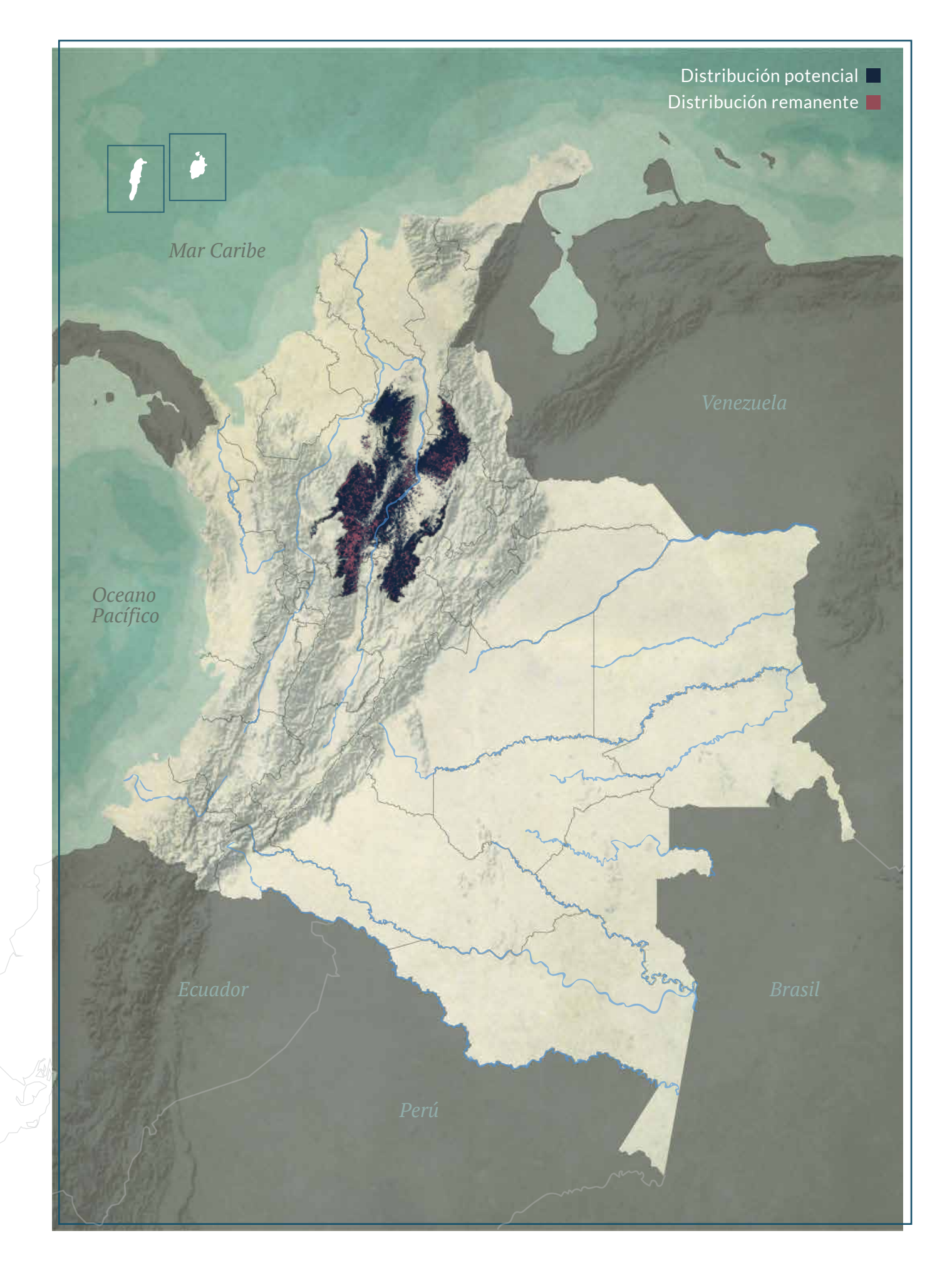
24 km²

DISTRIBUCIÓN POR COBERTURAS

Vegetación secundaria o en transición Bosque abierto Bosque de galería y ripario

REPRESENTATIVIDAD ÁREAS PROTEGIDAS







AUTORES R. Moreno-Arias, J. A. Velasco, M. H. Olaya-Rodríguez y G. F. Medina-Rangel

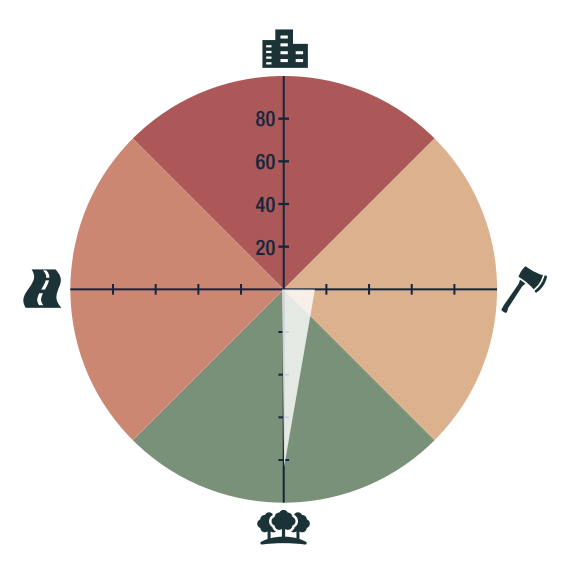
BIOMODELOS

Ø

CATÁLOGO DE LA BIODIVERSIDAD



AMENAZA POR HUELLA HUMANA



1,91 % 🖨

HÁBITAT Y MICROHÁBITAT



C Preocupación menor

Anolis lynchi

ANOLIS DE LYNCH

ESTADÍSTICAS

RANGO DE DISTRIBUCIÓN

16 992 km²

17 893 km² PMC sobre modelo

8869 km²

23 276 km² PMC sobre modelo

35 301 km²

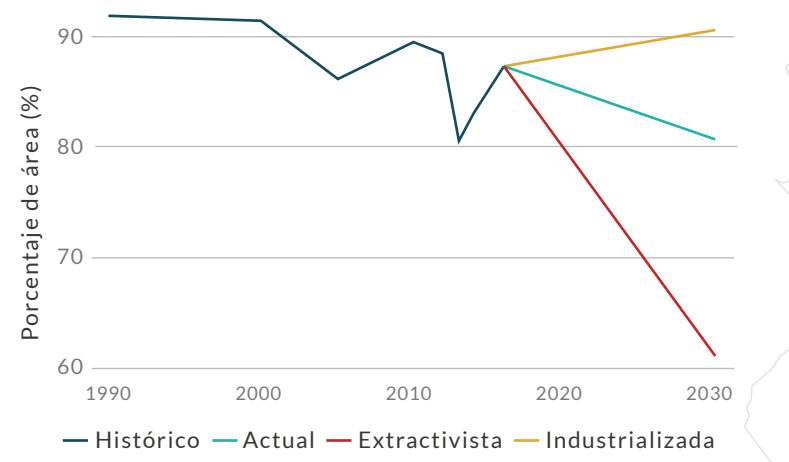
A00 **76 km**²

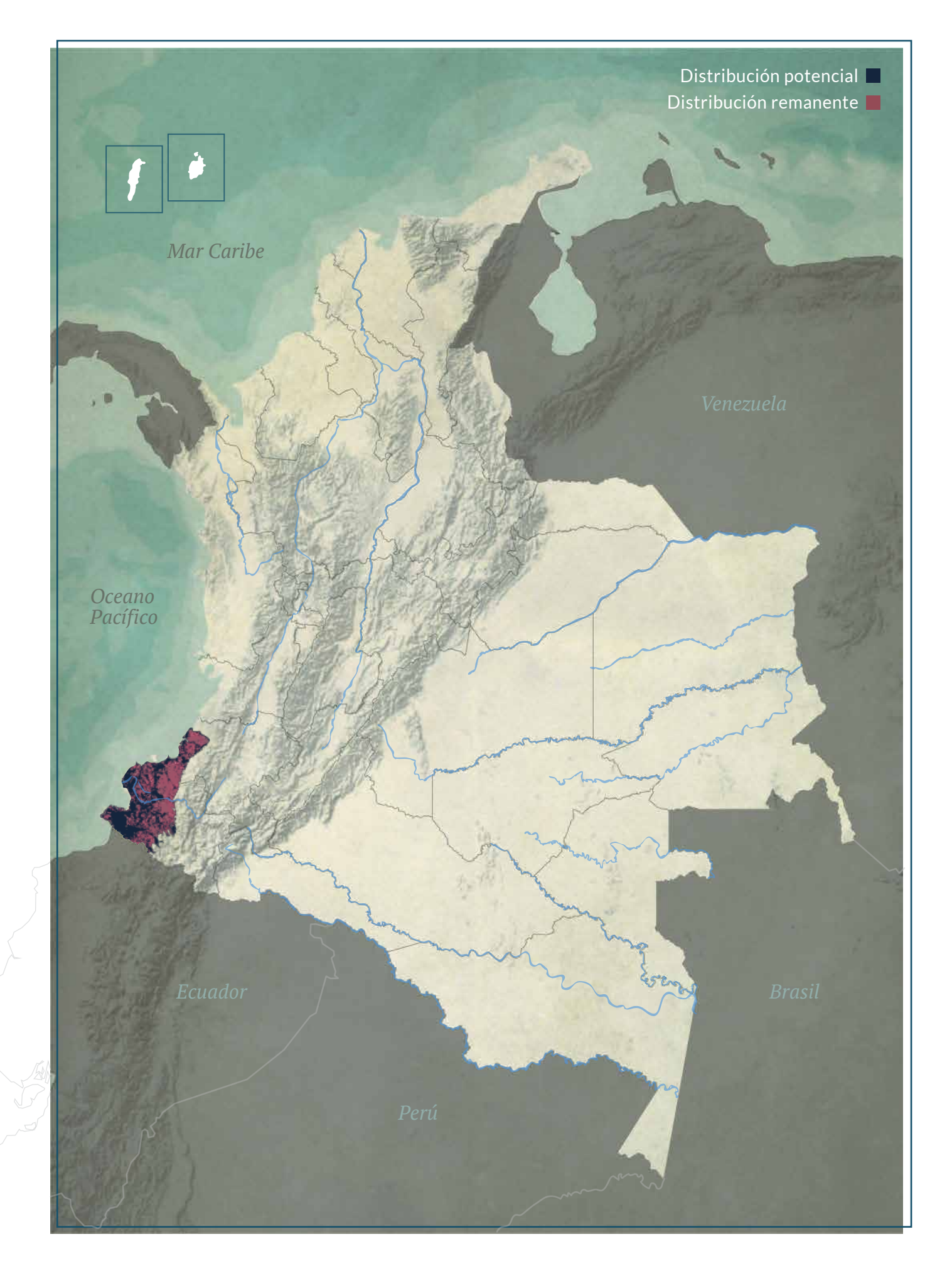
DISTRIBUCIÓN POR COBERTURAS

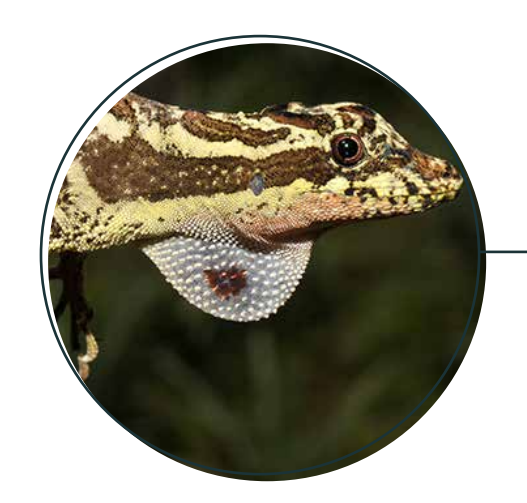
Bosque denso

REPRESENTATIVIDAD ÁREAS PROTEGIDAS

2,4 % 1,9 % 0 % 0,5 % PNN RSC Otras figuras







AUTORES

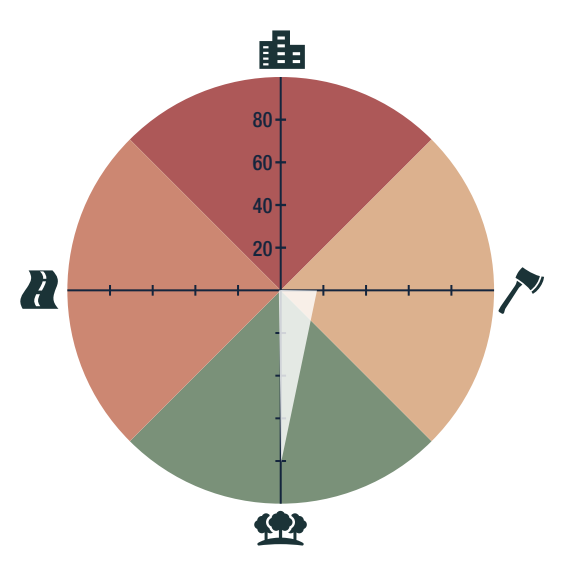
R. Moreno-Arias, J. A. Velasco, M. H. Olaya-Rodríguez y G. F. Medina-Rangel BIOMODELOS



CATÁLOGO DE LA BIODIVERSIDAD

\\$

AMENAZA POR HUELLA HUMANA



8,02 %

HÁBITAT Y MICROHÁBITAT



C Preocupación menor T

Anolis lyra

ANOLIS LIRA

ESTADÍSTICAS

RANGO DE DISTRIBUCIÓN

60 953 km²

70 155 km² PMC sobre modelo

46 632 km²
Remanente

66 809 km² PMC sobre modelo

6533 km²

124 km²

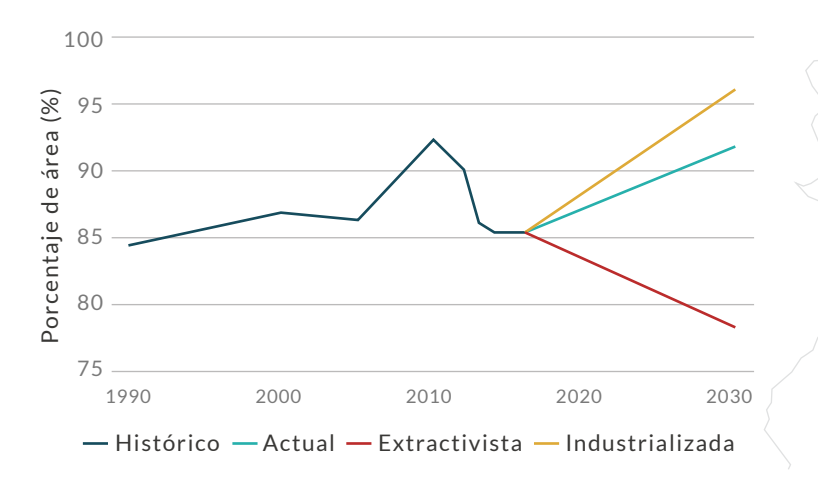
DISTRIBUCIÓN POR COBERTURAS

Bosque denso Bosque fragmentado Bosque abierto Bosque de galería y ripario

REPRESENTATIVIDAD ÁREAS PROTEGIDAS

7,3 %
Todas las áreas

3,6 %
PNN
RSC
Otras figuras





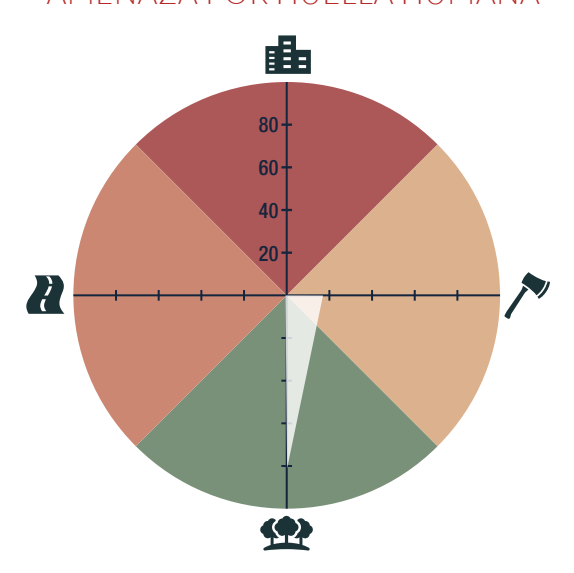


AUTORES R. Moreno-Arias, J. A. Velasco, M. H. Olaya-Rodríguez y G. F. Medina-Rangel BIOMODELOS



CATÁLOGO DE LA BIODIVERSIDAD

AMENAZA POR HUELLA HUMANA



9,87 % 🖨

HÁBITAT Y MICROHÁBITAT





Anolis macrolepis

ANOLIS DE ESCAMAS GRANDES

ESTADÍSTICAS

RANGO DE DISTRIBUCIÓN

42 861 km²
Potencial

46 888 km² PMC sobre modelo

35 322 km² Remanente

65 349 km² PMC sobre modelo

4,6 %

Otras figuras

22 650 km²

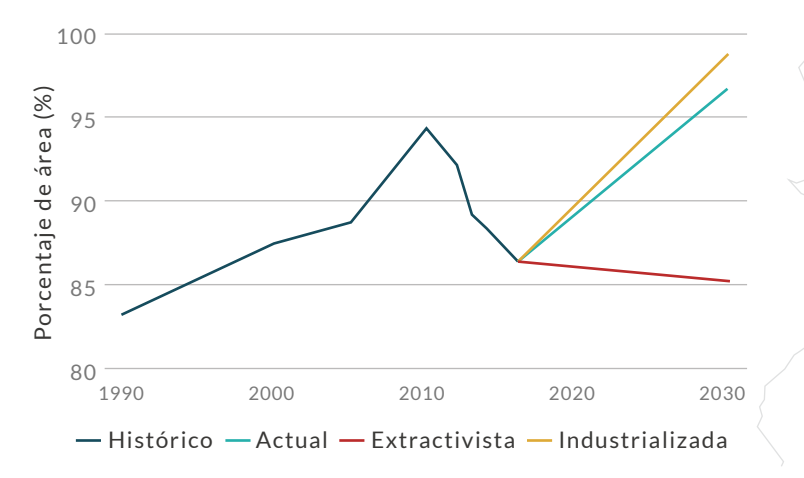
A00 56 km²

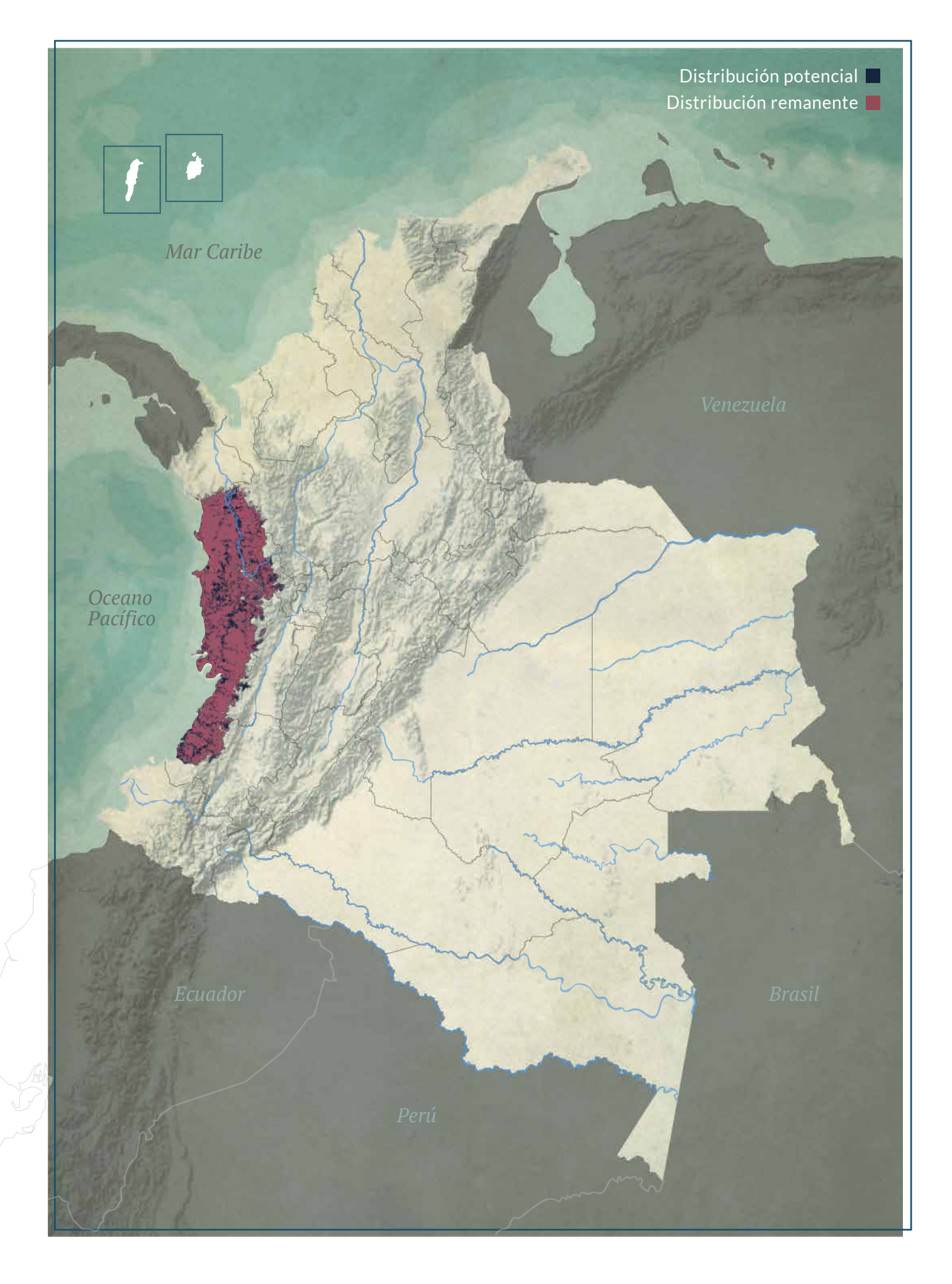
DISTRIBUCIÓN POR COBERTURAS

Bosque denso Bosque fragmentado Bosque abierto Bosque de galería y ripario

REPRESENTATIVIDAD ÁREAS PROTEGIDAS

8,8 % 4,2% 0 %
Todas las áreas PNN RSC



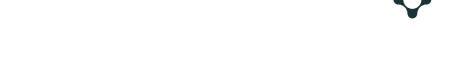




AUTORES
R. Moreno-Arias, J. A. Velasco,
M. H. Olaya-Rodríguez y G. F. Medina-Rangel
BIOMODELOS

Ø

CATÁLOGO DE LA BIODIVERSIDAD





12,94 %

HÁBITAT Y MICROHÁBITAT





Anolis maculigula

ANOLIS GIGANTE ACUÁTICO DE GARGANTA MANCHADA

ESTADÍSTICAS

RANGO DE DISTRIBUCIÓN

12 649 km²
Potencial

21 201 km² PMC sobre modelo 5446 km²
Remanente

15 336 km² PMC sobre modelo

2231 km²

48 km²

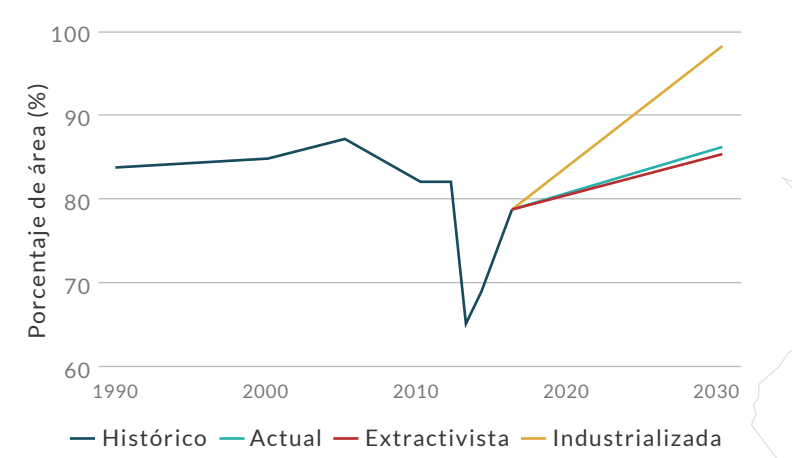
DISTRIBUCIÓN POR COBERTURAS

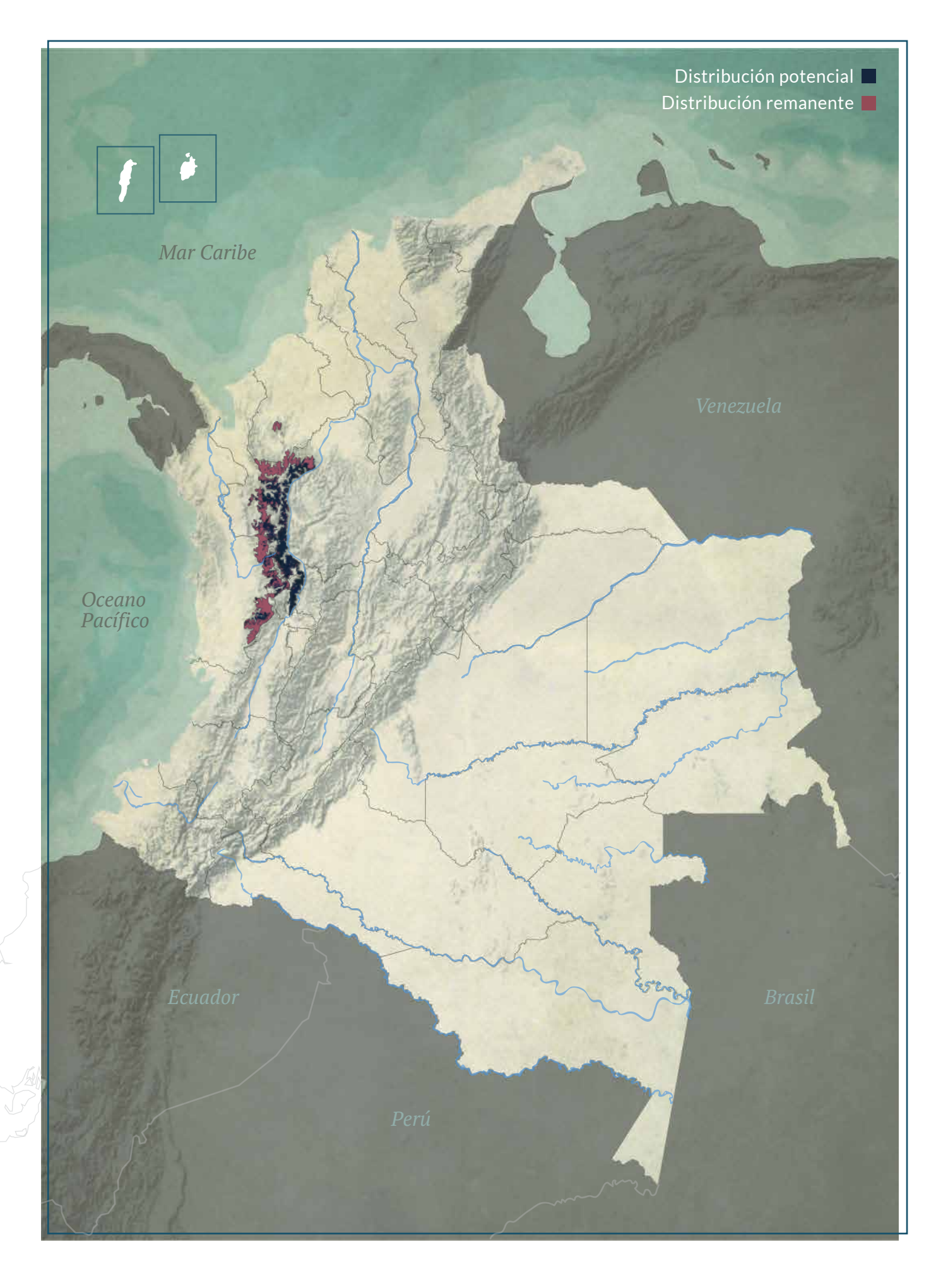
Bosque denso Bosque de galería y ripario

REPRESENTATIVIDAD ÁREAS PROTEGIDAS

 26,4 %
 23 %
 0 %
 3,4 %

 Todas las áreas
 PNN
 RSC
 Otras figuras





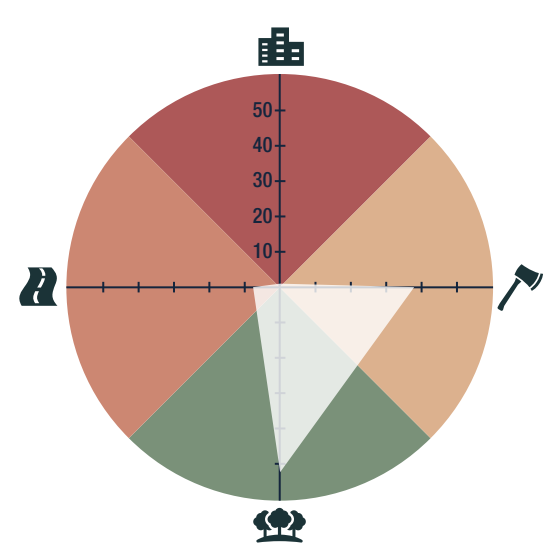
BIOMODELOS

Ø

CATÁLOGO DE LA BIODIVERSIDAD



AMENAZA POR HUELLA HUMANA



9,12 %

HÁBITAT Y MICROHÁBITAT



C Preocupación menor

Anolis maculiventris

ANOLIS DE VIENTRE BLANCO

ESTADÍSTICAS

RANGO DE DISTRIBUCIÓN

79 928 km²

246 821 km² PMC sobre modelo

10 344 km²
Remanente

86 917 km² PMC sobre modelo

12 042 km²

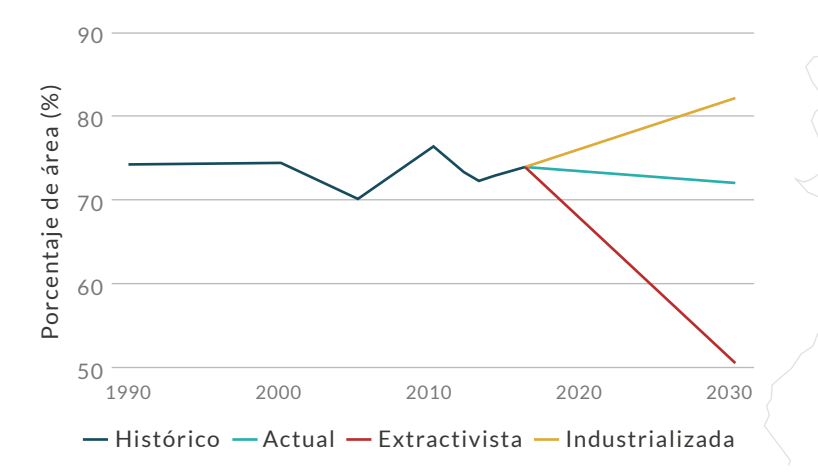
204 km²

DISTRIBUCIÓN POR COBERTURAS

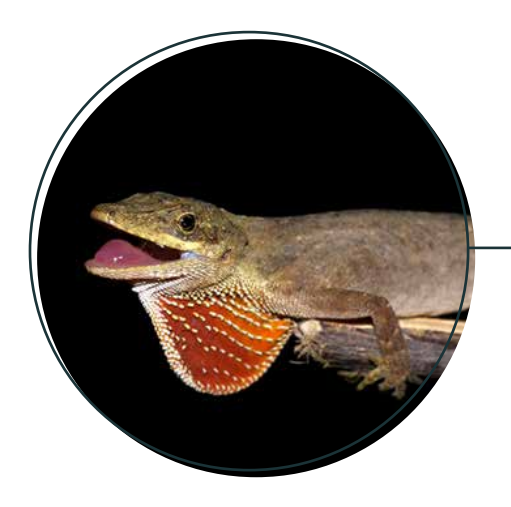
Bosque fragmentado Bosque de galería y ripario Vegetación secundaria o en transición Bosque abierto Plantación forestal

REPRESENTATIVIDAD ÁREAS PROTEGIDAS

6 % 1,6 % 0 % 4,4 % Todas las áreas PNN RSC Otras figuras





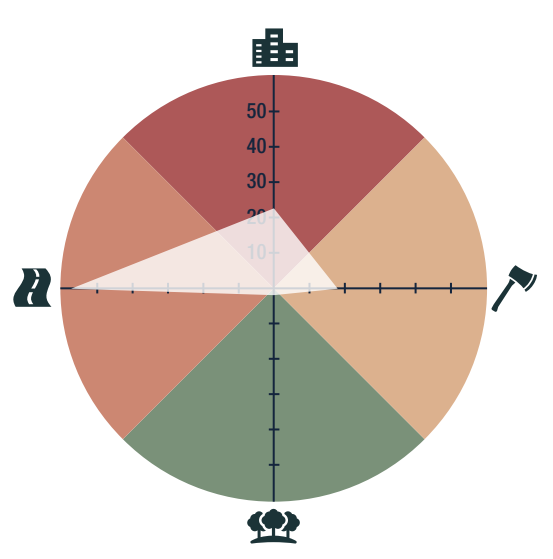






CATÁLOGO DE LA BIODIVERSIDAD

AMENAZA POR HUELLA HUMANA



14,71 % 🖨

HÁBITAT Y MICROHÁBITAT





Anolis mariarum

ANOLIS MANCHADO

ESTADÍSTICAS

RANGO DE DISTRIBUCIÓN

19 958 km²
Potencial

30 608 km² PMC sobre modelo

2898 km² Remanente

40 345 km² PMC sobre modelo

17 567 km²

292 km²

DISTRIBUCIÓN POR COBERTURAS

Vegetación secundaria o en transición Bosque abierto Arbustal Bosque fragmentado Bosque de galería y ripario

REPRESENTATIVIDAD ÁREAS PROTEGIDAS

17,6 %

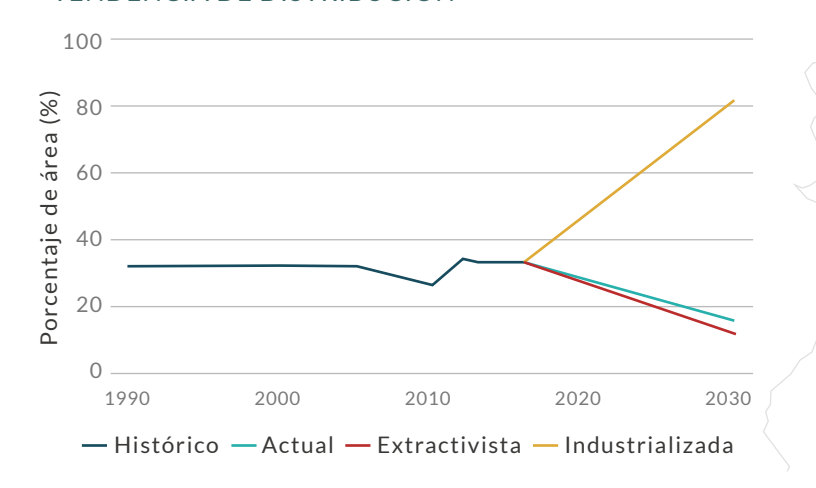
Todas las áreas

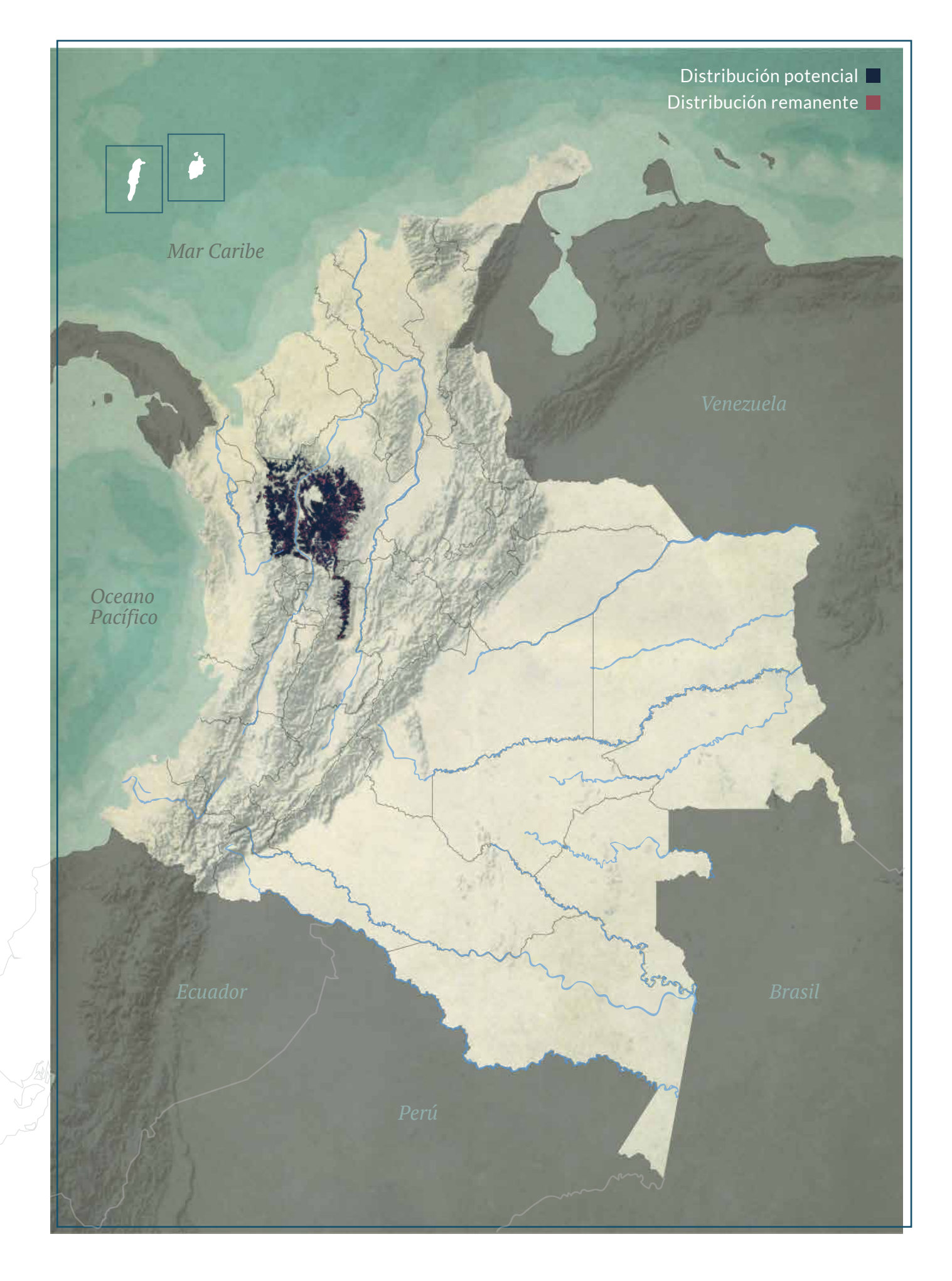
0,8 %

PNN

RSC

Otras figuras

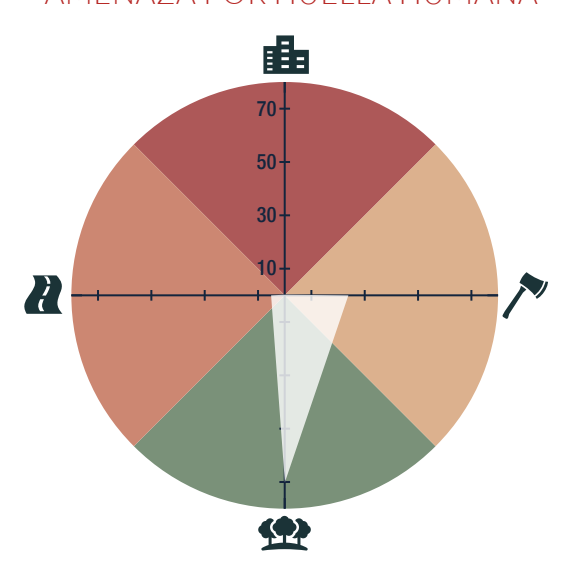




CATÁLOGO DE LA BIODIVERSIDAD

Ø

AMENAZA POR HUELLA HUMANA



17,14 % 🖨

HÁBITAT Y MICROHÁBITAT



C Preocupación menor MT6

Anolis megalopithecus

ANOLIS DEL MONO HERNÁNDEZ

ESTADÍSTICAS

RANGO DE DISTRIBUCIÓN

6247 km²
Potencial

11 943 km²

PMC sobre modelo

Remanente

17 594 km²
PMC sobre modelo

3912 km²

2925 km²

16 km²

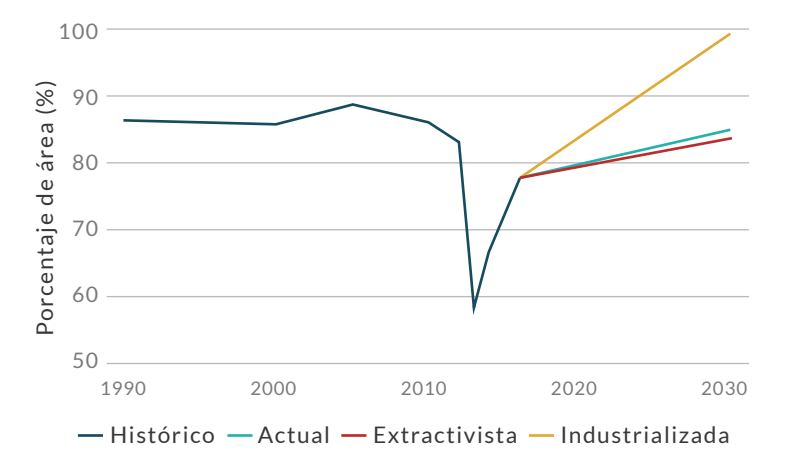
DISTRIBUCIÓN POR COBERTURAS

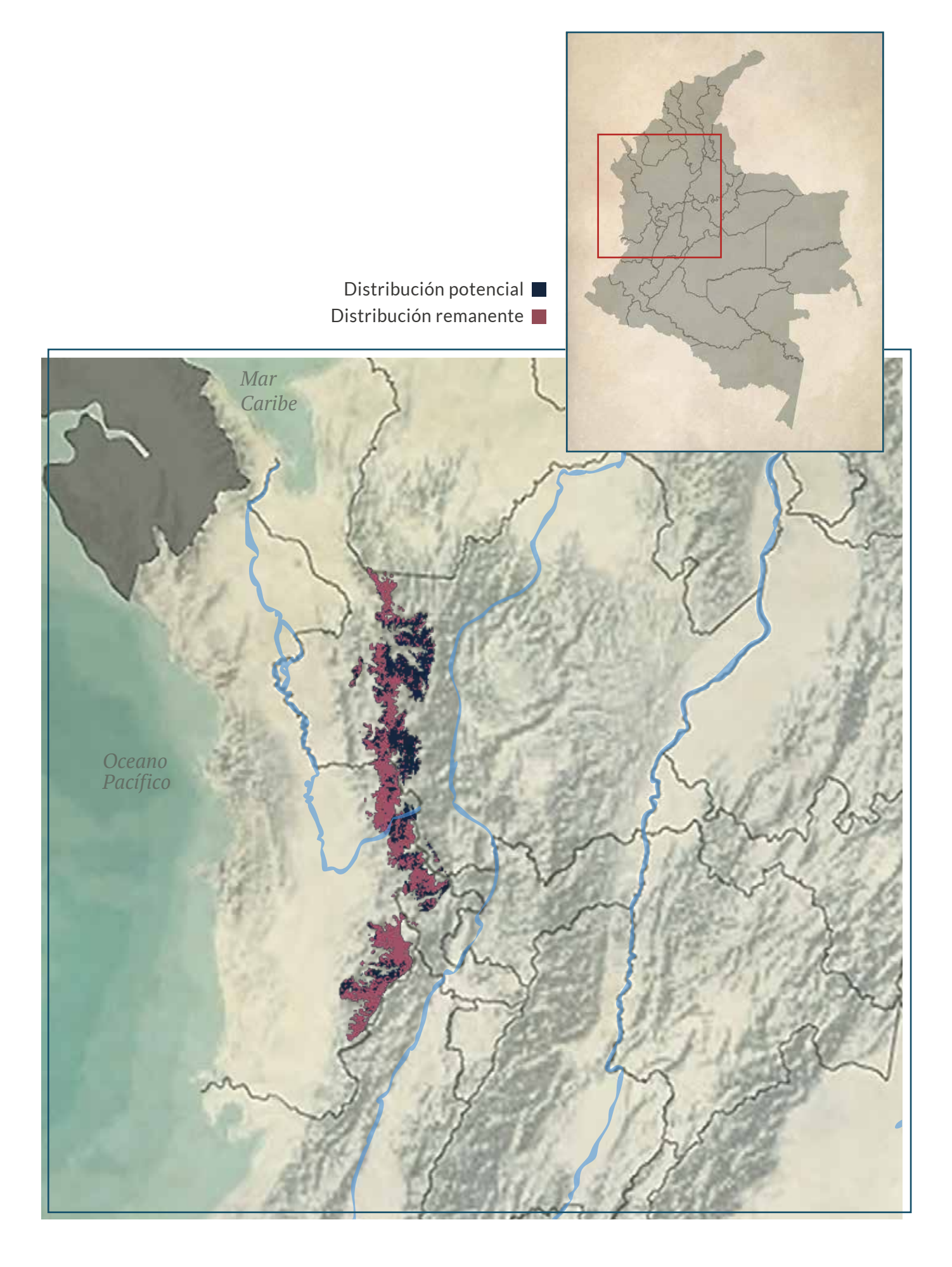
Bosque denso Bosque fragmentado Bosque abierto Bosque de galería y ripario

REPRESENTATIVIDAD ÁREAS PROTEGIDAS

 11,9 %
 8,2 %
 0 %
 3,8 %

 Todas las áreas
 PNN
 RSC
 Otras figuras





AUTORES R. Moreno-Arias, J. A. Velasco,

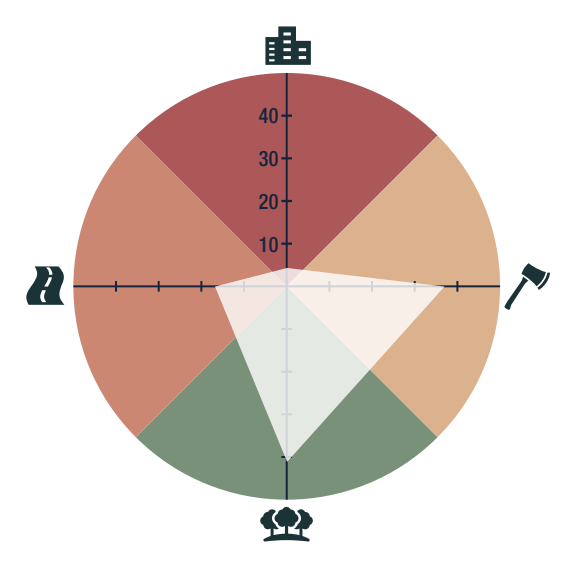
M. H. Olaya-Rodríguez y G. F. Medina-Rangel BIOMODELOS

Ø

CATÁLOGO DE LA BIODIVERSIDAD

\\$

AMENAZA POR HUELLA HUMANA



3,57 %

HÁBITAT Y MICROHÁBITAT





Anolis nicefori

ANOLIS DEL HERMANO NÍCEFORO

ESTADÍSTICAS

RANGO DE DISTRIBUCIÓN

19 321 km²
Potencial

67 604 km² PMC sobre modelo

8627 km²
Remanente

85 811 km² PMC sobre modelo

6688 km²

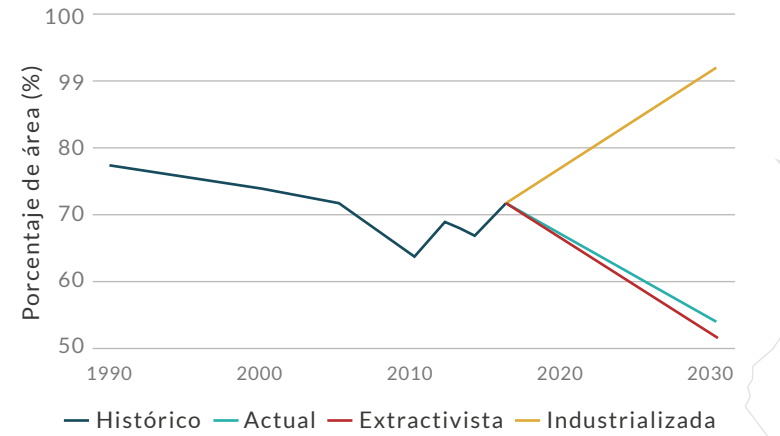
44 km²

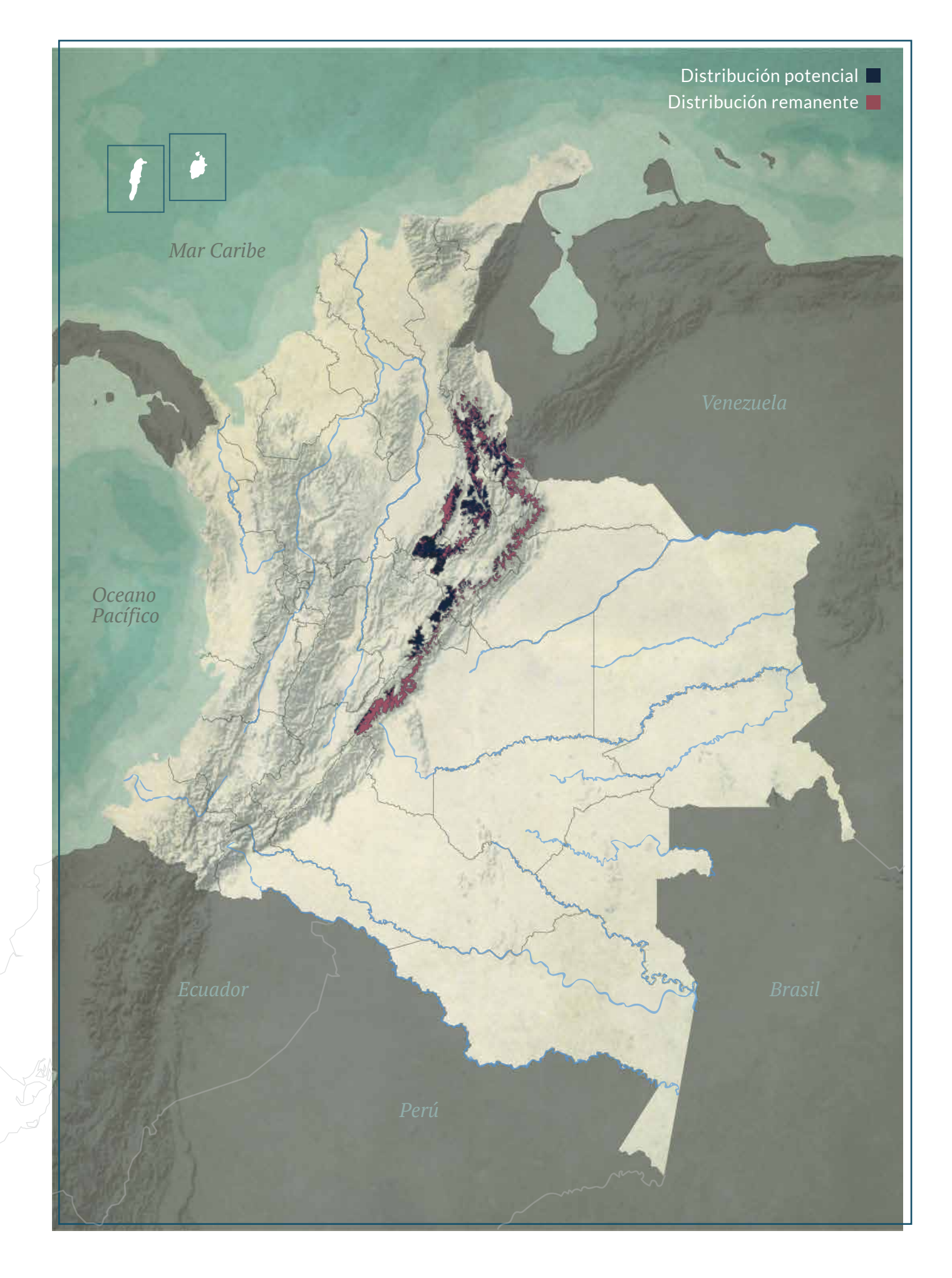
DISTRIBUCIÓN POR COBERTURAS

Bosque denso Bosque abierto
Bosque fragmentado Bosque de galería y ripario
Arbustal
Vegetación secundaria o en transición

REPRESENTATIVIDAD ÁREAS PROTEGIDAS

32,4 % 19,8 % 0 % 12,6 % PNN RSC Otras figuras





AUTORES R. Moreno-Arias, J. A. Velasco,

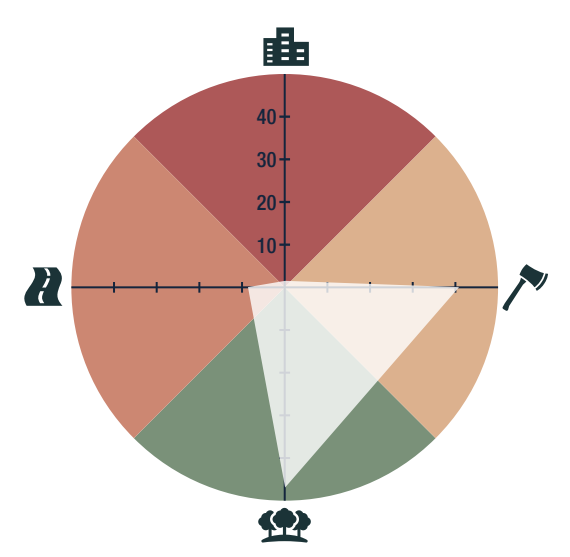
M. H. Olaya-Rodríguez y G. F. Medina-Rangel BIOMODELOS



CATÁLOGO DE LA BIODIVERSIDAD



AMENAZA POR HUELLA HUMANA



8,16 %

HÁBITAT Y MICROHÁBITAT





Anolis notopholis

ANOLIS DE DORSO ESCAMOSO

ESTADÍSTICAS

RANGO DE DISTRIBUCIÓN

75 945 km² Potencial

112 799 km² PMC sobre modelo 3955 km²
Remanente

144 357 km² PMC sobre modelo

43 023 km²

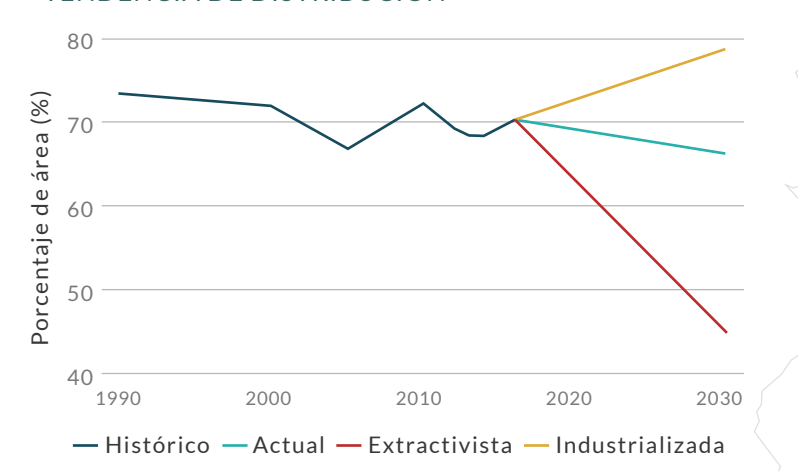
116 km²

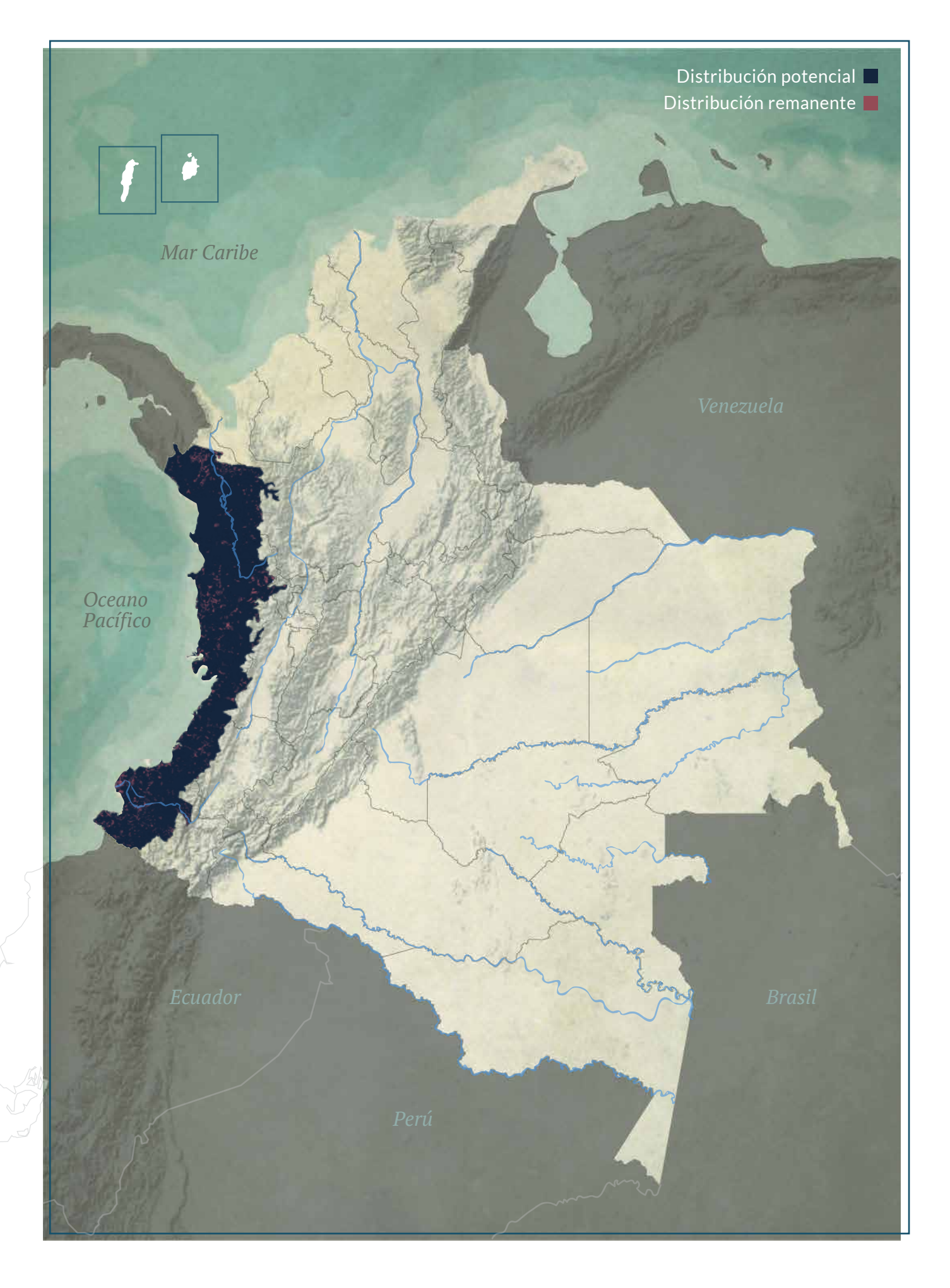
DISTRIBUCIÓN POR COBERTURAS

Vegetación secundaria o en transición Bosque abierto Arbustal Bosque de galería y ripario

REPRESENTATIVIDAD ÁREAS PROTEGIDAS

6 % 1,8 % 0 % 4,2 % Todas las áreas PNN RSC Otras figuras



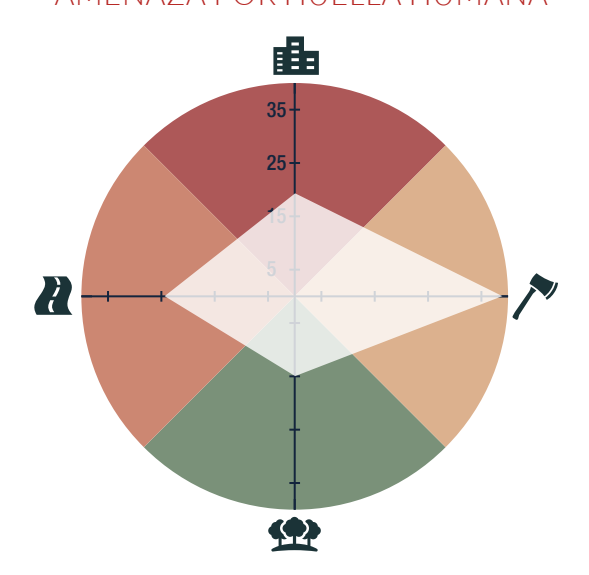


R. Moreno-Arias, J. A. Velasco y M. H. Olaya-Rodríguez BIOMODELOS



CATÁLOGO DE LA BIODIVERSIDAD

AMENAZA POR HUELLA HUMANA



0,1 %

HÁBITAT Y MICROHÁBITAT





Anolis onca

ANOLIS JAGUAR

ESTADÍSTICAS

RANGO DE DISTRIBUCIÓN

7440 km²

20 188 km² PMC sobre modelo

4820 km²

21 200 km² PMC sobre modelo

109 040 km²

128 km²

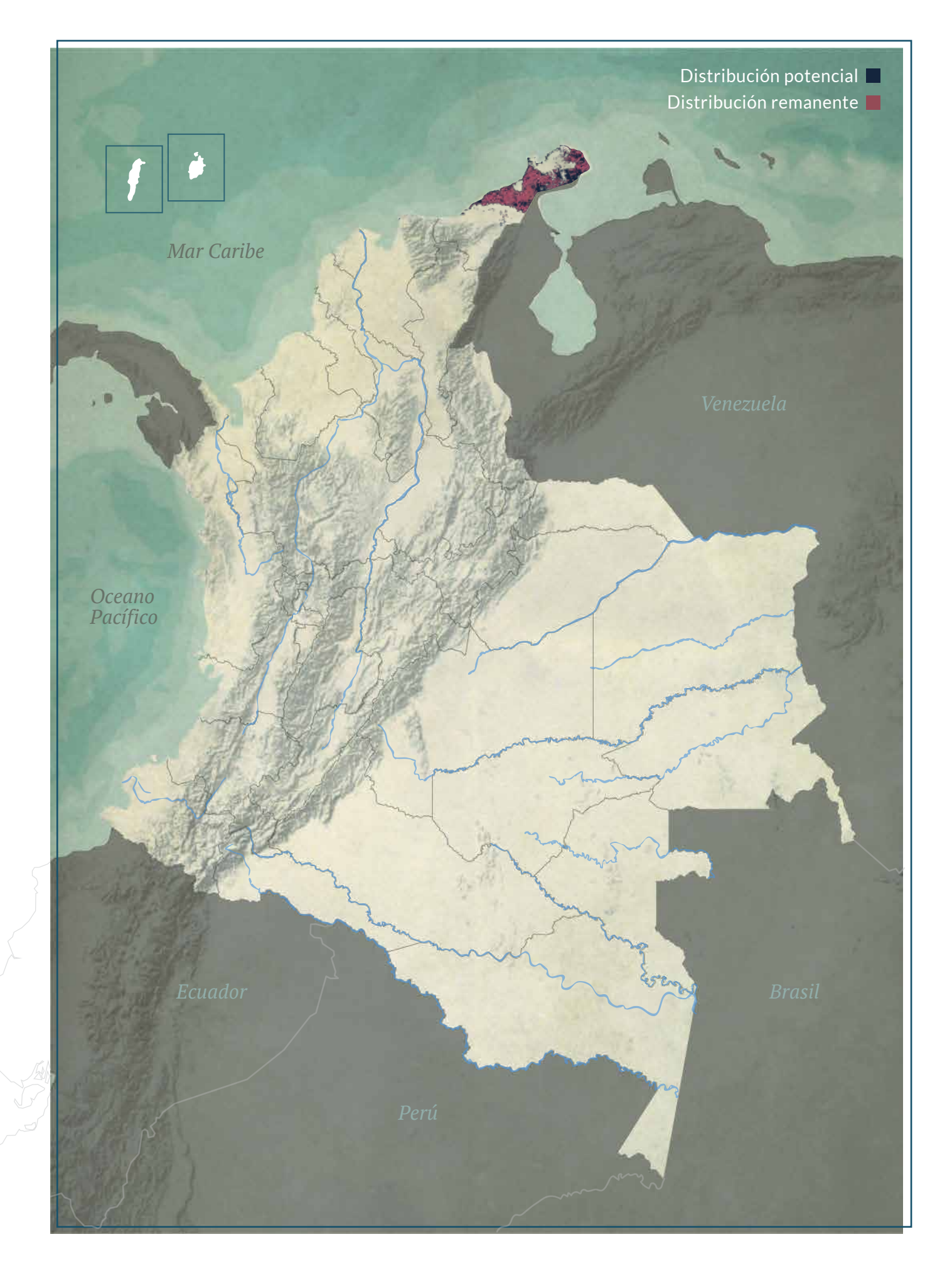
DISTRIBUCIÓN POR COBERTURAS

Arbustal Vegetación secundaria o en transición Herbazal Zonas arenosas naturales Bosque abierto

REPRESENTATIVIDAD ÁREAS PROTEGIDAS

4,8 % 3,7 % 0 % 1,1 % Otras figuras







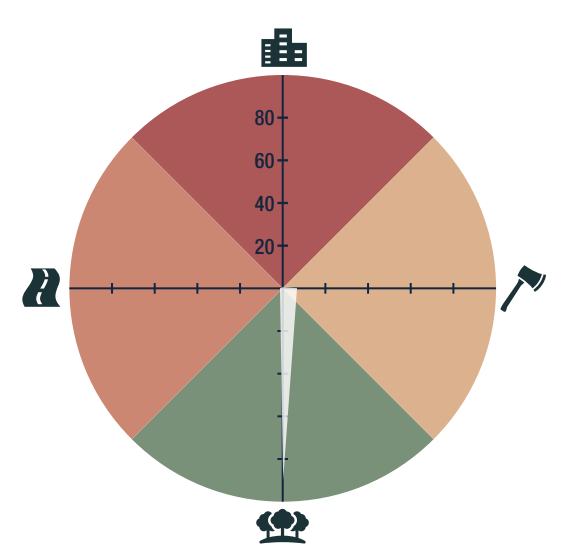
R. Moreno-Arias, J. A. Velasco y M. H. Olaya-Rodríguez BIOMODELOS



CATÁLOGO DE LA BIODIVERSIDAD



AMENAZA POR HUELLA HUMANA



0,27 %

HÁBITAT Y MICROHÁBITAT





Anolis ortonii

ANOLIS DE CORTEZA

ESTADÍSTICAS

RANGO DE DISTRIBUCIÓN

366 397 km²

521 226 km² PMC sobre modelo

 $305\,440\,km^2$

804 207 km² PMC sobre modelo

7 650 458 km²

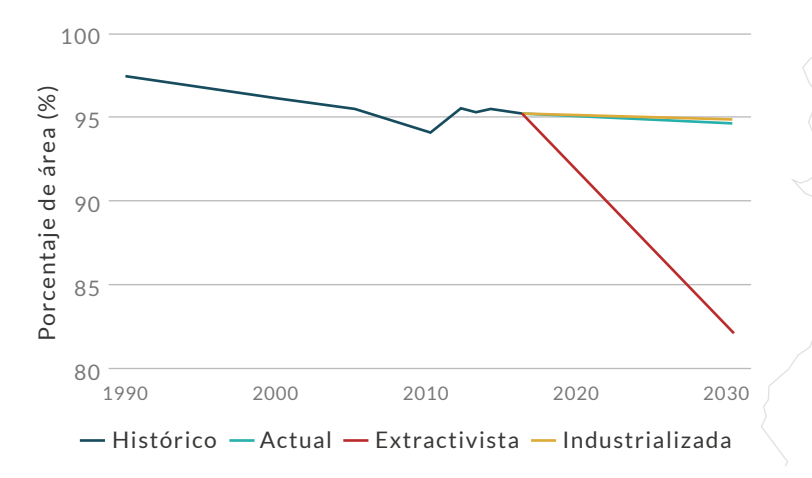
A00 316 km²

DISTRIBUCIÓN POR COBERTURAS

Bosque denso Bosque fragmentado Bosque de galería y ripario Bosque abierto

REPRESENTATIVIDAD ÁREAS PROTEGIDAS

28 % 24 % 0 % 4 % Todas las áreas PNN RSC Otras figuras







Anolis parvauritus

ANOLIS VERDE

AUTORES

R. Moreno-Arias y J. A. Velasco

BIOMODELOS

ESTADÍSTICAS

RANGO DE DISTRIBUCIÓN

12 071 km²
Potencial

12 746 km² PMC sobre modelo

5482 km² Remanente

14 608 km² PMC sobre modelo

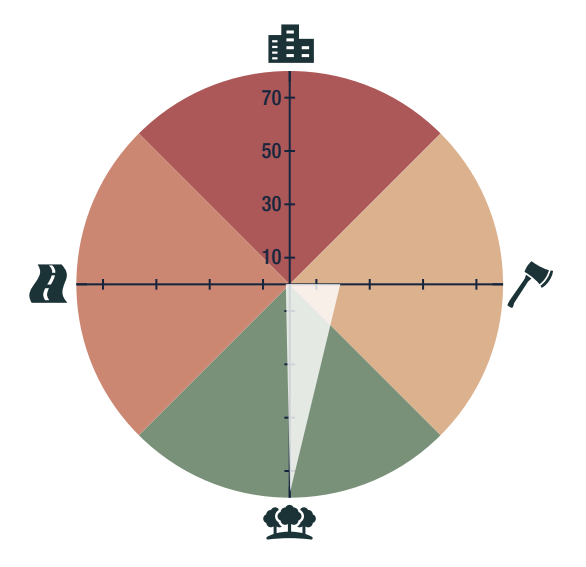
CATÁLOGO DE LA BIODIVERSIDAD



29 150 km²

84 km²

AMENAZA POR HUELLA HUMANA



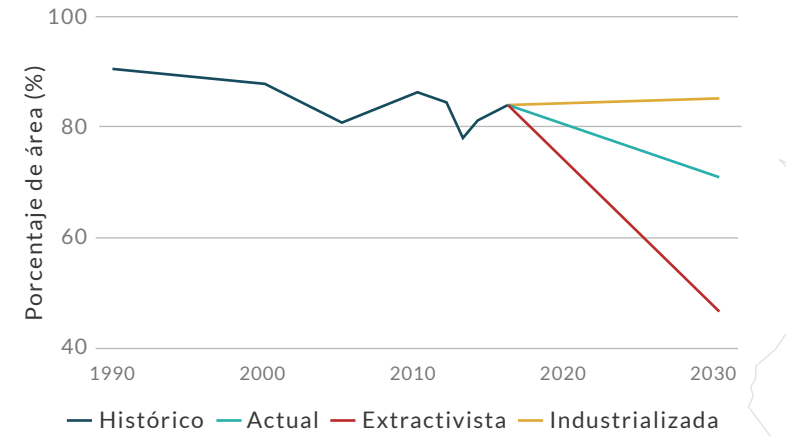
DISTRIBUCIÓN POR COBERTURAS

Bosque denso Bosque abierto

REPRESENTATIVIDAD ÁREAS PROTEGIDAS

3,4 %	2,4 %	0%	0,9 %
Todas las áreas	PNN	RSC	Otras figuras

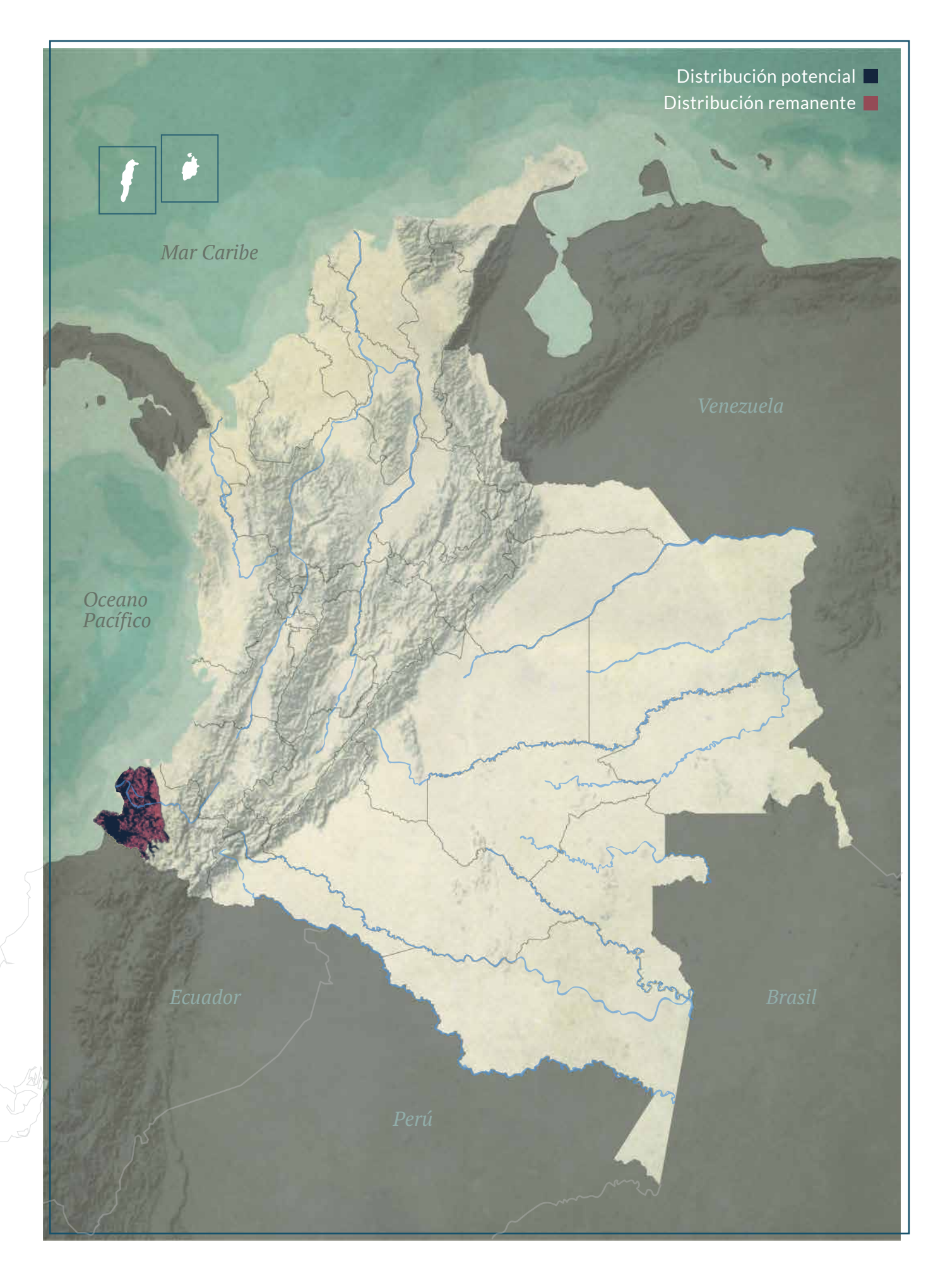
TENDENCIA DE DISTRIBUCIÓN





HÁBITAT Y MICROHÁBITAT





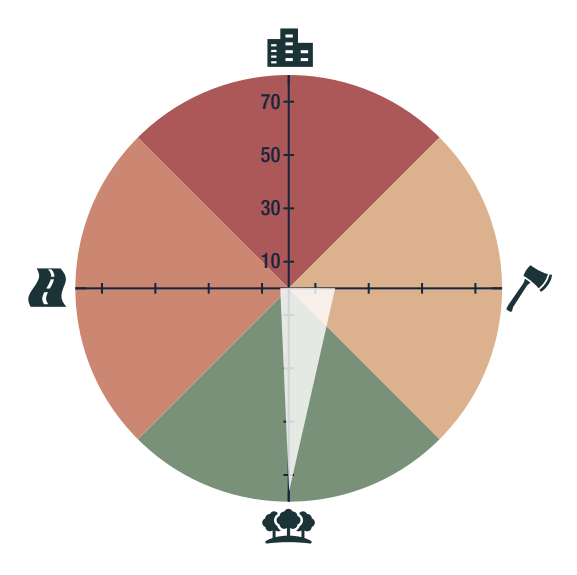




CATÁLOGO DE LA BIODIVERSIDAD

~

AMENAZA POR HUELLA HUMANA



7,8 %

HÁBITAT Y MICROHÁBITAT





Anolis pentaprion

ANOLIS LIQUENOSO

ESTADÍSTICAS

RANGO DE DISTRIBUCIÓN

14 476 km²
Potencial

18 140 km²

PMC sobre modelo

10 162 km²
Remanente

26 436 km² PMC sobre modelo

1 405 971 km²

A00 512 km²

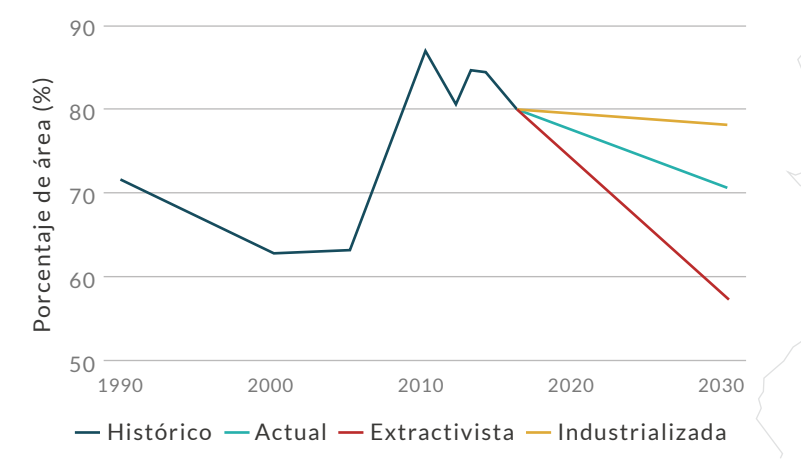
DISTRIBUCIÓN POR COBERTURAS

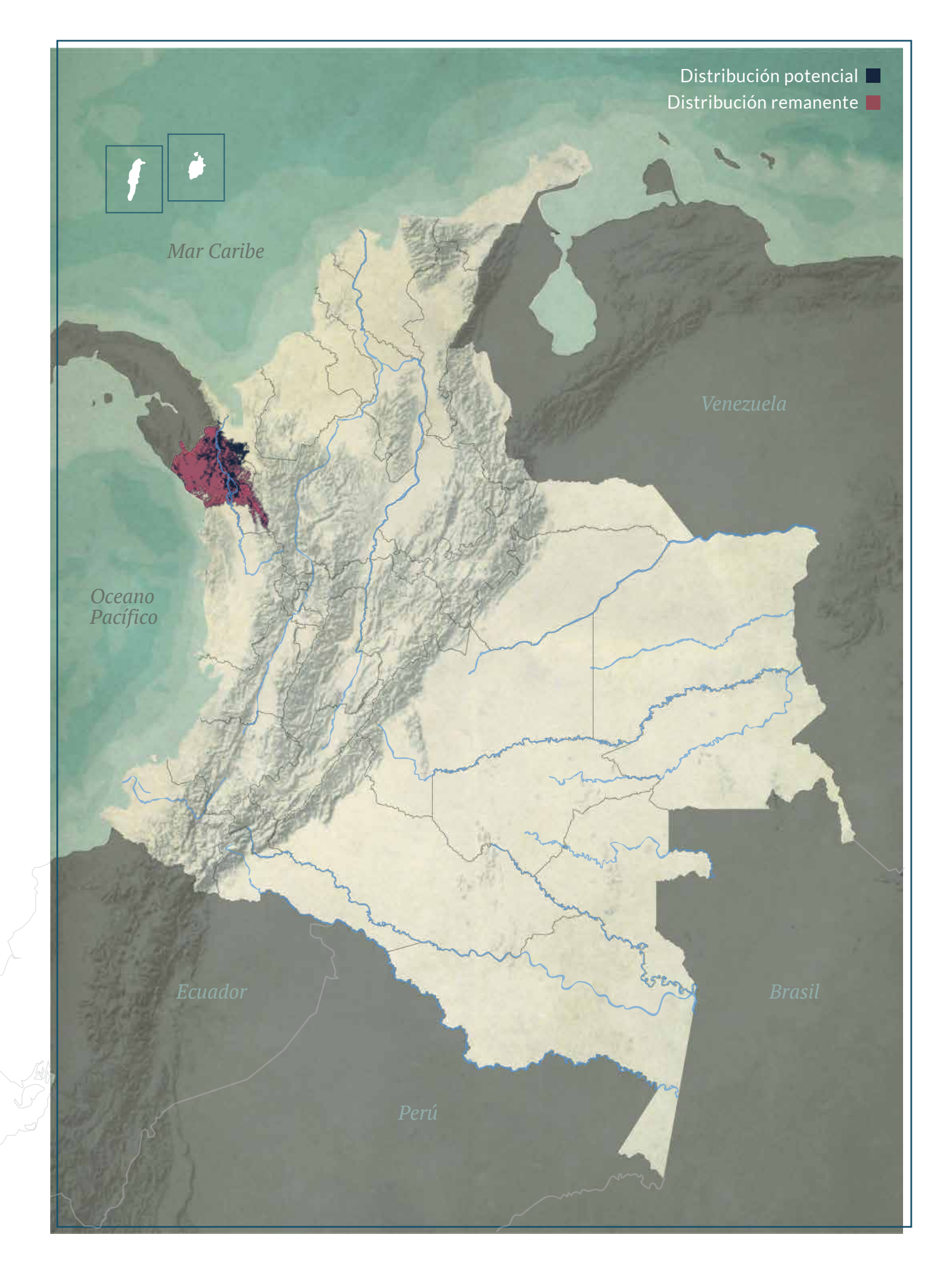
Bosque denso Bosque fragmentado Bosque abierto Bosque de galería y ripario

REPRESENTATIVIDAD ÁREAS PROTEGIDAS

5,2 %
Todas las áreas

4,6 %
PNN
RSC
Otras figuras







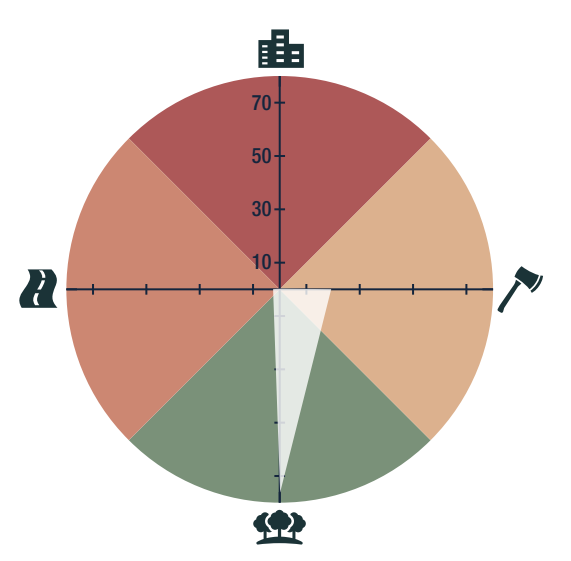
AUTORES R. Moreno-Arias, J. A. Velasco, M. H. Olaya-Rodríguez y G. F. Medina-Rangel

@

BIOMODELOS

CATÁLOGO DE LA BIODIVERSIDAD

AMENAZA POR HUELLA HUMANA



2,92 %

HÁBITAT Y MICROHÁBITAT



LC · Preocupación menor (HA)

Anolis peraccae

ANOLIS PERACCAE

ESTADÍSTICAS

RANGO DE DISTRIBUCIÓN

16 401 km² Potencial

 $24\,049\,km^2$ PMC sobre modelo 11 584 km² Remanente

22 223 km² PMC sobre modelo

RSC

0,4 %

Otras figuras

EOO 55 830 km²

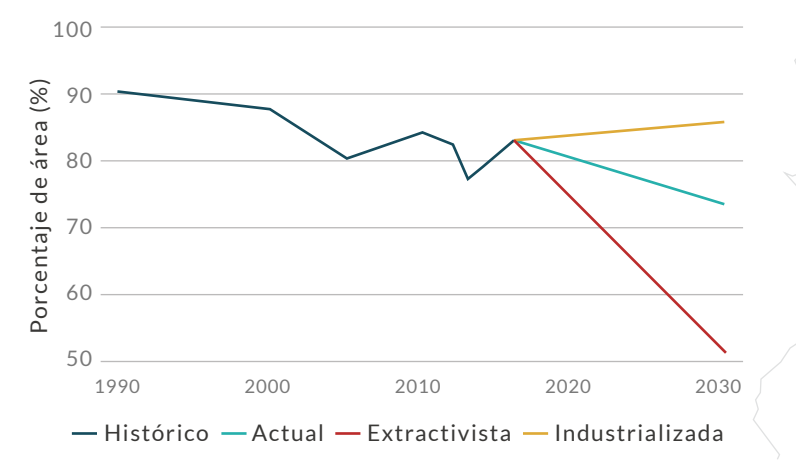
AOO 212 km²

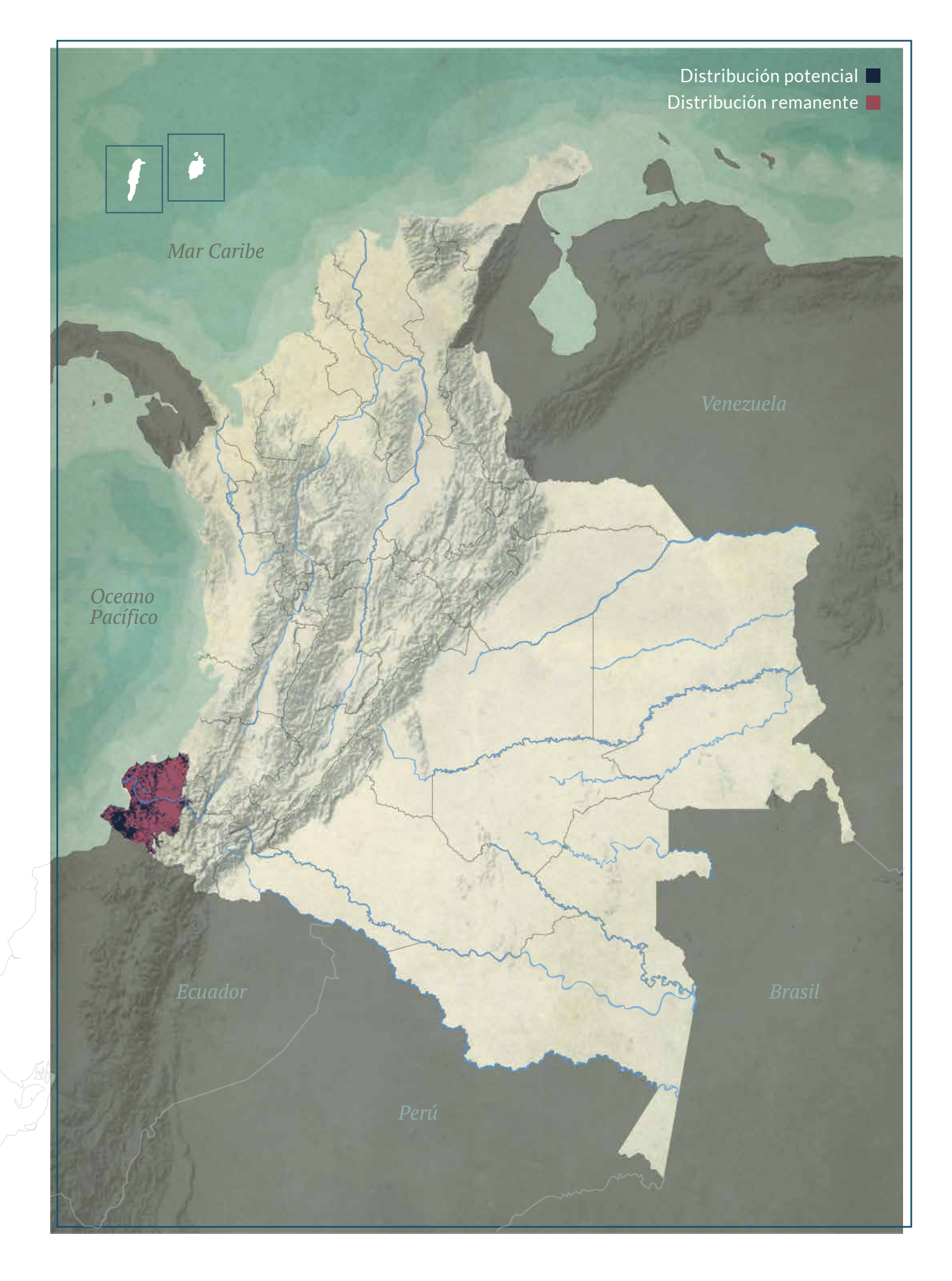
DISTRIBUCIÓN POR COBERTURAS

Bosque denso Bosque fragmentado Vegetación secundaria o en transición Bosque abierto

REPRESENTATIVIDAD ÁREAS PROTEGIDAS

2% 1,6 % 0% PNN Todas las áreas







AUTORES R. Moreno-Arias, J. A. Velasco

y M. H. Olaya-Rodríguez

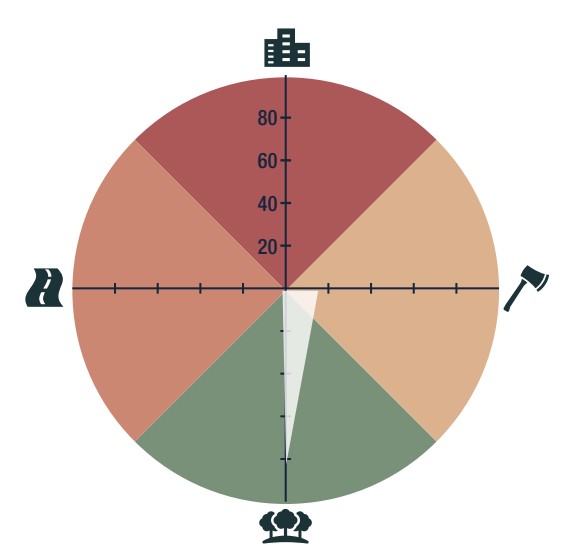
BIOMODELOS

Ø

CATÁLOGO DE LA BIODIVERSIDAD



AMENAZA POR HUELLA HUMANA



9,79 %

HÁBITAT Y MICROHÁBITAT



C Preocupación menor T

Anolis poecilopus

ANOLIS MOTEADO

ESTADÍSTICAS

RANGO DE DISTRIBUCIÓN

73 567 km²

136 472 km² PMC sobre modelo 45 957 km²
Remanente

131 645 km² PMC sobre modelo

66 311 km²

168 km²

DISTRIBUCIÓN POR COBERTURAS

Bosque denso Bosque de galería y ripario

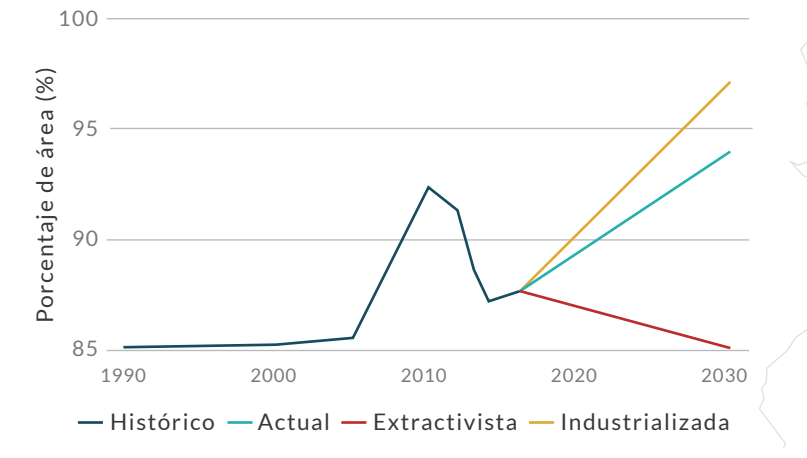
REPRESENTATIVIDAD ÁREAS PROTEGIDAS

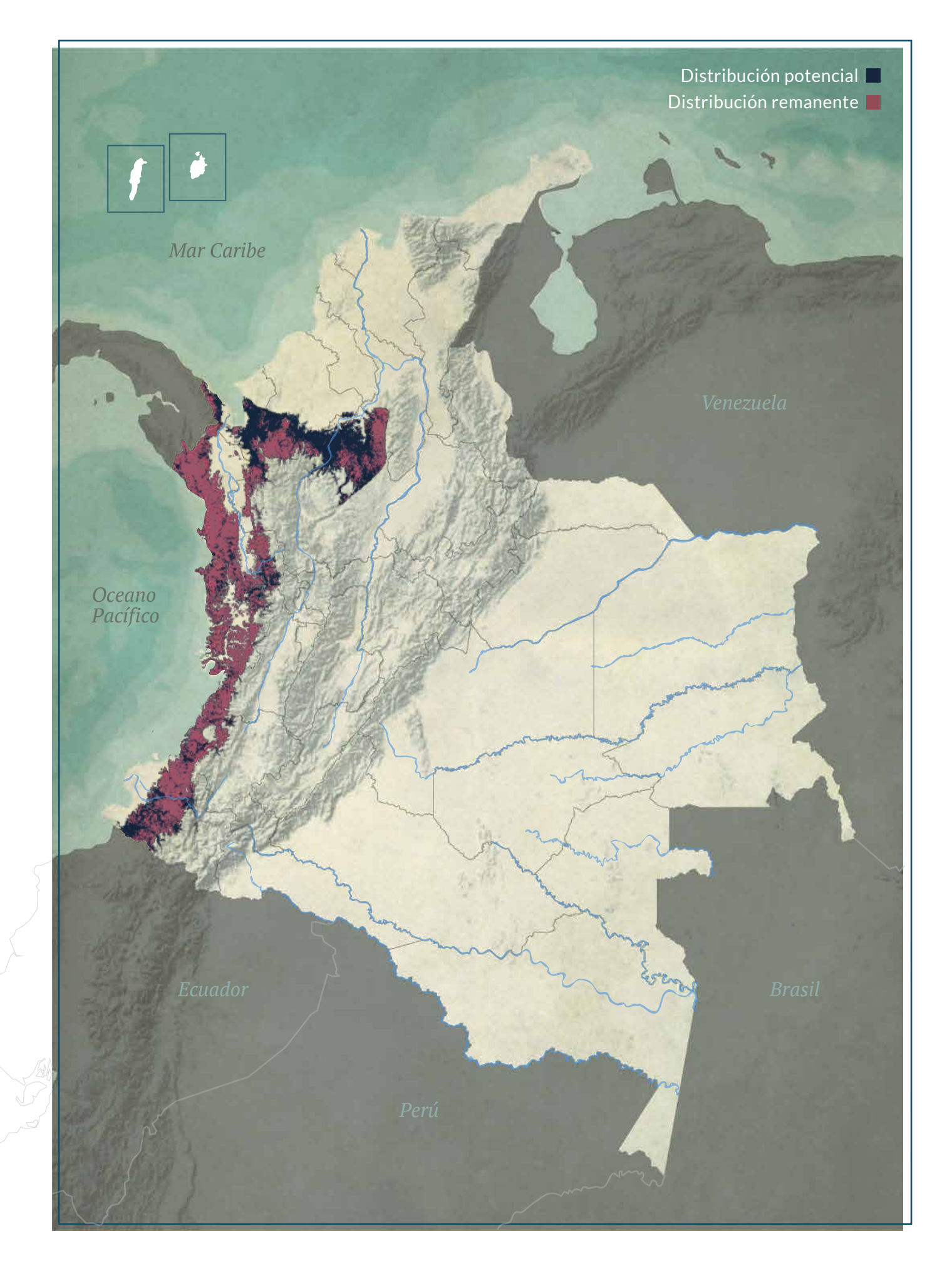
11,6 %
Todas las áreas

8,5 % 0 % RSC

Otras figuras

3,1%





Anolis princeps

LC · Preocupación menor (GC)

ANOLIS PRÍNCIPE

ESTADÍSTICAS

RANGO DE DISTRIBUCIÓN

 $22\,004\,km^2$ Potencial

 $26592 \, \text{km}^2$ PMC sobre modelo 14 658 km² Remanente

 $36780 \, \text{km}^2$ PMC sobre modelo

@ CATÁLOGO DE LA BIODIVERSIDAD

8,07 %

HÁBITAT Y MICROHÁBITAT

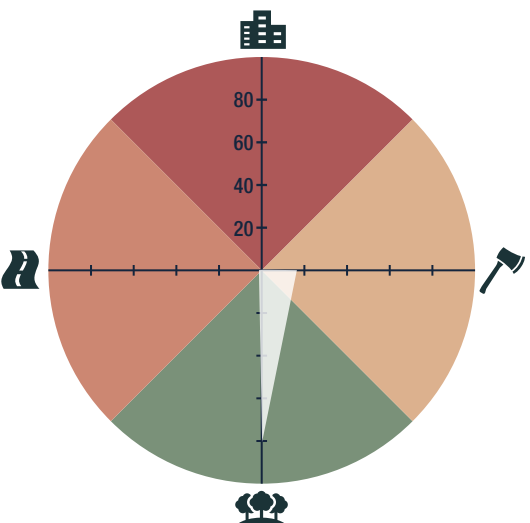
BIOMODELOS

AUTORES

EOO 45 449 km²

100

AOO 120 km²



AMENAZA POR HUELLA HUMANA

R. Moreno-Arias, J. A. Velasco

y M. H. Olaya-Rodríguez

REPRESENTATIVIDAD ÁREAS PROTEGIDAS

DISTRIBUCIÓN POR COBERTURAS

3,5 % Todas las áreas

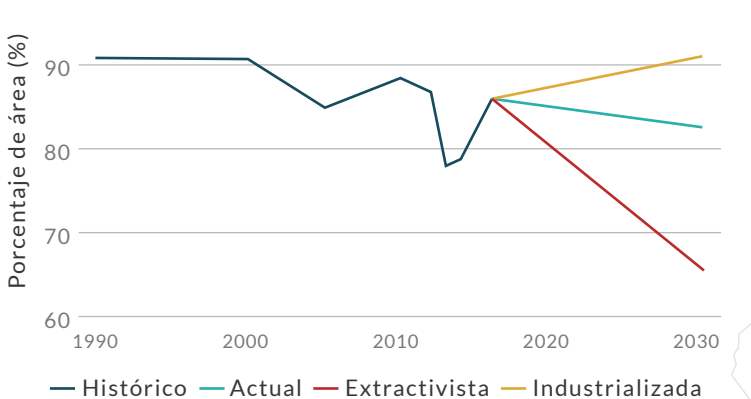
Bosque denso

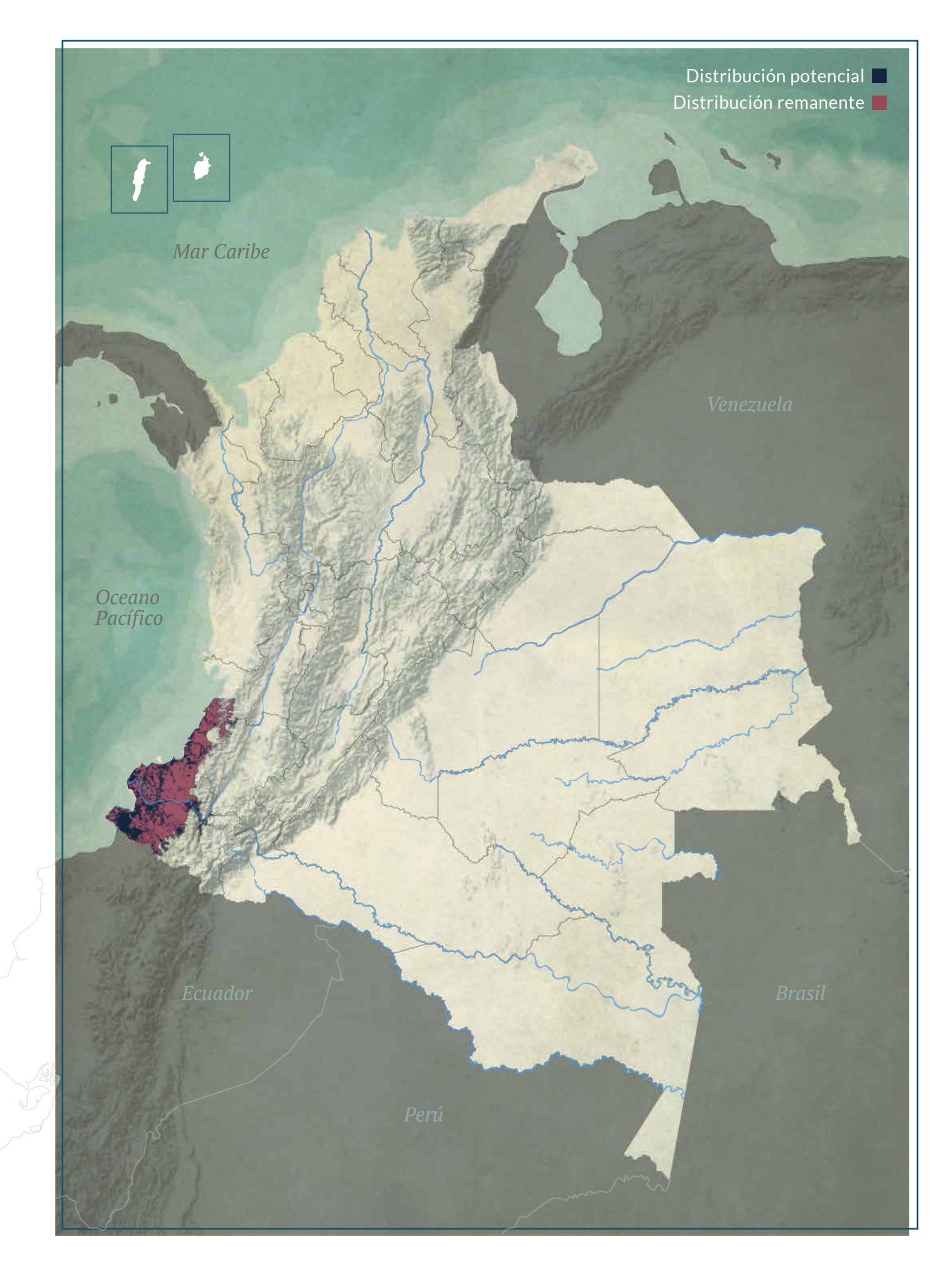
Bosque fragmentado Bosque abierto

> 3,1% PNN

0% RSC

0,4 % Otras figuras



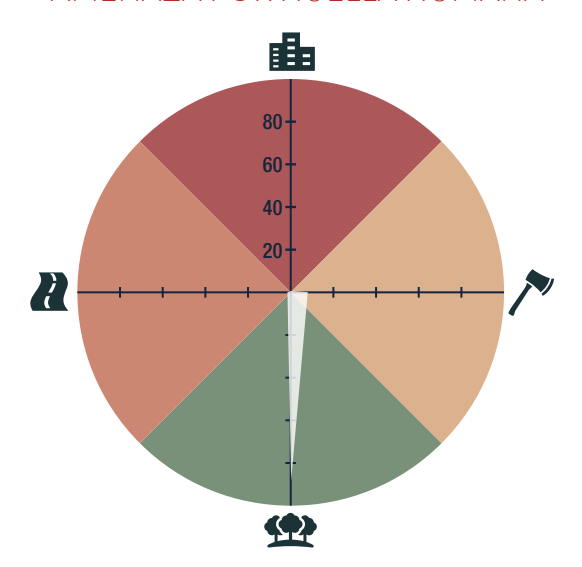






CATÁLOGO DE LA BIODIVERSIDAD

AMENAZA POR HUELLA HUMANA



0,23 %

HÁBITAT Y MICROHÁBITAT





Anolis punctatus

ANOLIS PUNTEADO

ESTADÍSTICAS

RANGO DE DISTRIBUCIÓN

458 824 km²
Potencial

582 670 km² PMC sobre modelo

 $371\,310\,km^2$ Remanente

848 847 km² PMC sobre modelo

10 605 697 km²

328 km²

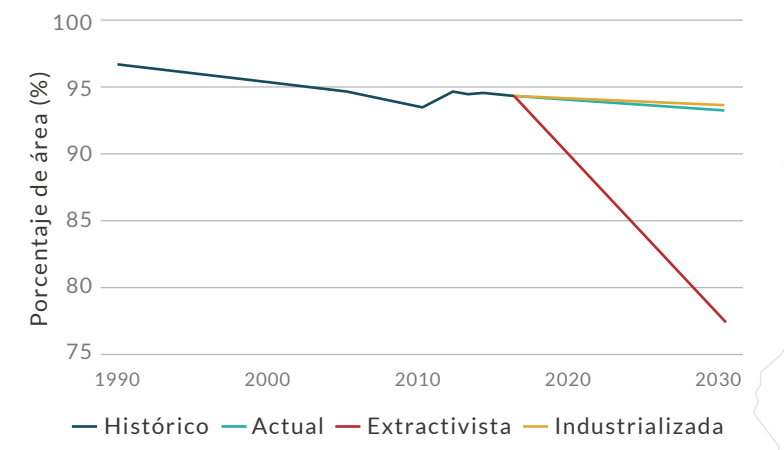
DISTRIBUCIÓN POR COBERTURAS

Bosque denso Bosque de galería y ripario Bosque fragmentado Bosque abierto

REPRESENTATIVIDAD ÁREAS PROTEGIDAS

26,6 %
Todas las áreas

21,6 %
PNN
RSC
Otras figuras





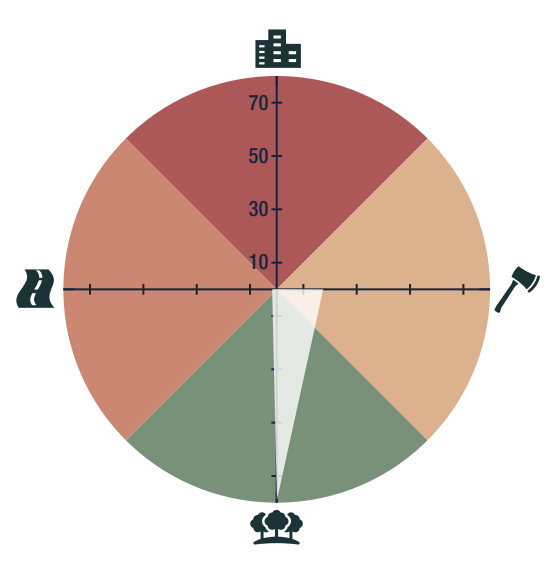


R. Moreno-Arias, J. A. Velasco, M. H. Olaya-Rodríguez y G. F. Medina-Rangel BIOMODELOS



CATÁLOGO DE LA BIODIVERSIDAD

AMENAZA POR HUELLA HUMANA



8,96 %

HÁBITAT Y MICROHÁBITAT



C Preocupación menor MT8

Anolis purpurescens

ANOLIS PÚRPURA

ESTADÍSTICAS

RANGO DE DISTRIBUCIÓN

75 683 km²

109 179 km² PMC sobre modelo 56 484 km²
Remanente

153 497 km² PMC sobre modelo

506 614 km²

136 km²

DISTRIBUCIÓN POR COBERTURAS

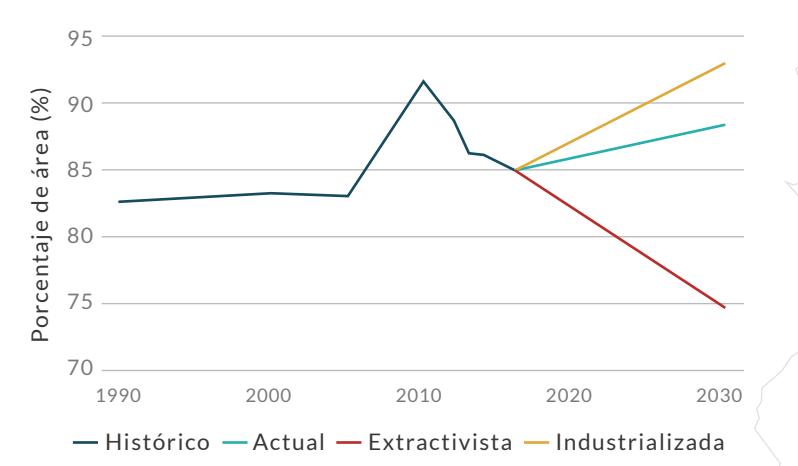
Bosque denso Bosque fragmentado Bosque de galería y ripario

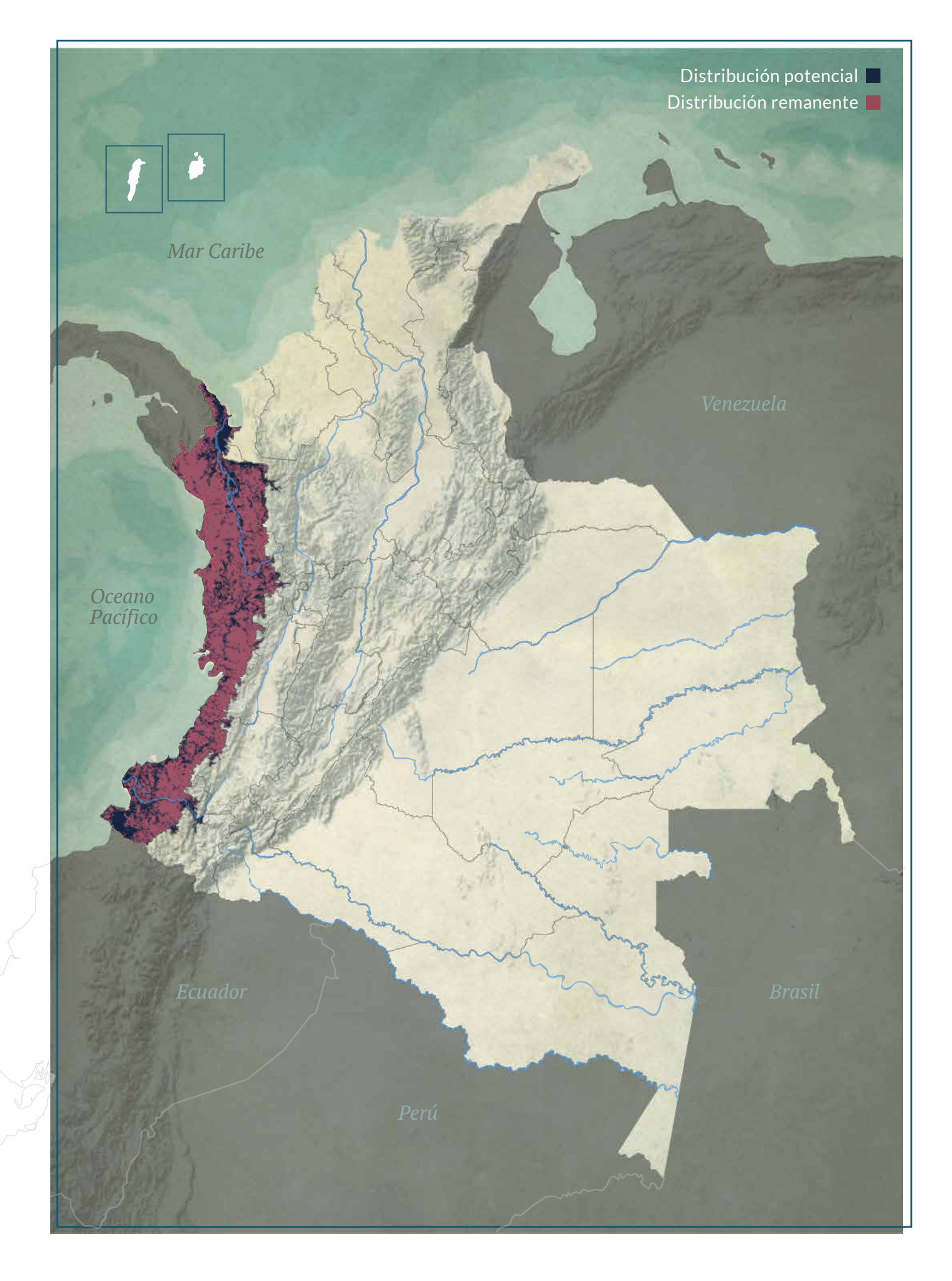
REPRESENTATIVIDAD ÁREAS PROTEGIDAS

7,2 % 3,4 % PNN

% 0 % RSC

3,8 % Otras figuras



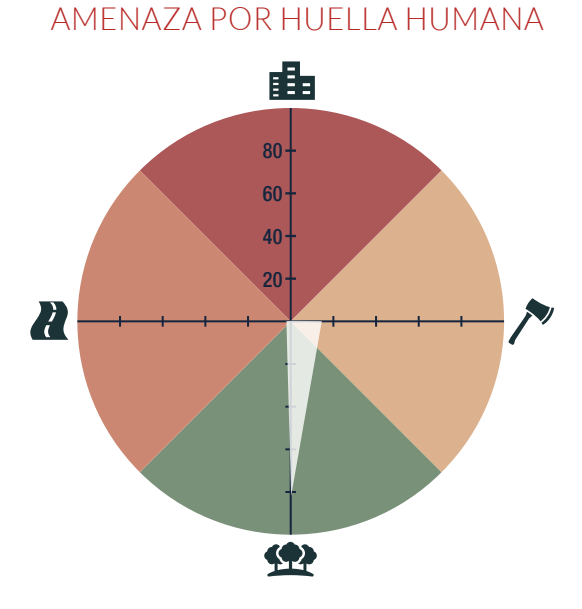


AUTORES R. Moreno-Arias, J. A. Velasco, M. H. Olaya-Rodríguez y G. F. Medina-Rangel BIOMODELOS



CATÁLOGO DE LA BIODIVERSIDAD

•



13,16 %

HÁBITAT Y MICROHÁBITAT



NT · Casi amenazado PT

Anolis rivalis

ANOLIS DE RIVERAS

ESTADÍSTICAS

RANGO DE DISTRIBUCIÓN

30 081 km²
Potencial

31597 km² PMC sobre modelo

19 367 km²
Remanente

42 882 km² PMC sobre modelo

10 160 km²

A00 36 km²

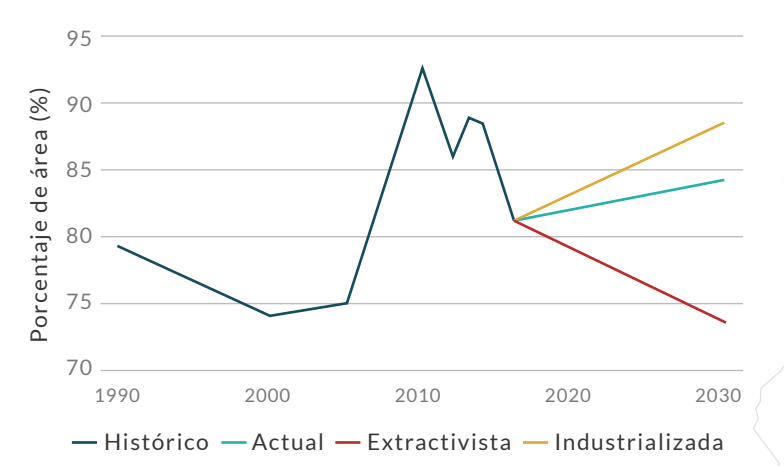
DISTRIBUCIÓN POR COBERTURAS

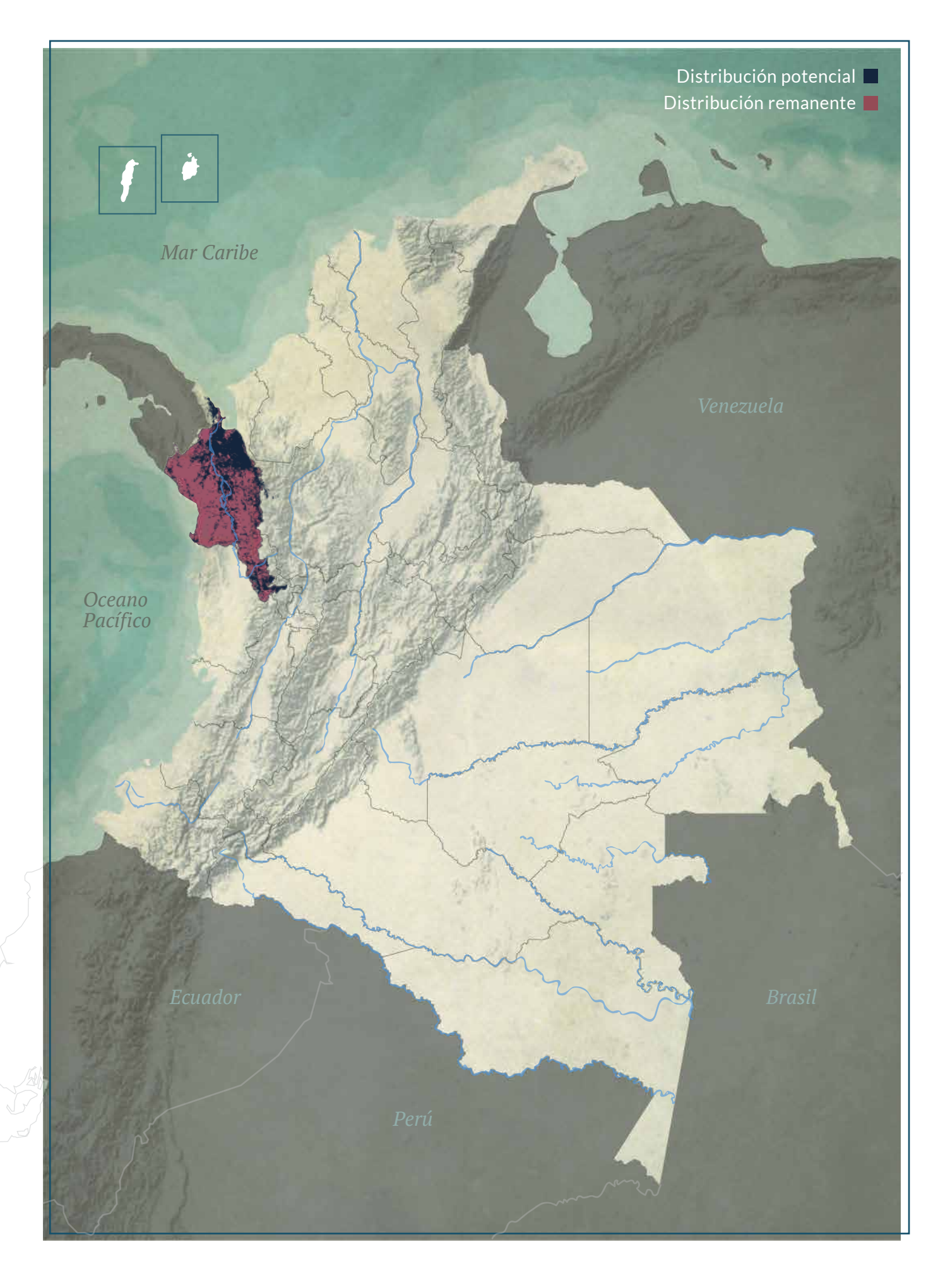
Bosque denso Bosque de galería y ripario

REPRESENTATIVIDAD ÁREAS PROTEGIDAS

4,7 %
Todas las áreas

3,4 %
PNN
RSC
Otras figuras







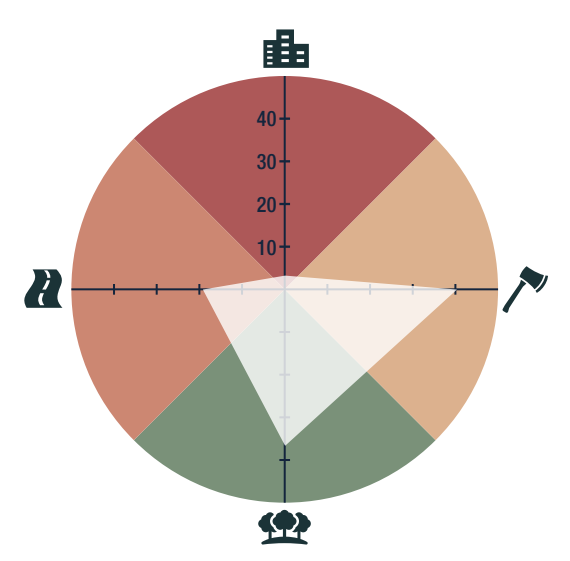
AUTORES R. Moreno-Arias, J. A. Velasco, M. H. Olaya-Rodríguez y G. F. Medina-Rangel BIOMODELOS



CATÁLOGO DE LA BIODIVERSIDAD

<

AMENAZA POR HUELLA HUMANA



2,38 % 🖨

HÁBITAT Y MICROHÁBITAT



EN · Amenazada T

Anolis ruizii

ANOLIS DE RUIZ

ESTADÍSTICAS

RANGO DE DISTRIBUCIÓN

8793 km²
Potencial

20 452 km² PMC sobre modelo 5285 km²

30 098 km² PMC sobre modelo

7302 km²

A00 20 km²

DISTRIBUCIÓN POR COBERTURAS

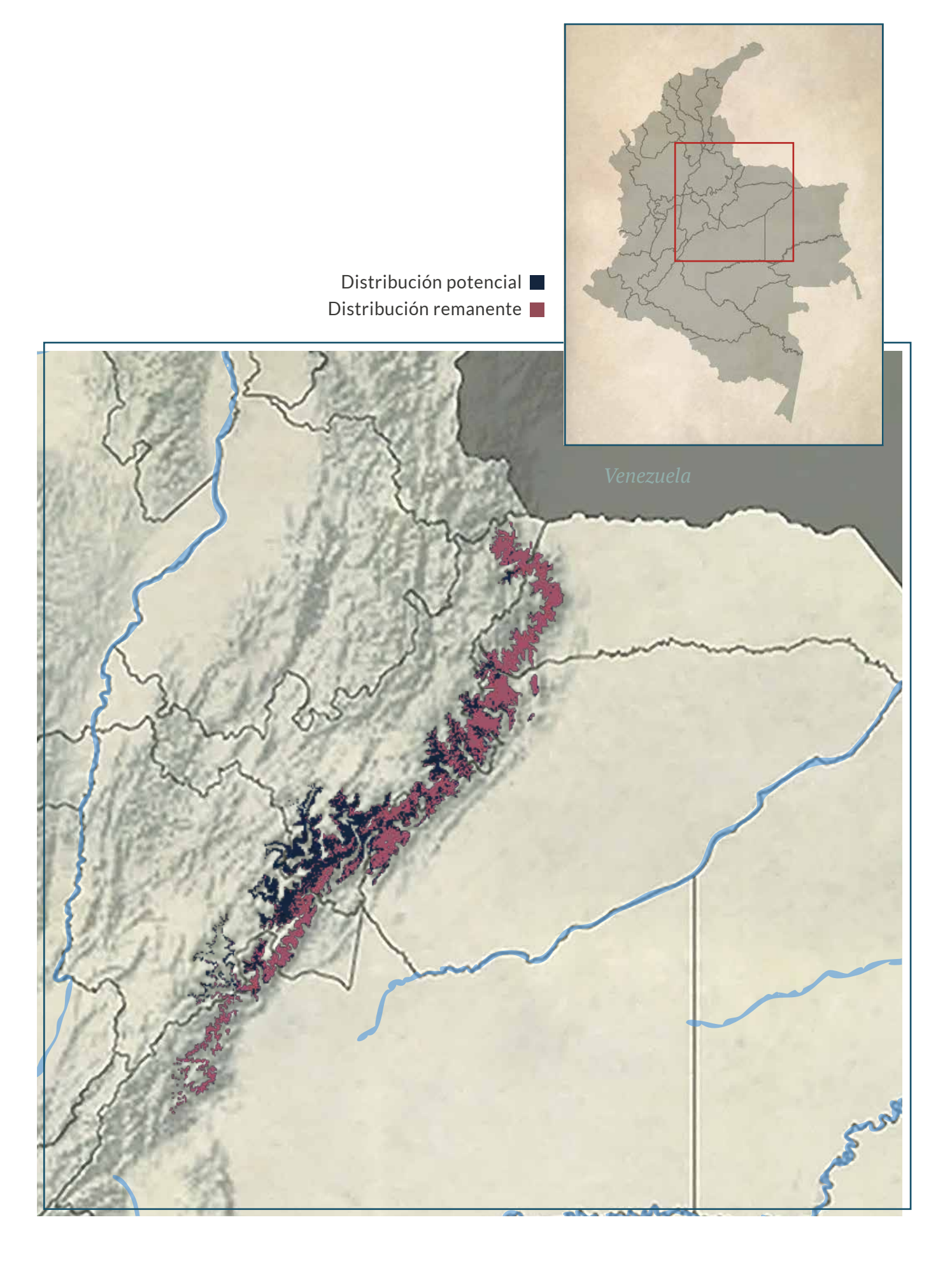
Bosque denso	Bosque de galería y ripario		
Bosque fragmentado			
Vegetación secundaria o en transición			
Bosque abierto			

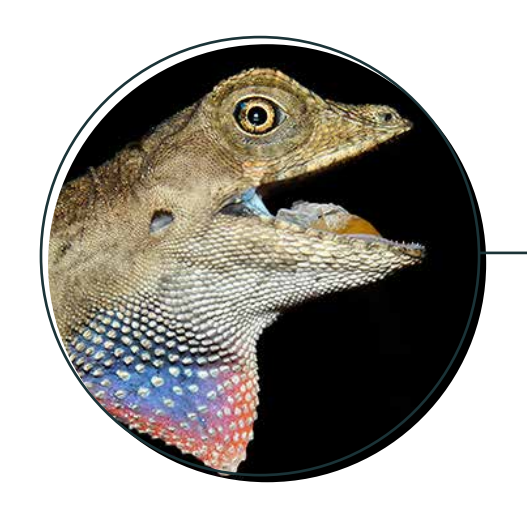
REPRESENTATIVIDAD ÁREAS PROTEGIDAS

 26,9 %
 21,4 %
 0 %
 5,5 %

 Todas las áreas
 PNN
 RSC
 Otras figuras







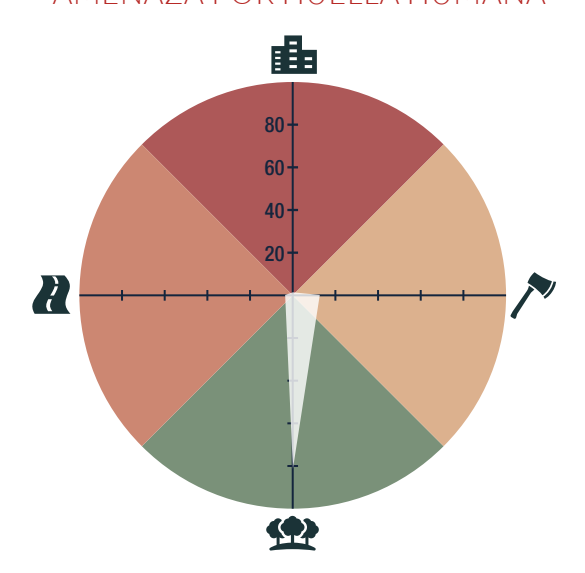
R. Moreno-Arias, J. A. Velasco, M. H. Olaya-Rodríguez y G. F. Medina-Rangel BIOMODELOS



CATÁLOGO DE LA BIODIVERSIDAD

\\$

AMENAZA POR HUELLA HUMANA



0,26 %

HÁBITAT Y MICROHÁBITAT





Anolis scypheus

ANOLIS DE LENGUA AMARILLA

ESTADÍSTICAS

RANGO DE DISTRIBUCIÓN

622 199 km²
Potencial

652 407 km² PMC sobre modelo

422 902 km²
Remanente

898 522 km² PMC sobre modelo

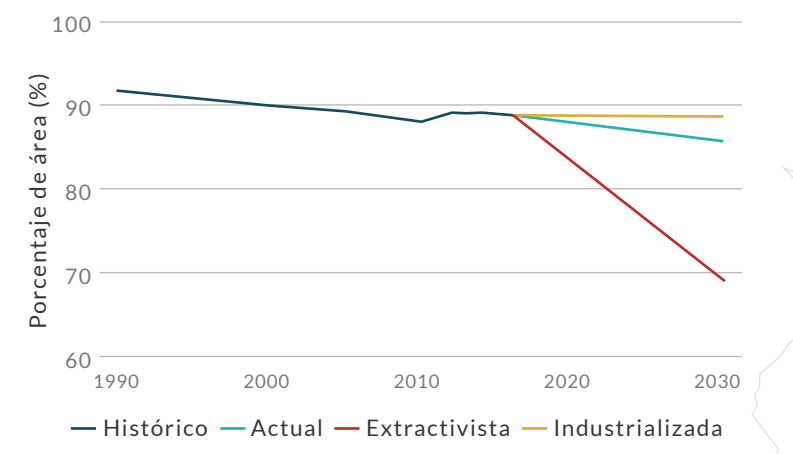
8 221 811 km²

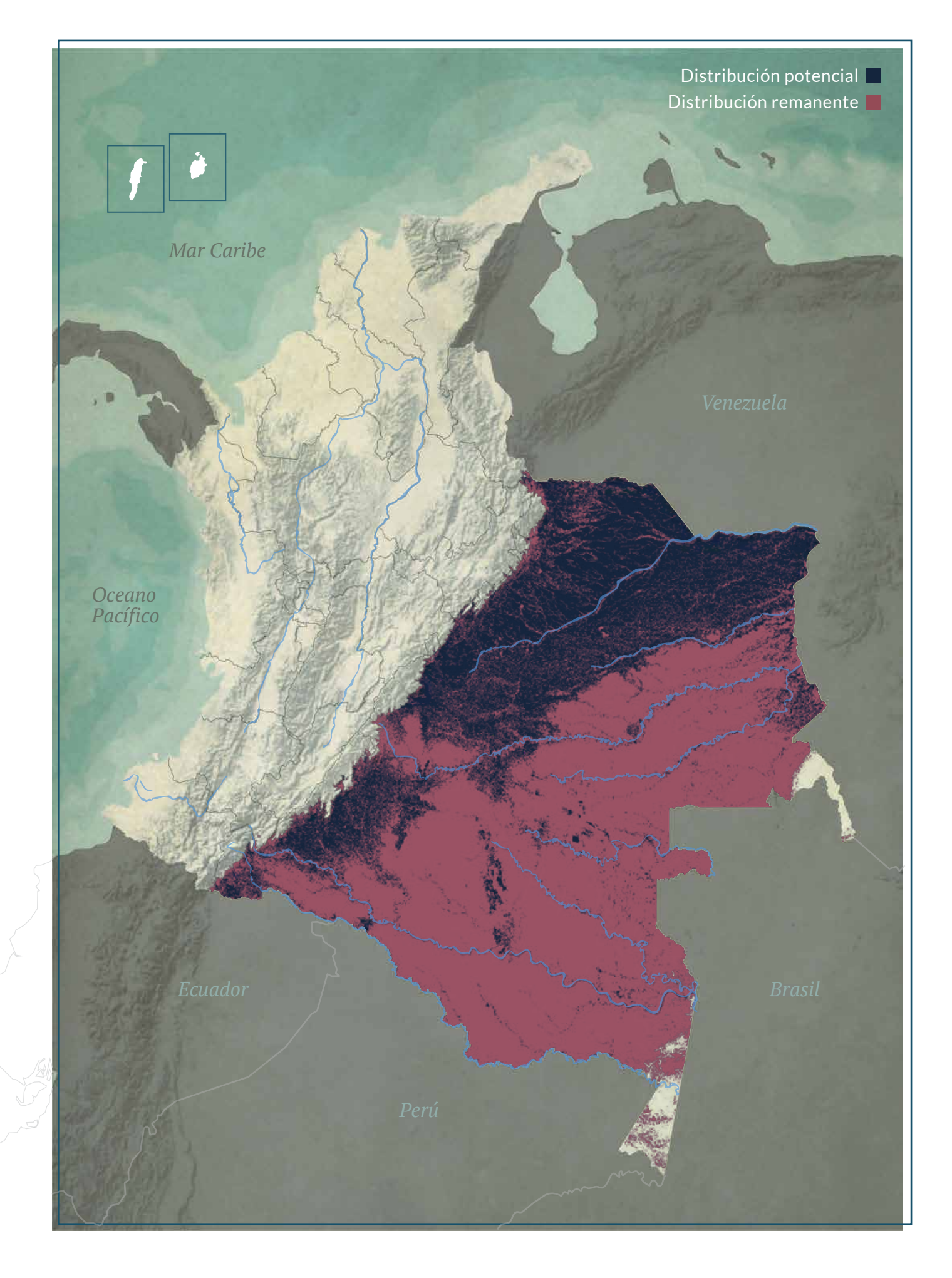
A00 **624 km**²

DISTRIBUCIÓN POR COBERTURAS

Bosque denso	Arbustal
Bosque de galería y ripario	Bosque abierto
Vegetación secundaria o en transición	
Bosque fragmentado	

REPRESENTATIVIDAD ÁREAS PROTEGIDAS



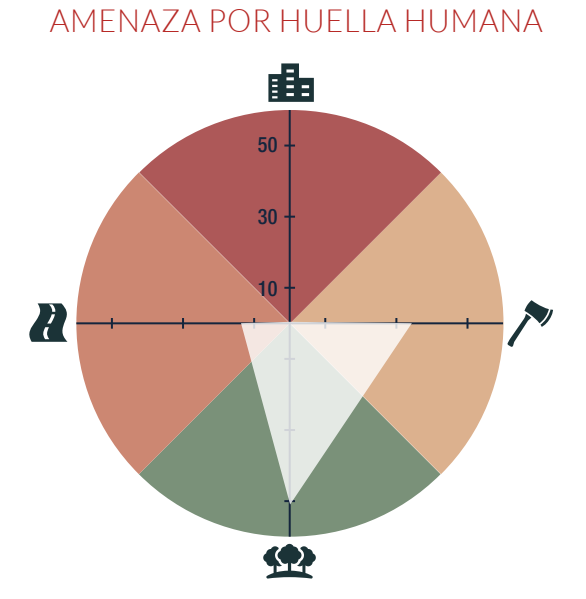






CATÁLOGO DE LA BIODIVERSIDAD

•



HÁBITAT Y MICROHÁBITAT



0%

NT · Casi amenazado (R)

Anolis solitarius

ANOLIS SOLITARIO

ESTADÍSTICAS

RANGO DE DISTRIBUCIÓN

2477 km²
Potencial

5833 km²
PMC sobre modelo

1361 km² Remanente

6234 km² PMC sobre modelo

147 km²

A00 20 km²

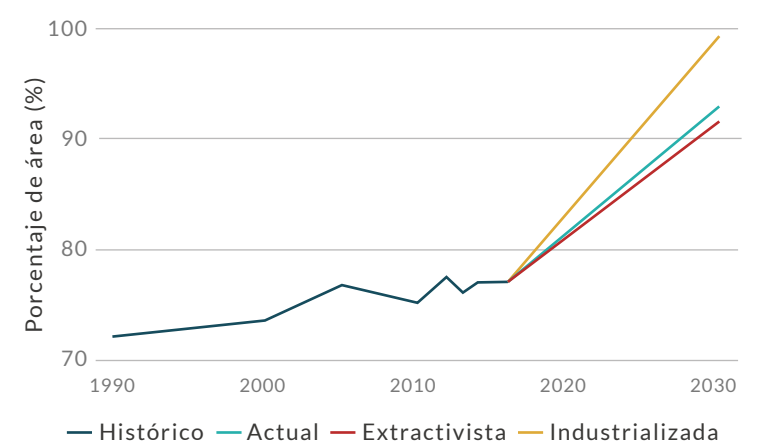
DISTRIBUCIÓN POR COBERTURAS

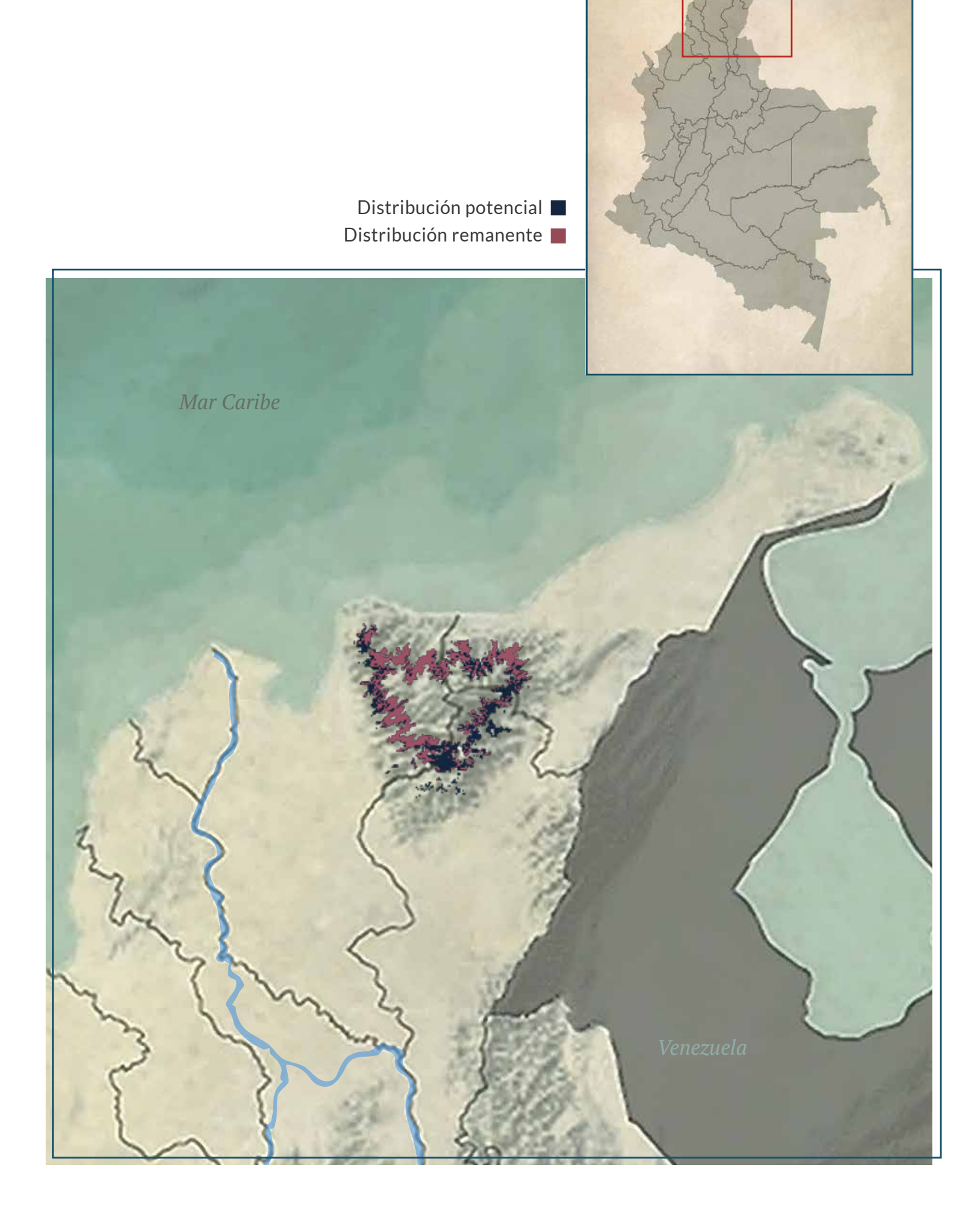
Bosque denso Arbustal Bosque fragmentado Bosque de galería y ripario

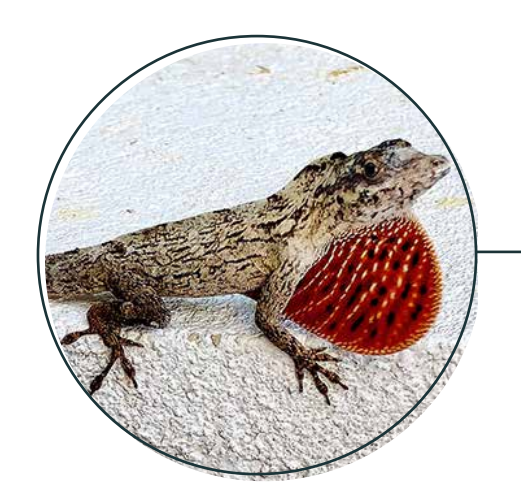
REPRESENTATIVIDAD ÁREAS PROTEGIDAS

62,4 %
Todas las áreas

62,1 %
PNN
RSC
Otras figuras







AUTORES R. Moreno-Arias, J. A. Velasco, M. H. Olaya-Rodríguez y G. F. Medina-Rangel

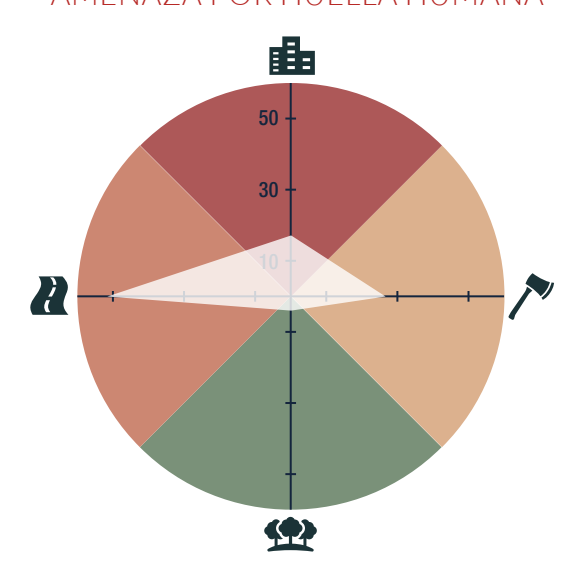
BIOMODELOS

Ø

CATÁLOGO DE LA BIODIVERSIDAD



AMENAZA POR HUELLA HUMANA



13,14 %

HÁBITAT Y MICROHÁBITAT



NT · Casi amenazado T

Anolis sulcifrons

ANOLIS ESTRIADO

ESTADÍSTICAS

RANGO DE DISTRIBUCIÓN

 $87\,085\,km^2$

184 571 km² PMC sobre modelo

16 383 km²
Remanente

278 510 km² PMC sobre modelo

107 578 km²

148 km²

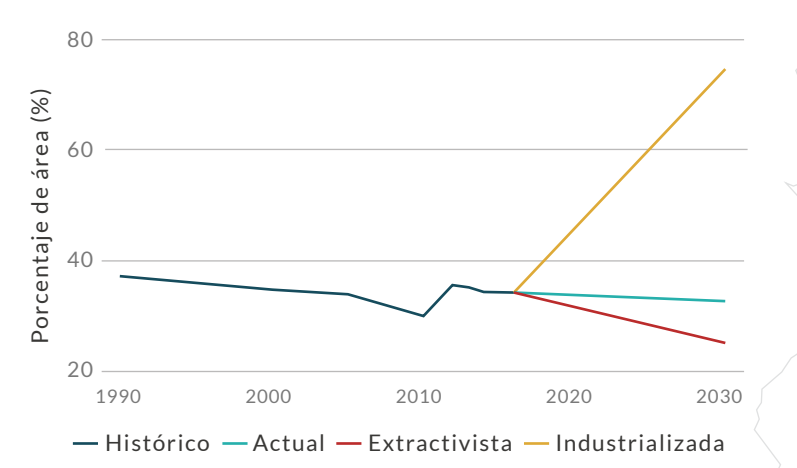
DISTRIBUCIÓN POR COBERTURAS

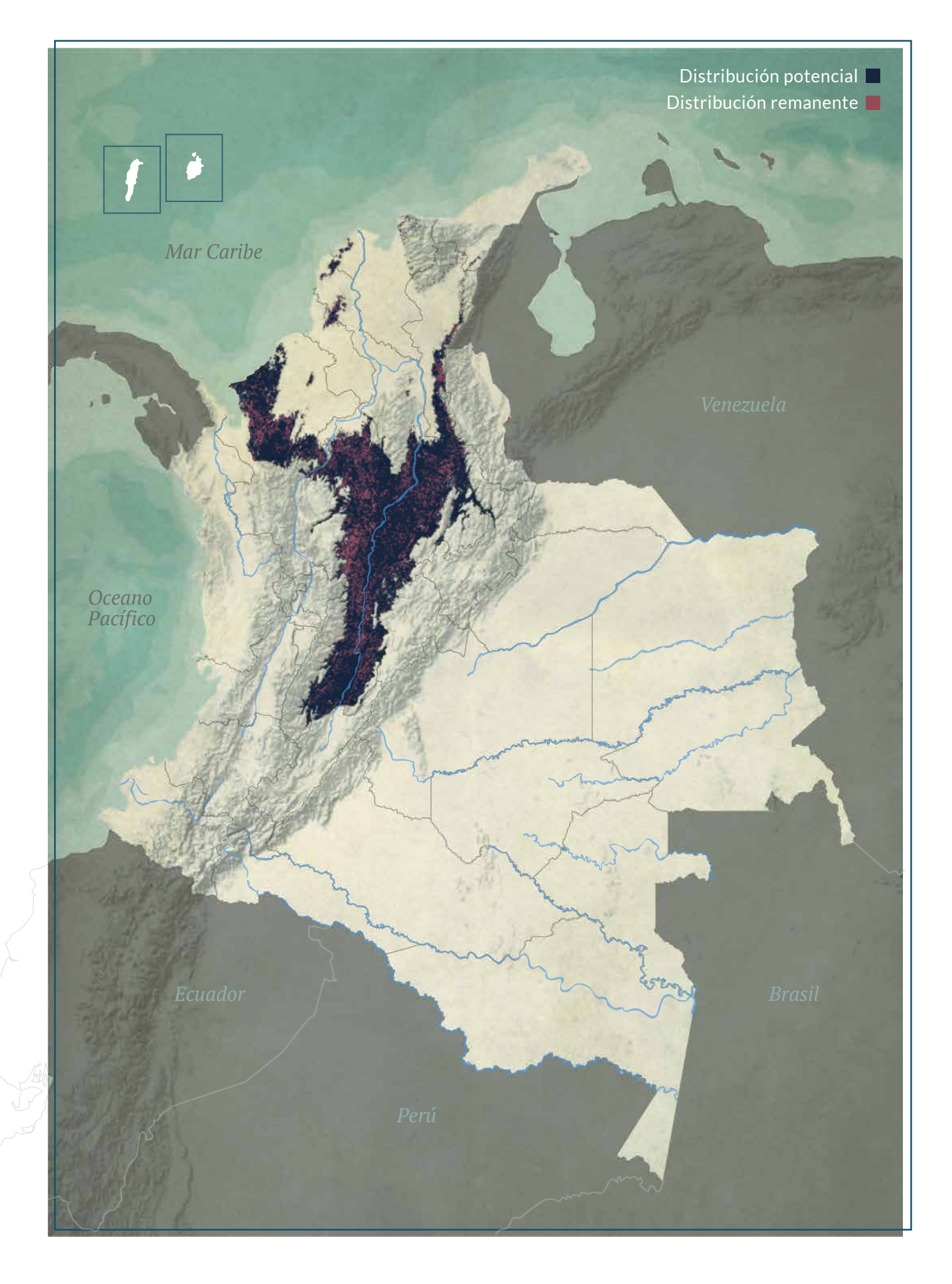
Vegetación secundaria o en transición
Bosque fragmentado Plantación forestal
Bosque de galería y ripario
Bosque abierto

REPRESENTATIVIDAD ÁREAS PROTEGIDAS

 12,6 %
 3,3 %
 0 %
 9,8 %

 Todas las áreas
 PNN
 RSC
 Otras figuras

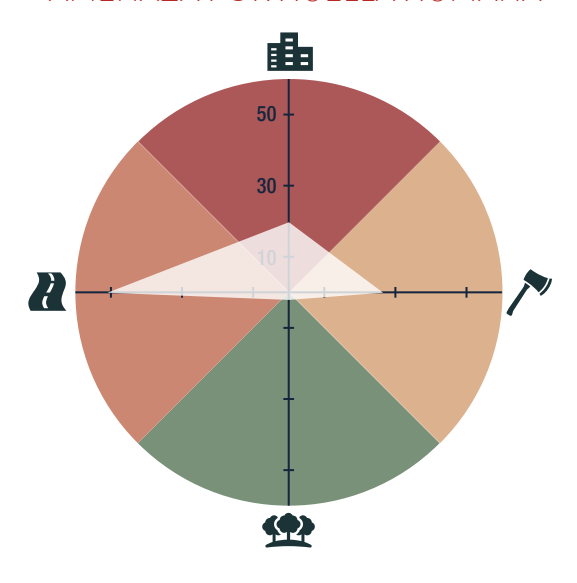






CATÁLOGO DE LA BIODIVERSIDAD

AMENAZA POR HUELLA HUMANA



9,77 %

HÁBITAT Y MICROHÁBITAT



C Preocupación menor

Anolis tolimensis

ANOLIS DEL TOLIMA

ESTADÍSTICAS

RANGO DE DISTRIBUCIÓN

 $18\,350\,km^2_{\text{Potencial}}$

49 371 km² PMC sobre modelo

2759 km²
Remanente

75 259 km² PMC sobre modelo

75 259 km²

84 km²

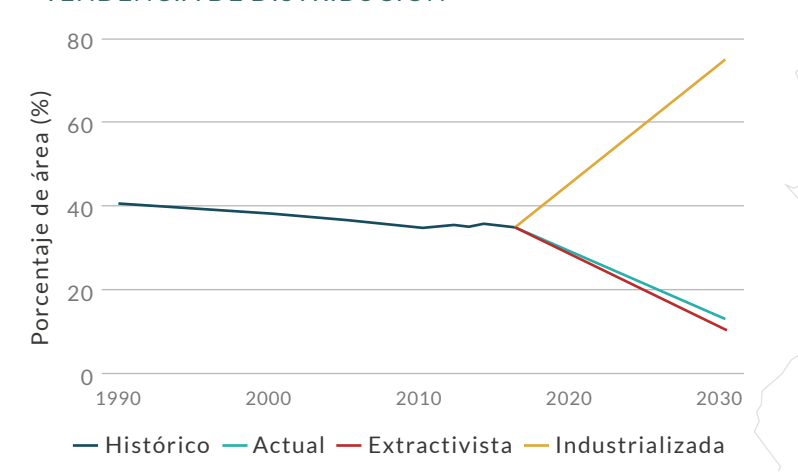
DISTRIBUCIÓN POR COBERTURAS

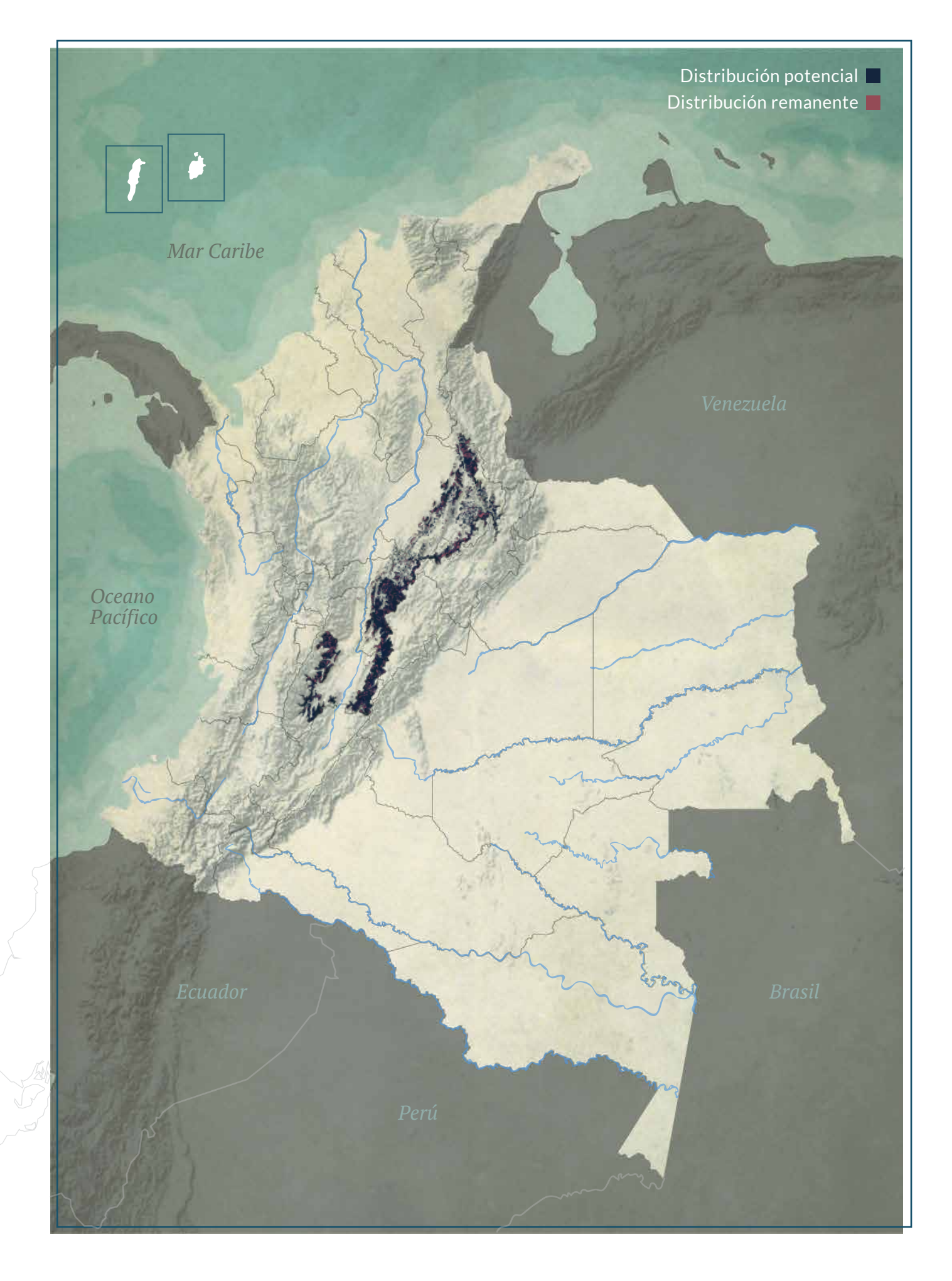
Vegetación secundaria o en transición
Bosque fragmentado Bosque abierto
Bosque de galería y ripario Plantación forestal
Arbustal

REPRESENTATIVIDAD ÁREAS PROTEGIDAS

 16,1 %
 0,5 %
 0,2 %
 15,5 %

 Todas las áreas
 PNN
 RSC
 Otras figuras



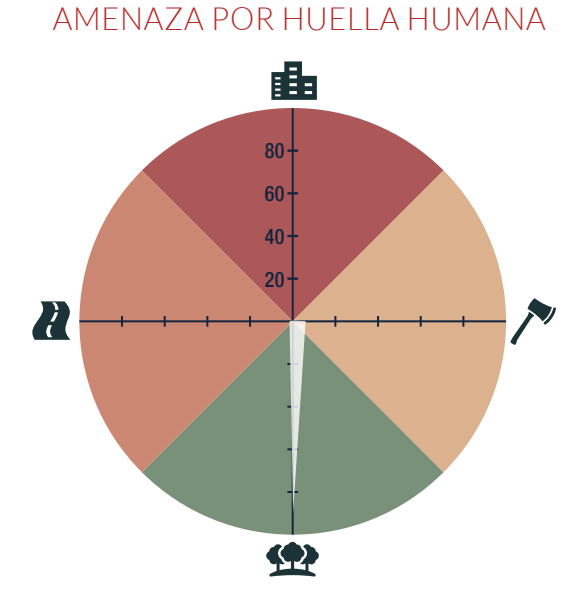




R. Moreno-Arias, J. A. Velasco y M. H. Olaya-Rodríguez BIOMODELOS



CATÁLOGO DE LA BIODIVERSIDAD



0,48 %

HÁBITAT Y MICROHÁBITAT





Anolis trachyderma

ANOLIS DE PIEL ÁSPERA

ESTADÍSTICAS

RANGO DE DISTRIBUCIÓN

 $162\,020\,km^2$

386 301 km² PMC sobre modelo

137 023 km²
Remanente

606 738 km² PMC sobre modelo

1068 346 km²

A00 **224 km**²

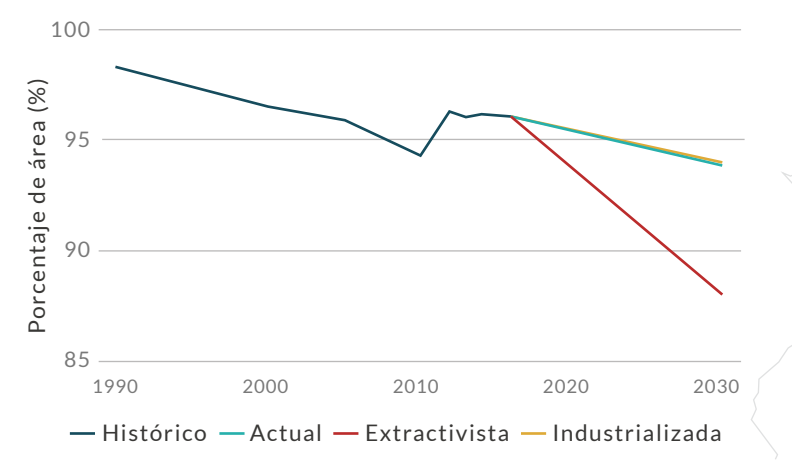
DISTRIBUCIÓN POR COBERTURAS

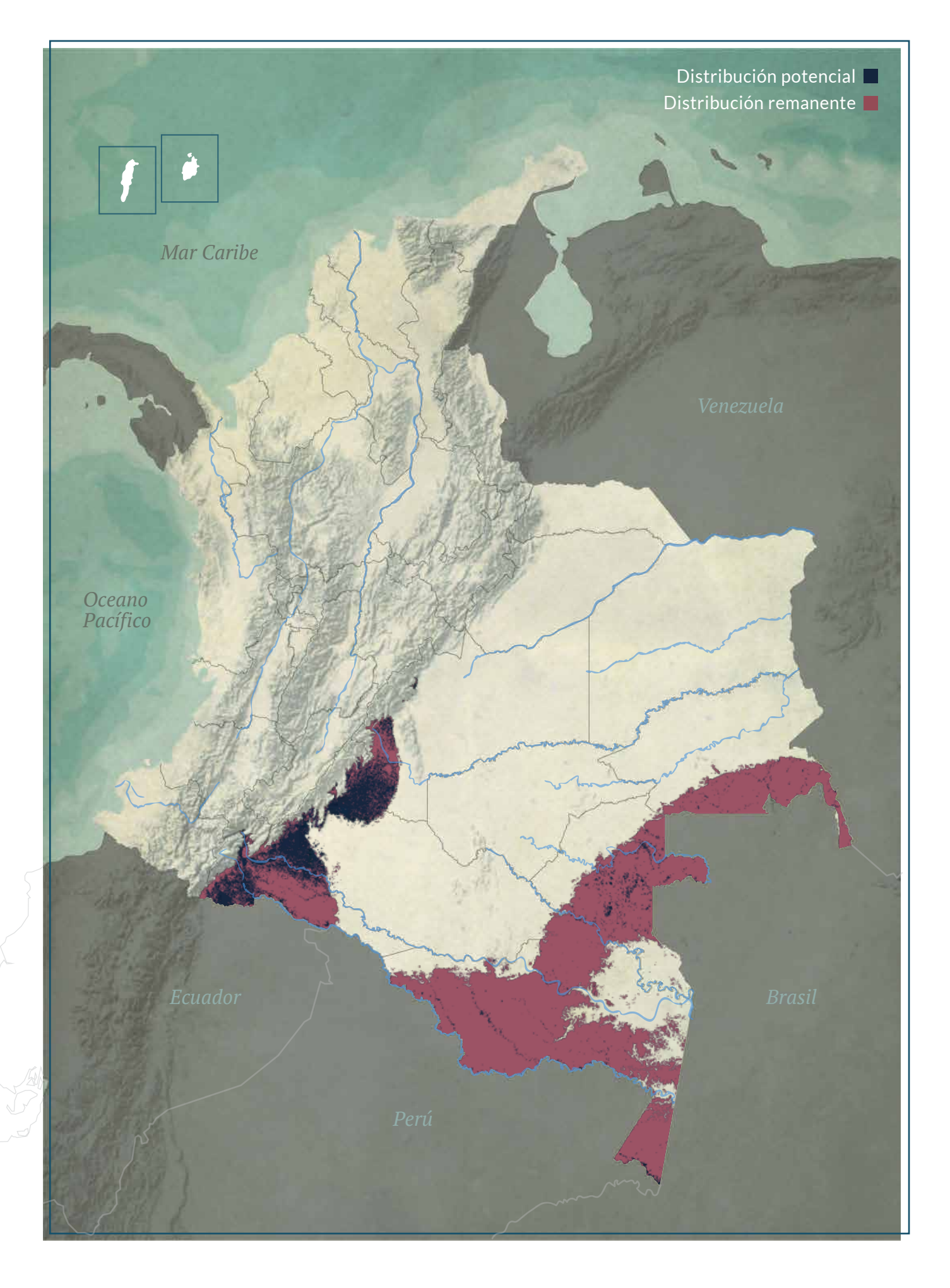
Bosque denso Bosque fragmentado Bosque de galería y ripario

REPRESENTATIVIDAD ÁREAS PROTEGIDAS

16,9 %
Todas las áreas

13 %
PNN
RSC
Otras figuras







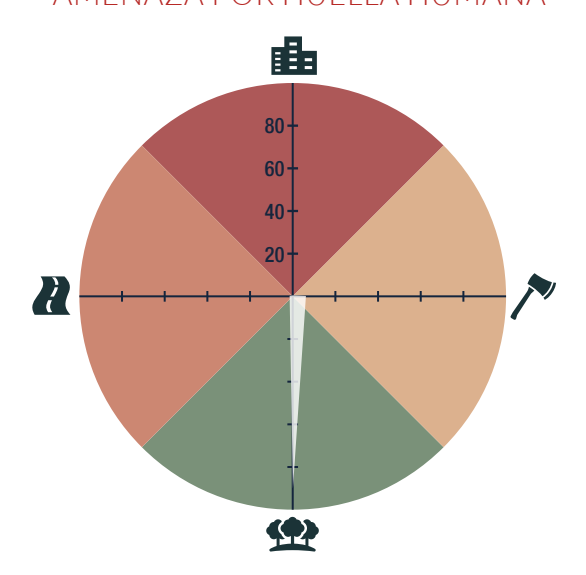
R. Moreno-Arias, J. A. Velasco, M. H. Olaya-Rodríguez y G. F. Medina-Rangel BIOMODELOS



CATÁLOGO DE LA BIODIVERSIDAD



AMENAZA POR HUELLA HUMANA



0,36 %

HÁBITAT Y MICROHÁBITAT





Anolis transversalis

ANOLIS BANDEADO

ESTADÍSTICAS

RANGO DE DISTRIBUCIÓN

224 245 km²
Potencial

413 249 km² PMC sobre modelo

187 011 km²
Remanente

611 064 km² PMC sobre modelo

1 270 477 km²

116 km²

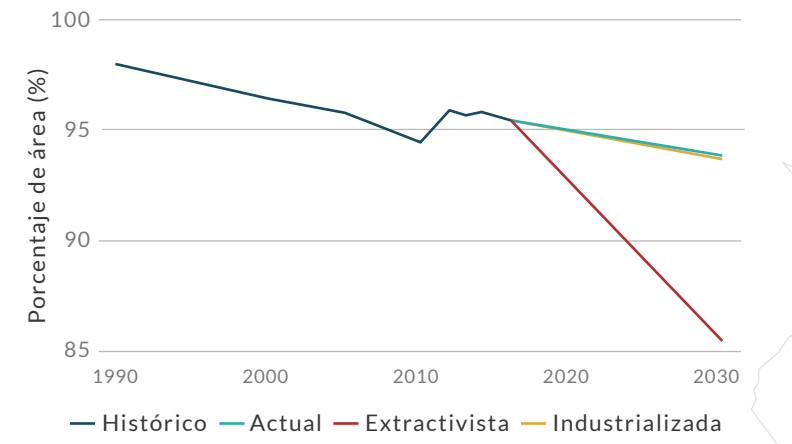
DISTRIBUCIÓN POR COBERTURAS

Bosque denso Bosque fragmentado Bosque de galería y ripario

REPRESENTATIVIDAD ÁREAS PROTEGIDAS

 21,8 %
 18,1 %
 0 %
 3,8 %

 Todas las áreas
 PNN
 RSC
 Otras figuras







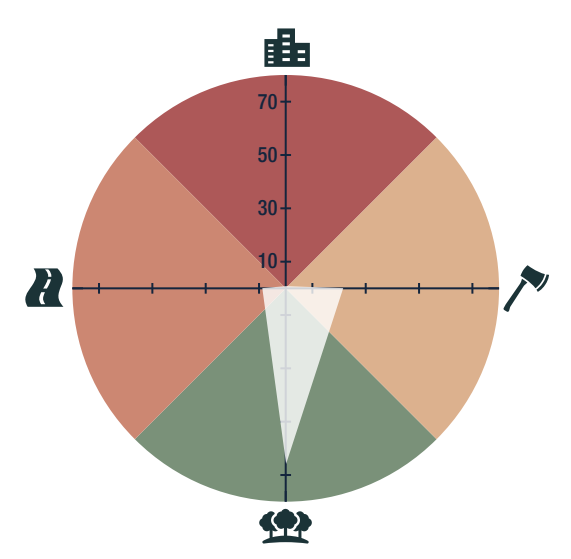
AUTORES R. Moreno-Arias, J. A. Velasco, M. H. Olaya-Rodríguez y G. F. Medina-Rangel

BIOMODELOS

@

CATÁLOGO DE LA BIODIVERSIDAD

AMENAZA POR HUELLA HUMANA



2,51%

HÁBITAT Y MICROHÁBITAT



NE · No evaluada T

Anolis triumphalis

ANOLIS DE LA VICTORIA

ESTADÍSTICAS

RANGO DE DISTRIBUCIÓN

 $28\,903\,km^2$

36 799 km² PMC sobre modelo

19 651km²
Remanente

59 797 km² PMC sobre modelo

E00 44 537 km²

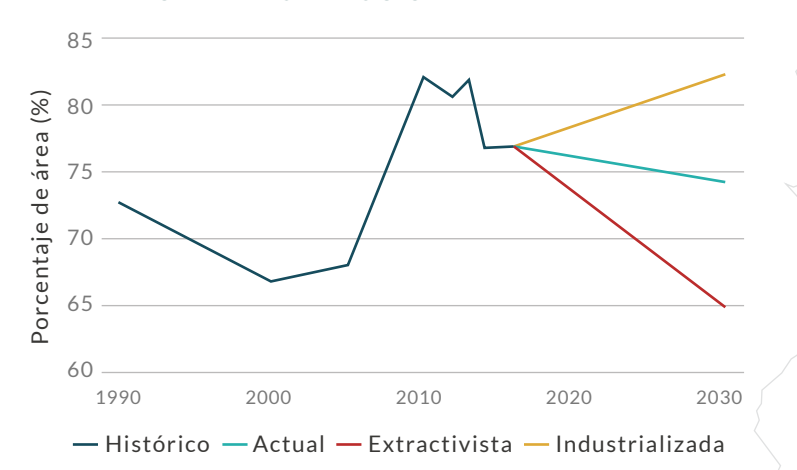
12 km²

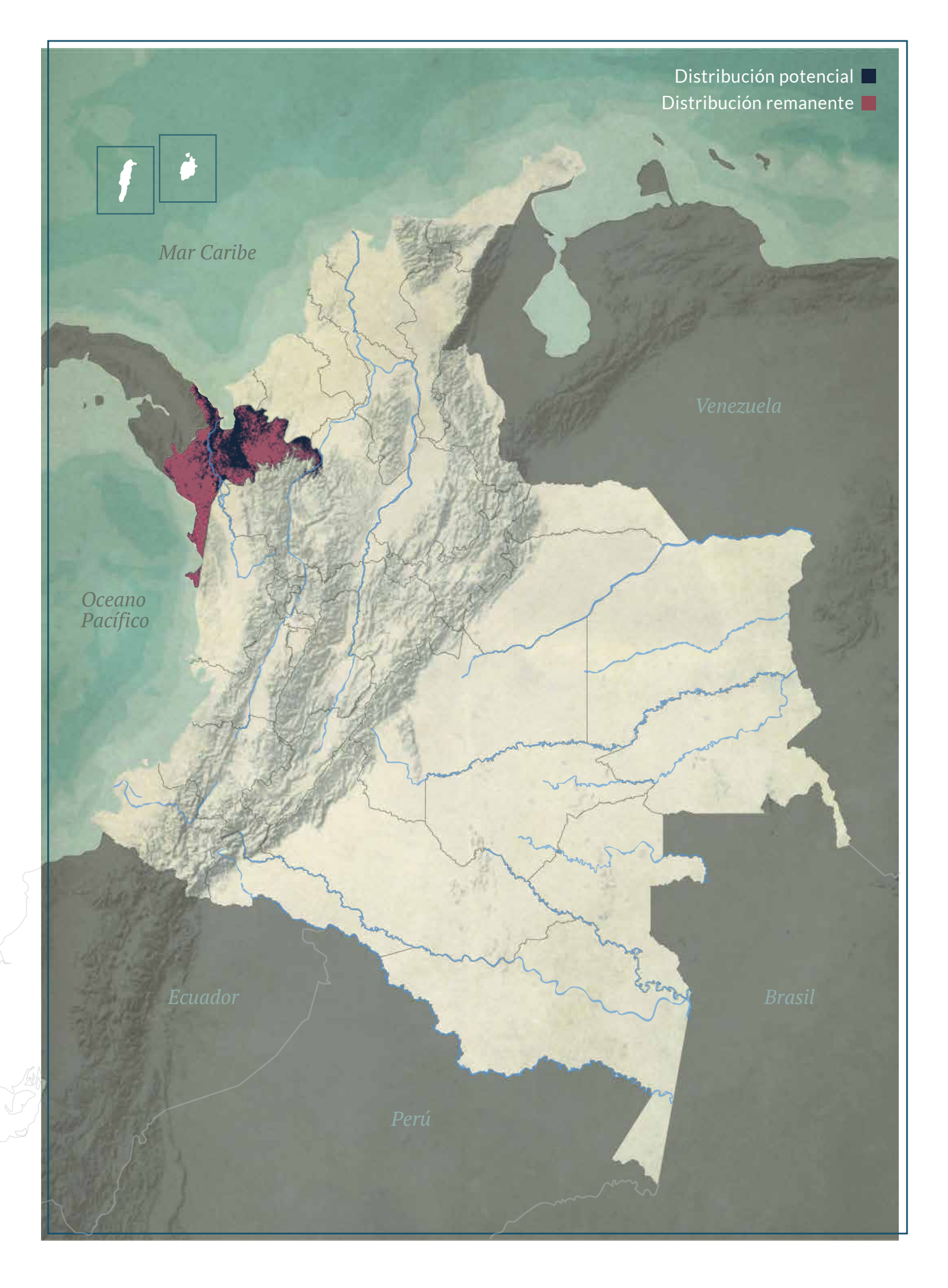
DISTRIBUCIÓN POR COBERTURAS

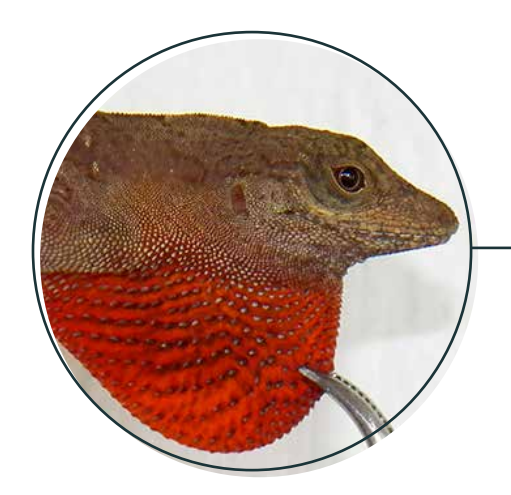
Bosque denso Bosque de galería y ripario Vegetación secundaria o en transición Bosque fragmentado Bosque abierto

REPRESENTATIVIDAD ÁREAS PROTEGIDAS

25,3 % 21 % 0 % 4,4 % Todas las áreas PNN RSC Otras figuras



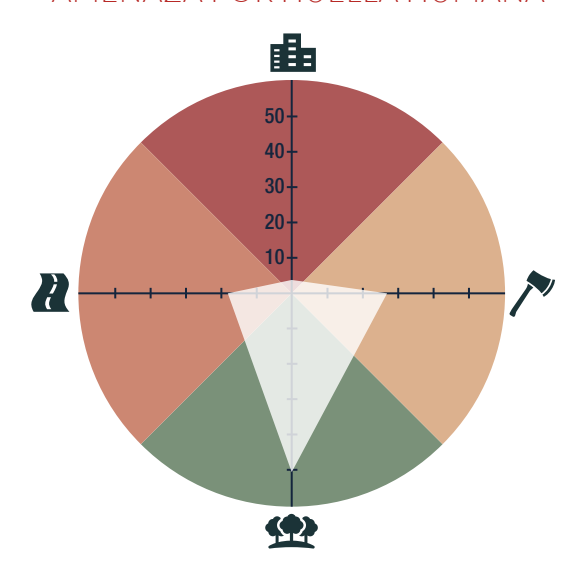






CATÁLOGO DE LA BIODIVERSIDAD

AMENAZA POR HUELLA HUMANA



12,54 %

HÁBITAT Y MICROHÁBITAT





Anolis tropidogaster

ANOLIS TROPICAL

ESTADÍSTICAS

RANGO DE DISTRIBUCIÓN

124 875 km²

209 144 km² PMC sobre modelo

50 955 km²
Remanente

194 875 km² PMC sobre modelo

108 320 km²

400 km²

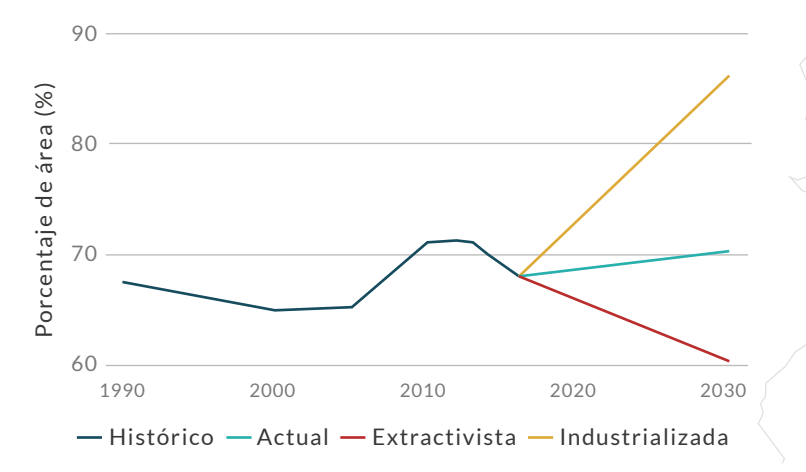
DISTRIBUCIÓN POR COBERTURAS

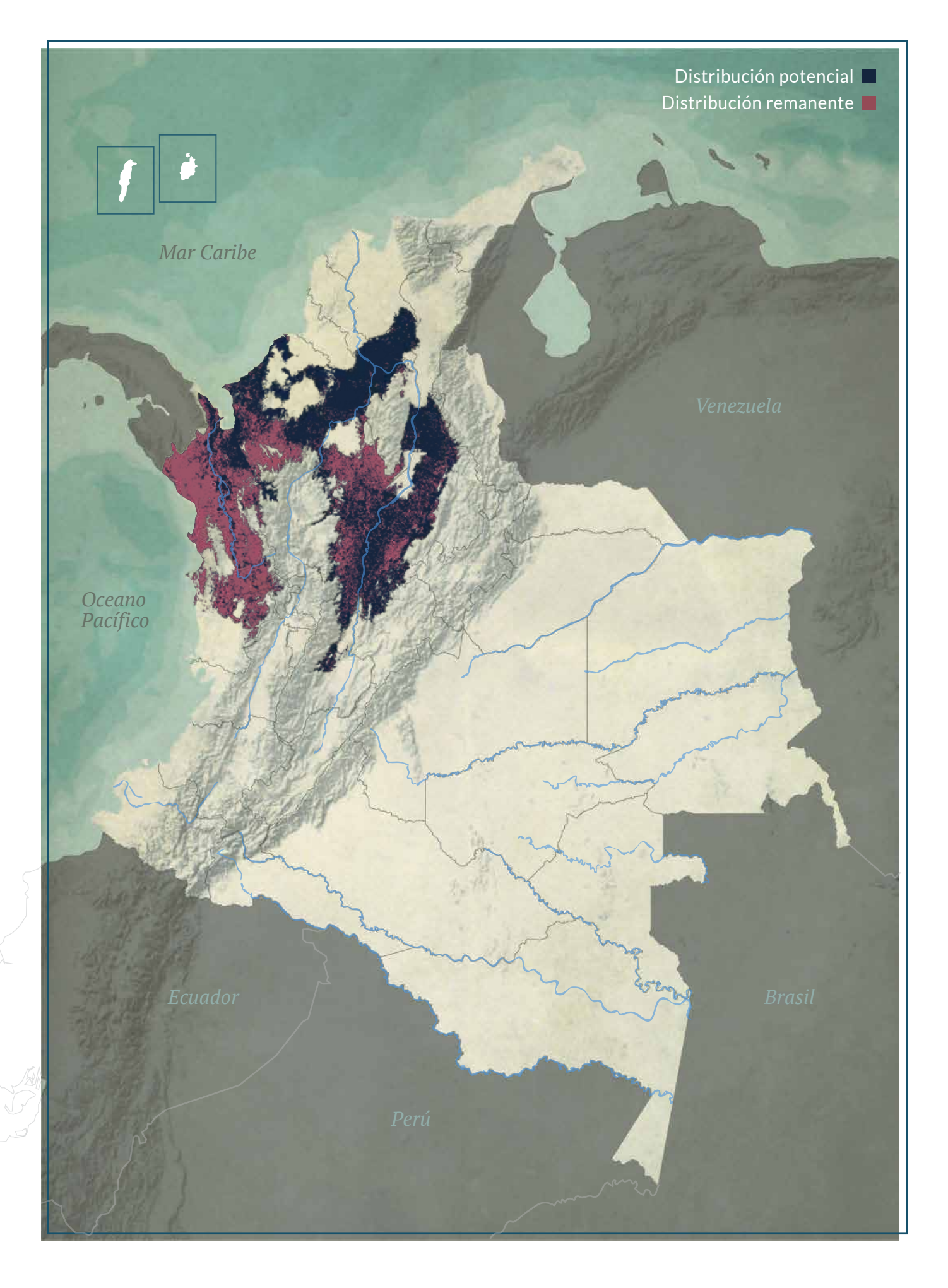
Bosque denso Bosque de galería y ripario Vegetación secundaria o en transición Bosque fragmentado Bosque abierto

REPRESENTATIVIDAD ÁREAS PROTEGIDAS

 14,2 %
 8,4 %
 0,2 %
 5,7 %

 Todas las áreas
 PNN
 RSC
 Otras figuras

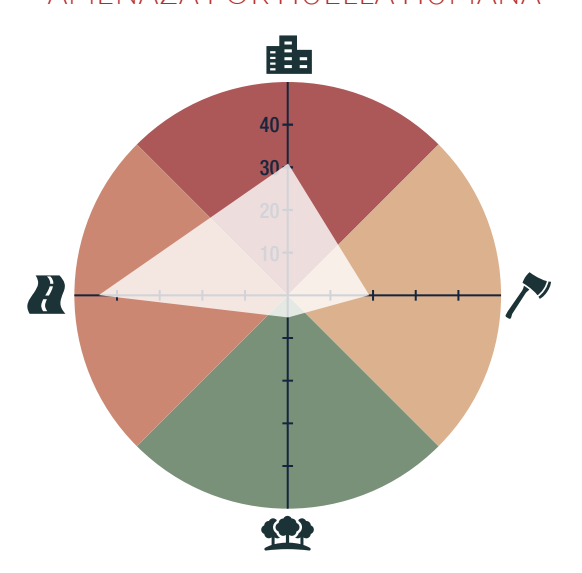




Ø

CATÁLOGO DE LA BIODIVERSIDAD

AMENAZA POR HUELLA HUMANA



13,56 % 🖨

HÁBITAT Y MICROHÁBITAT



NE · No evaluada (HA)

Anolis urraoi

ANOLIS DE URRAO

ESTADÍSTICAS

RANGO DE DISTRIBUCIÓN

3410 km²
Potencial

15 070 km² PMC sobre modelo

307 km²
Remanente

10 731 km² PMC sobre modelo

21 km²

A00 12 km²

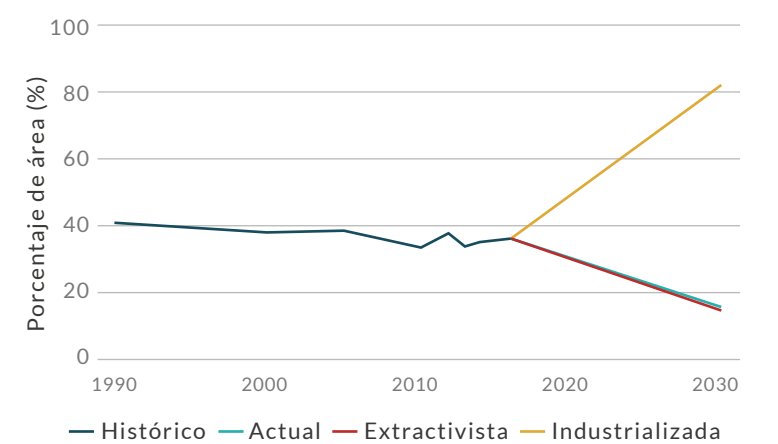
DISTRIBUCIÓN POR COBERTURAS

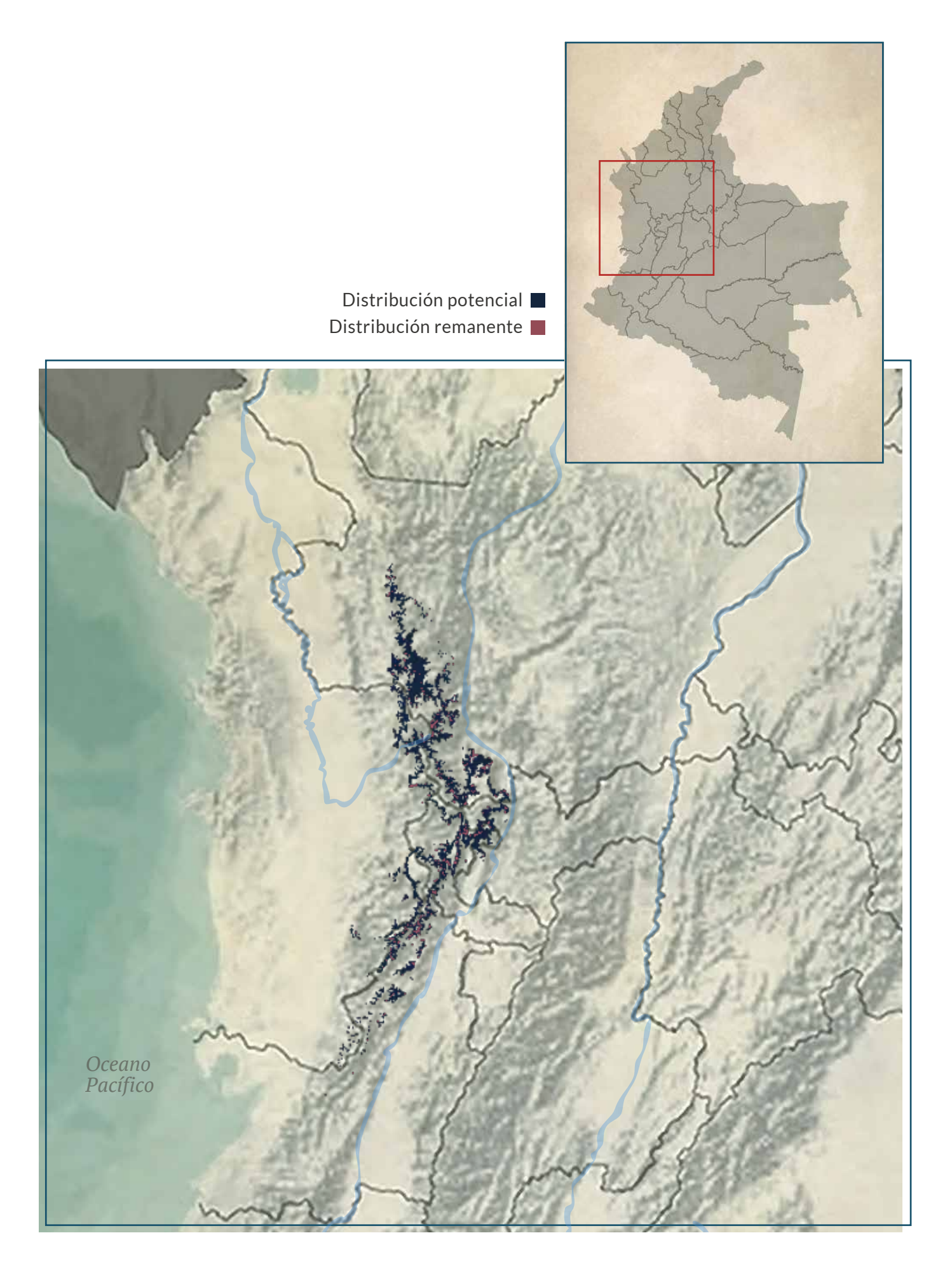
Vegetación secundaria o en transición Bosque de galería y ripario Arbustal Bosque abierto

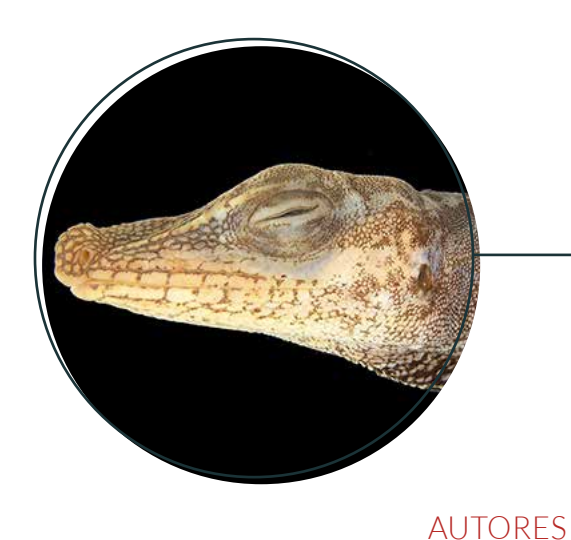
REPRESENTATIVIDAD ÁREAS PROTEGIDAS

 19,8 %
 0,1 %
 0,7 %
 19 %

 Todas las áreas
 PNN
 RSC
 Otras figuras







ESTADÍSTICAS

RANGO DE DISTRIBUCIÓN

LC · Preocupación menor (τς)

ANOLIS DEL VAUPÉS

Anolis vaupesianus

152 332 km²

326 713 km²

138 893 km²
Remanente

408 633 km² PMC sobre modelo

PMC sobre modelo

38 419 km²

Bosque denso

Bosque fragmentado Bosque de galería y ripario

24 km²

AMENAZA POR HUELLA HUMANA

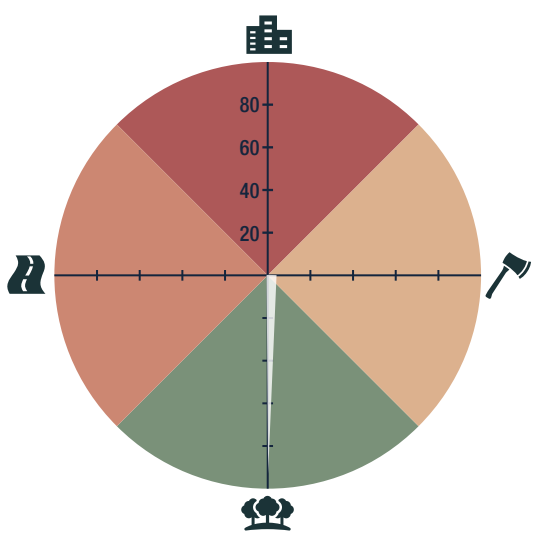
CATÁLOGO DE LA BIODIVERSIDAD

R. Moreno-Arias, J. A. Velasco

y M. H. Olaya-Rodríguez

BIOMODELOS

Ø



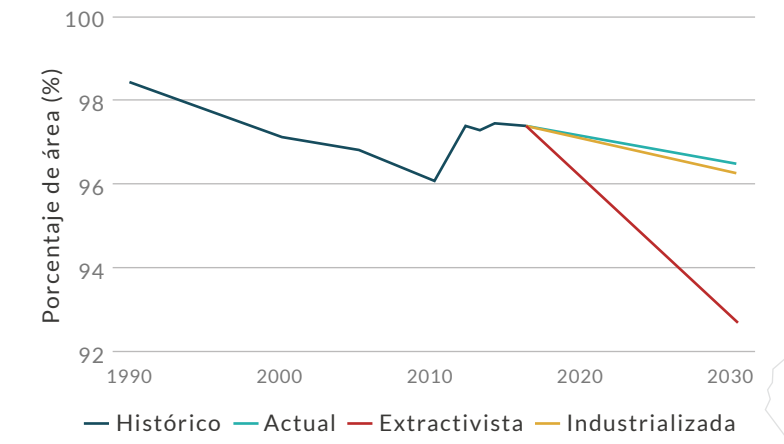
REPRESENTATIVIDAD ÁREAS PROTEGIDAS

DISTRIBUCIÓN POR COBERTURAS

21,2 %
Todas las áreas

21,2 %
PNN
RSC
Otras figuras

TENDENCIA DE DISTRIBUCIÓN



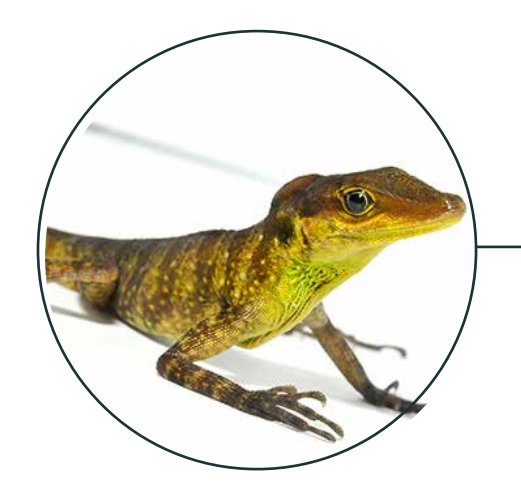
0,09 %

HÁBITAT Y MICROHÁBITAT





M Har Har



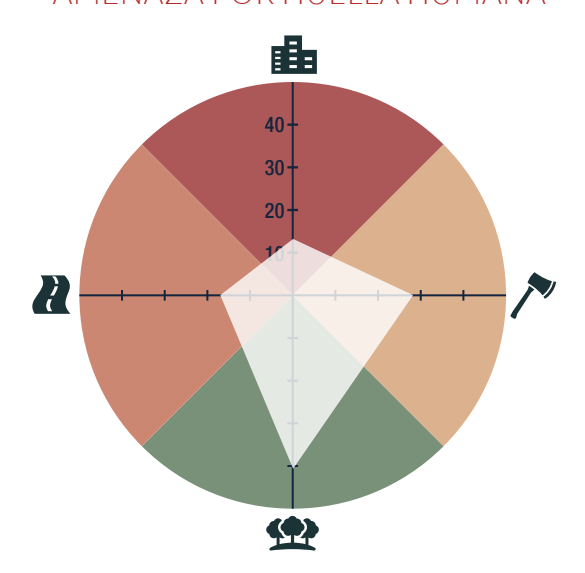
R. Moreno-Arias, J. A. Velasco, M. H. Olaya-Rodríguez y G. F. Medina-Rangel BIOMODELOS



CATÁLOGO DE LA BIODIVERSIDAD



AMENAZA POR HUELLA HUMANA



8,44 % 🖨

HÁBITAT Y MICROHÁBITAT





Anolis ventrimaculatus

ANOLIS DE VIENTRE MANCHADO

ESTADÍSTICAS

RANGO DE DISTRIBUCIÓN

 $20\,885\,km^2_{\text{Potencial}}$

83 294 km² PMC sobre modelo

6828 km²
Remanente

70 500 km² PMC sobre modelo

3881 km²

168 km²

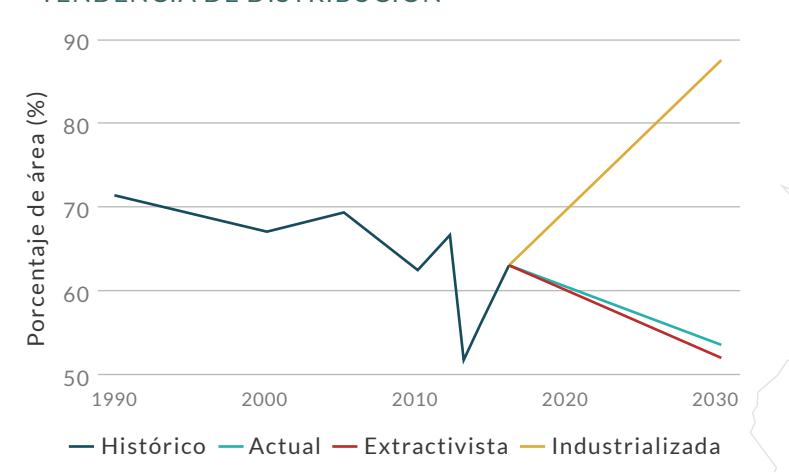
DISTRIBUCIÓN POR COBERTURAS

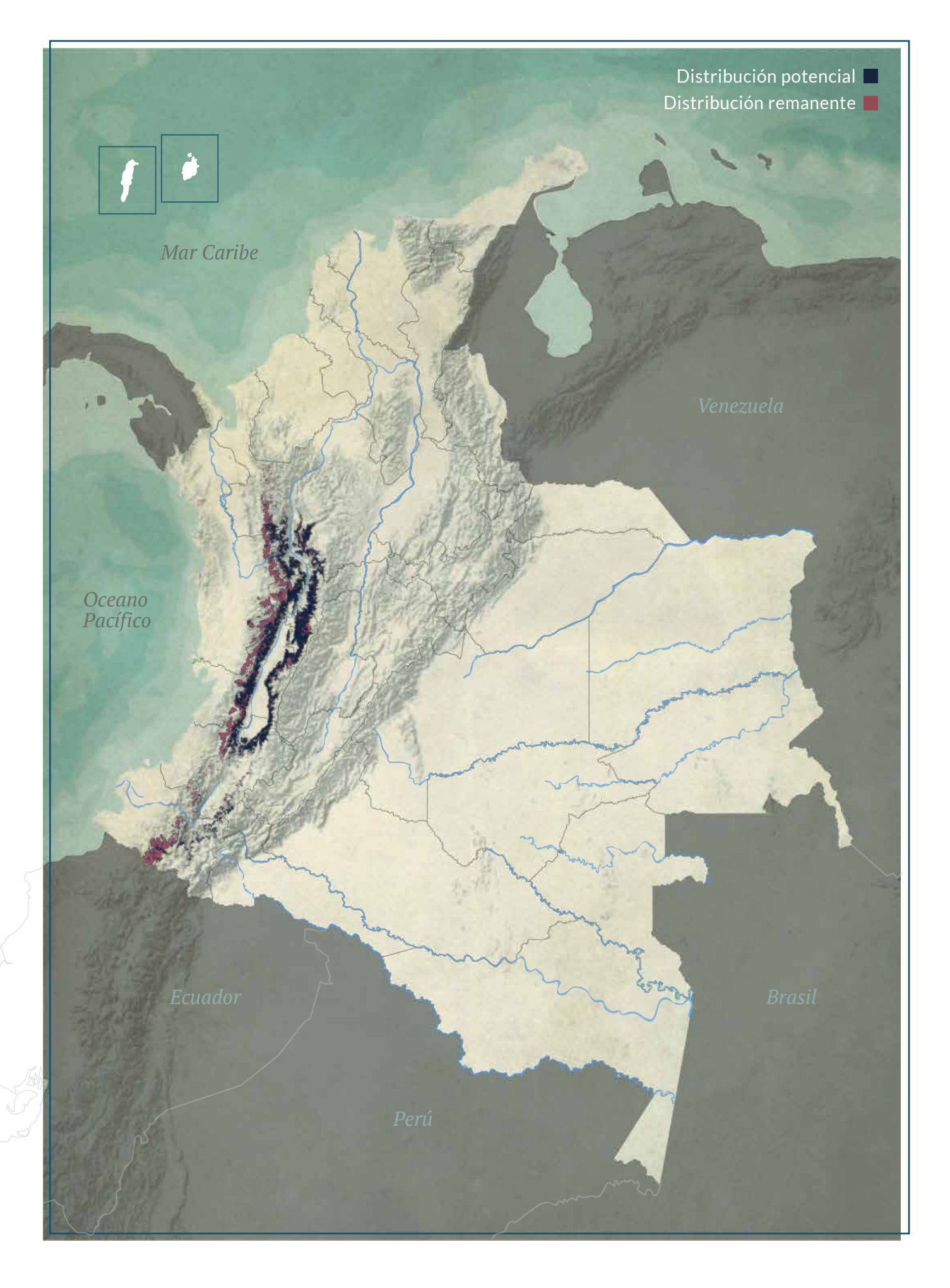
Bosque denso
Vegetación secundaria o en transición
Bosque fragmentado Arbustal
Bosque de galería y ripario Bosque abierto

REPRESENTATIVIDAD ÁREAS PROTEGIDAS

 17,2 %
 6,2 %
 0,2 %
 10,8 %

 Todas las áreas
 PNN
 RSC
 Otras figuras



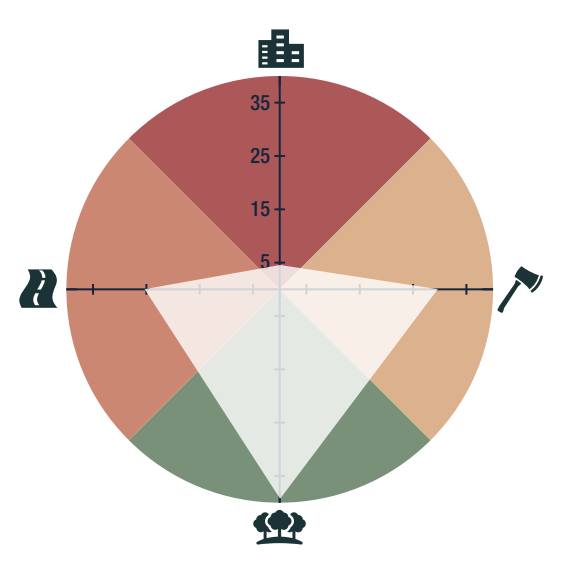




CATÁLOGO DE LA BIODIVERSIDAD

\$

AMENAZA POR HUELLA HUMANA



12,19 %

HÁBITAT Y MICROHÁBITAT





Anolis vittigerus

ANOLIS DE GARLAND

ESTADÍSTICAS

RANGO DE DISTRIBUCIÓN

 $112\,932\,km^2$

177 534 km² PMC sobre modelo

40 360 km²
Remanente

164 901 km² PMC sobre modelo

86 880 km²

A00 **244 km**²

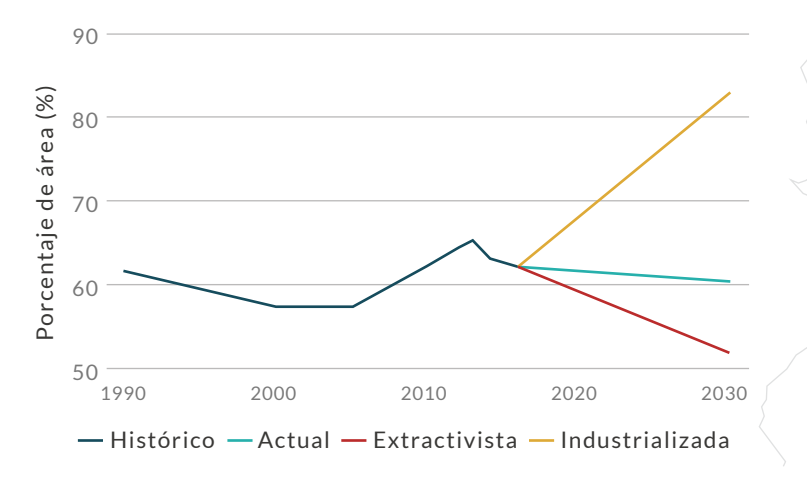
DISTRIBUCIÓN POR COBERTURAS

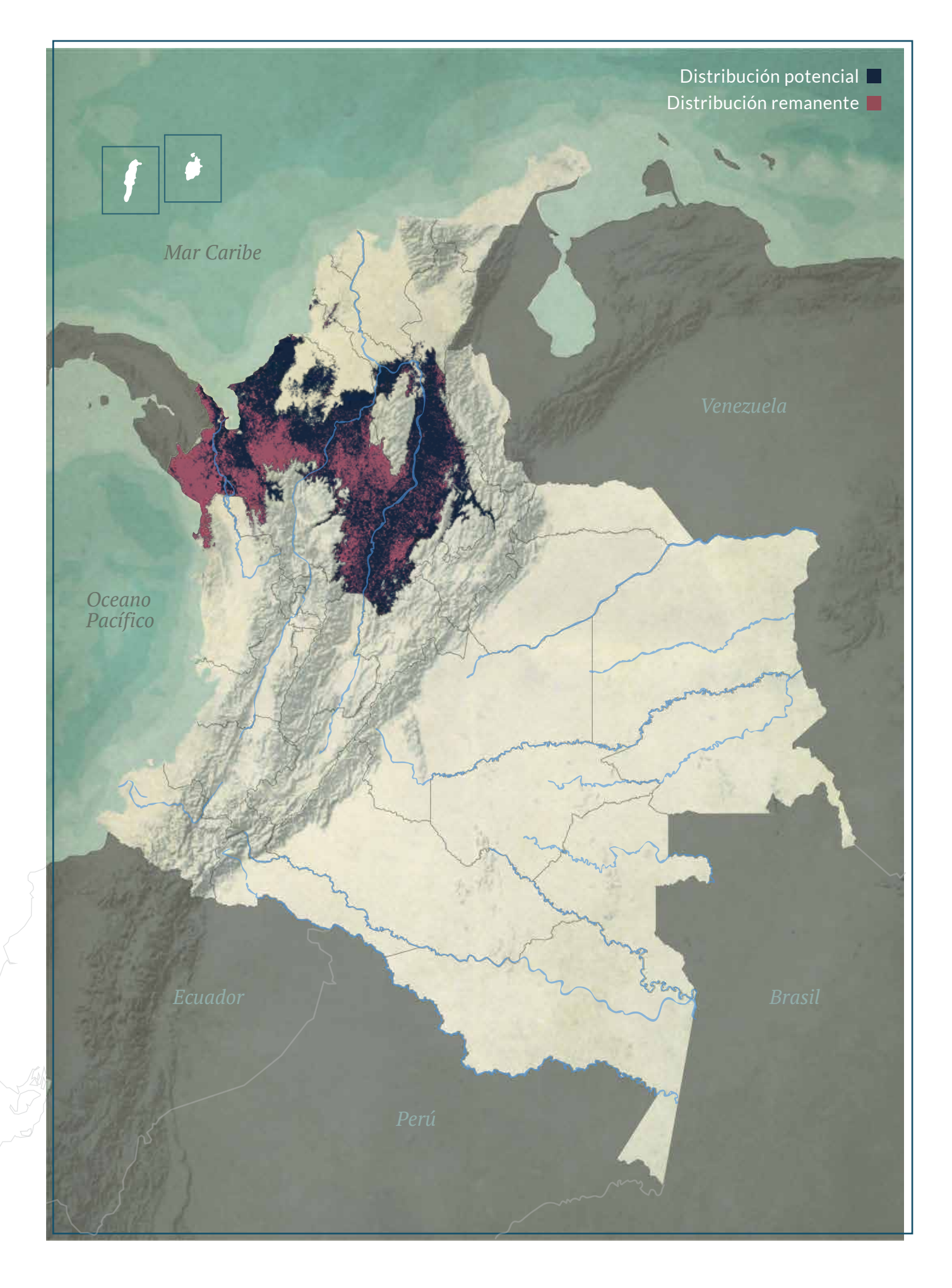
Bosque denso Bosque de galería y ripario Vegetación secundaria o en transición Bosque fragmentado Bosque abierto

REPRESENTATIVIDAD ÁREAS PROTEGIDAS

 19,4 %
 11,3 %
 0,2 %
 8 %

 Todas las áreas
 PNN
 RSC
 Otras figuras





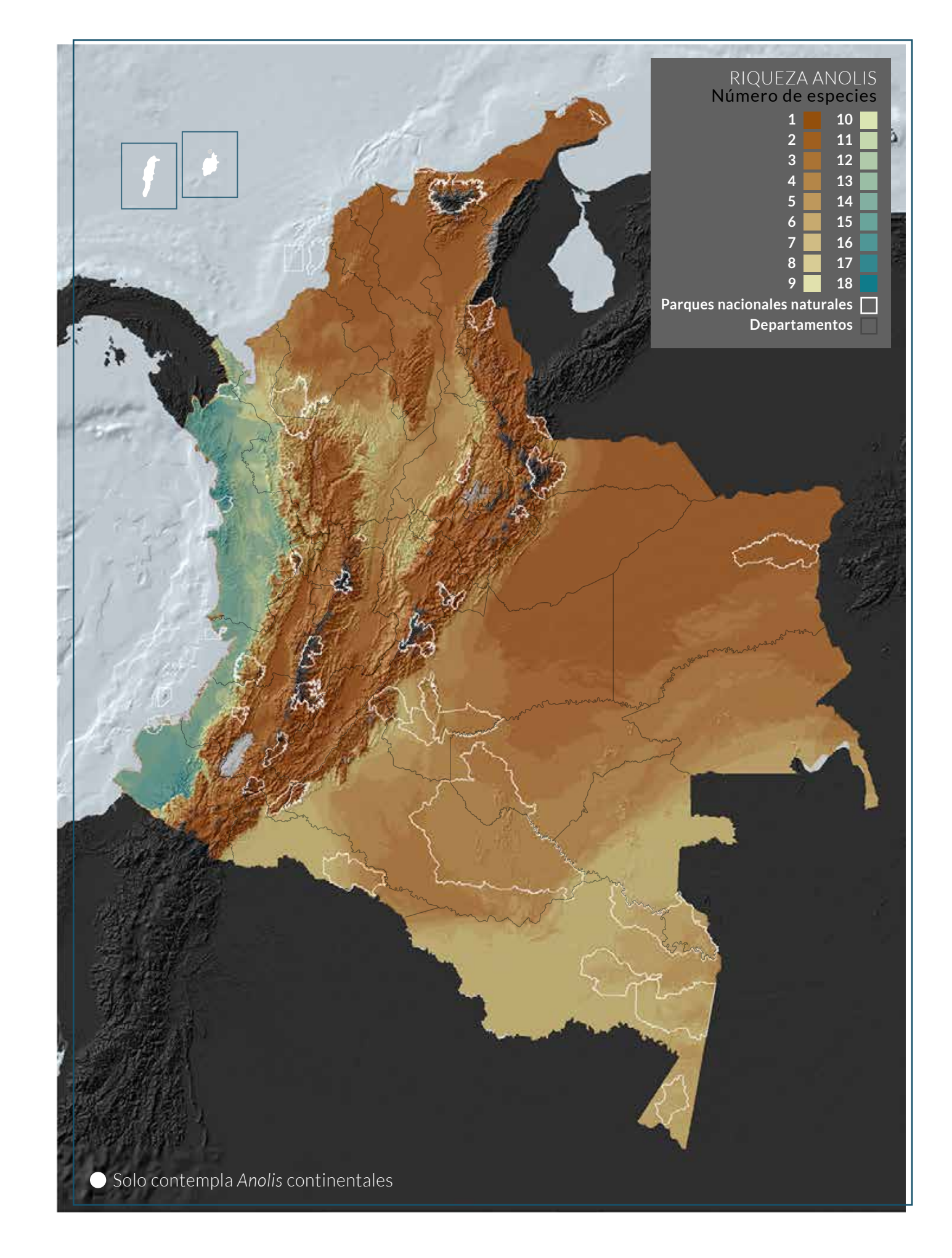
Riqueza potencial y distribución

RAFAEL MORENO ARIAS Y ELKIN NOGUERA

Los anolinos son un grupo de lagartijas muy llamativo porque representan la mayor diversidad de lagartijas arborícolas de Colombia. Cada especie se ha adaptado a condiciones particulares de los hábitats donde se encuentran, lo cual refleja una variedad de formas y comportamientos. Este grupo exhibe su mayor diversidad en los bosques húmedos tropicales y subandinos (Moreno-Arias et al., 2008; Rengifo-Palacios et al., 2021). En estos bosques se pueden encontrar desde el estrato de vegetación rasante hasta el dosel con algunas especies habitando preferencialmente en el interior y en el borde del bosque y en áreas de vegetación (Moreno-Arias et al., 2020). Este es un patrón asociado a sus preferencias de temperatura y grados de exposición a la luz del sol (Loew et al., 2002). Aunque son mayoritariamente terrestres algunas de ellas pueden tener hábitos semiacuáticos (Losos, 2009).

A pesar que estas lagartijas se pueden encontrar en casi todos ecosistemas del país, su afinidad a los ecosistemas boscosos permite considerarlas indicadoras de su estado (Rengifo-Mosquera et al., 2019). Las áreas con mayor número potencial de especies se encuentran en las regiones Pacífica y Amazonía, en áreas transformadas y con reducción de sus bosques (Sistema de Monitoreo de Bosques y Carbono, 2020), factor que incrementa los factores de amenaza sobre las especies (IUCN, 2021). Especies endémicas de la región Andina colombiana se enfrentan a esa misma problemática, en donde se estima que solamente el 27 % de los ecosistemas boscosos permanecen (Etter, 1993). Actualmente se ha demostrado que esa transformación de los ecosistemas ha afectado tanto el tamaño corporal de las poblaciones de Anolis antonii (Gallego-Carmona et al., 2016) como la dinámica de las poblaciones de Anolis heterodermus (Moreno-Arias y Urbina-Cardona, 2013), teniendo consecuencias sobre la disminución en las capacidades competitivas para A. antoni y una mayor vulnerabilidad a extinciones locales para A. heterodermus. El cambio climático es otra de las amenazas que enfrentan estas lagartijas en la alta montaña, al poseer habilidades de termorregulación ajustadas a regímenes de bajas temperaturas, se ven afectadas con el incremento en la temperatura ambiental (Méndez-Galeano et al., 2020).

Al sobreponer los BioModelos de las especies que contiene este Atlas, se logró determinar que el Pacífico colombiano registra la mayor concentración de especies -9 a 18-. Esta concentración se registra principalmente en el Chocó Biogeográfico, en el piedemonte de los departamentos del Chocó, Valle del Cauca, Cauca y Nariño. Posteriormente en valores de riqueza de especies, se registra la región de la Amazonia y el valle del río Magdalena, en cuyos hábitats podrían coexistir entre 6 a 9 especies. La región de los Andes, aunque presenta un bajo número de especies posee un alto endemismo, registrando desde una especie (A. heterodermus) en la franja paramuna hasta 5 especies en las regiones Andinas y sub andinas de las cordilleras Central y Oriental. Las regiones Orinoquia y Caribe evidencian la menor riqueza de anolis (-1 a 4- especies). Adicionalmente, se resalta la baja representatividad que tienen las áreas protegidas de orden nacional como instrumentos para la conservación de la diversidad de Anolis en áreas con alta riqueza de estas especies como el Chocó biogeográfico, su piedemonte y el valle del río Magdalena. Se sugiere continuar con el estudio línea base del grupo, implementar programas de conservación y monitoreo que se articulen con estrategias de evaluación de la transformación del paisaje y el cambio climático, especialmente en las regiones Amazónica, Andina y Pacífica.

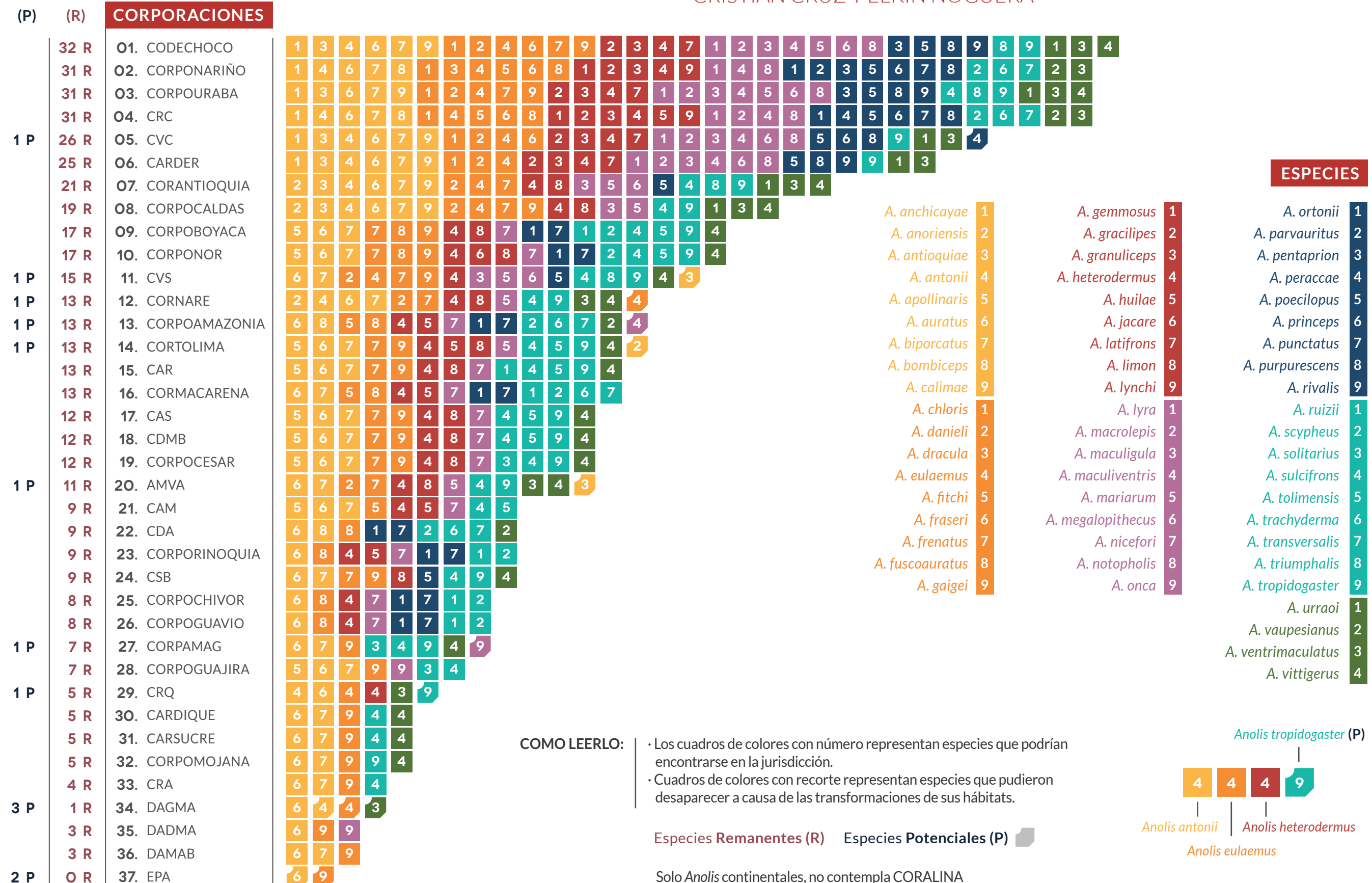


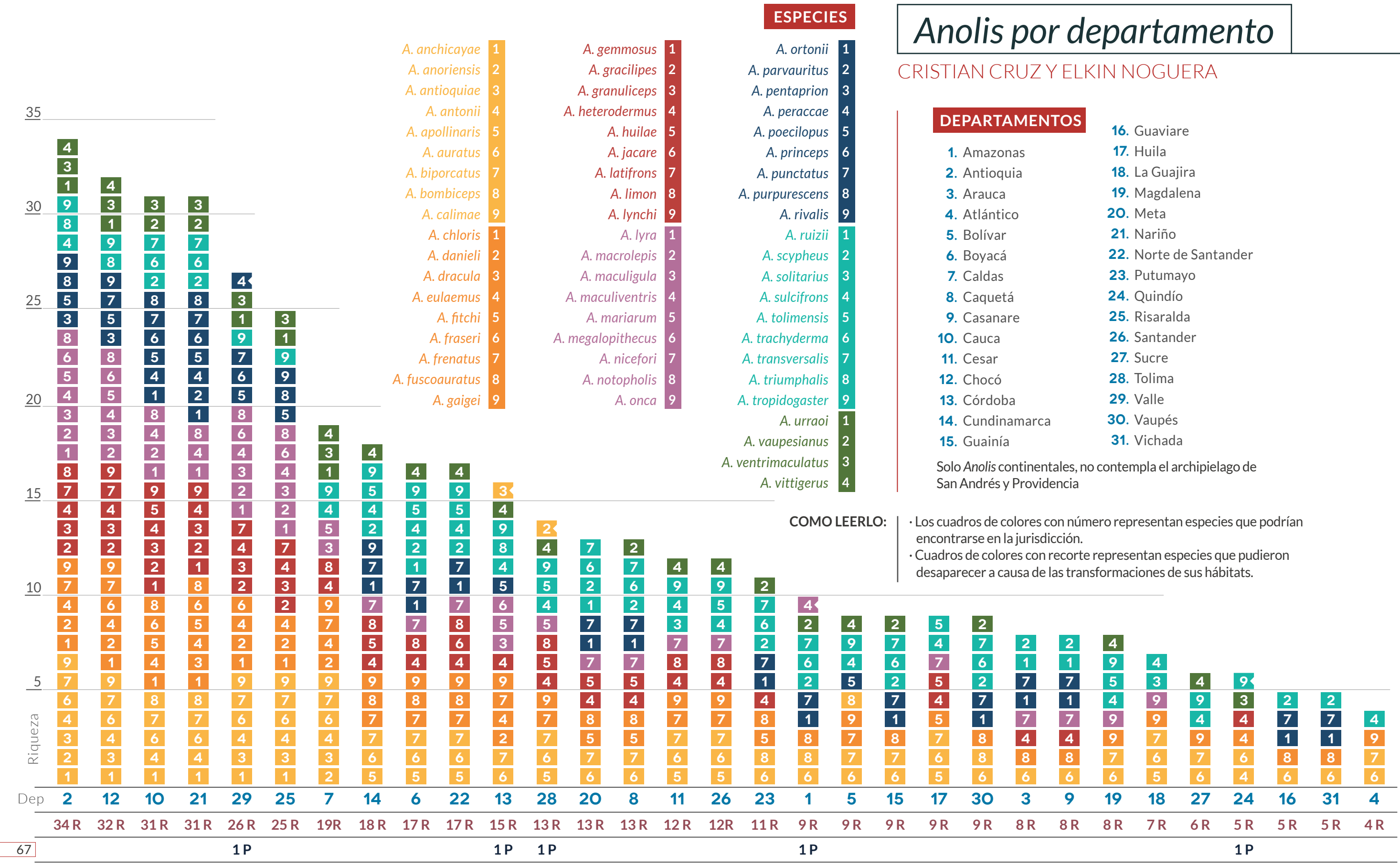
66

38. SDA

Anolis - autoridades ambientales

CRISTIAN CRUZ Y ELKIN NOGUERA





Los modelos de distribución de las especies de *Anolis* se obtuvieron en el marco de los proyectos de investigación posdoctoral "El papel del filtrado del hábitat y la filogenia en la estructuración de comunidades producto de una radiación adaptativa: un enfoque integrador" e "Integrando la diversidad taxonómica, funcional y filogenética de las comunidades de las lagartijas colombianas de hábito arborícola para la evaluación de los patrones de diversidad y la organización de las comunidades a diferentes escalas espaciales", estancias realizadas por el primer autor, Rafael Moreno Arias de la Pontificia Universidad Javeriana. Los modelos de distribución de las 58 especies de anolinos se publicaron en el año 2019 a través del formulario de publicación de modelos que se encuentra en la página web de BioModelos, siguiendo los estándares descritos en Velásquez-Tibatá *et al.*, (2019).

DATOS DE OCURRENCIA

Los registros de presencia se obtuvieron del estudio de Velasco et al., (2016) y a partir de la revisión de especímenes y ejemplares de las colecciones de reptiles del Instituto de Ciencias Naturales de la Universidad Nacional de Colombia (ICN) y del Instituto de Investigación de Recursos Biológicos Alexander von Humboldt (I.Humboldt). Los registros se complementaron con la revisión de literatura científica especializada (Grisales-Martínez et al., 2017; Marín et al., 2017; Yánez-Muñoz et al., 2018), observaciones de campo realizadas por el primer autor (Rafael Moreno-Arias) durante el mismo periodo y la medición de especímenes que aún están en proceso de catalogación en colecciones zoológicas del país. Después de eliminar registros duplicados (con exactamente la misma información asociada) y erróneos, se obtuvieron 2988 registros correspondientes a 58 especies y las especies restantes, registradas en el país, no fueron incluidas porque eran isleñas (5) o tenían un solo registro (15). El promedio de registros por especie fue de 52 (máximo 299 y mínimo tres) y solo dos especies tuvieron menos de cinco registros: A. triumphalis y A. megalopithecus (3 y 4 registros, respectivamente).

CAPAS AMBIENTALES

Se utilizaron 20 variables (30 segundos; ~1 km²) asociadas al hábitat de las especies de *Anolis*:

- Clima: 19 variables bioclimáticas derivadas de datos de precipitación y temperatura mensual obtenidos de estaciones meteorológicas para el periodo entre 1970-2000 (Fick & Hijmans 2017).
- Atributos físicos: variable de elevación de la Misión Topográfica Radar Shuttle versión 4.1.

Para cada especie se realizó la selección de variables tomando en cuenta aquellas poco colineales, considerando a la temperatura anual promedio (bio1) y la precipitación anual (bio12) como base y aquellas que no presentaran colinealidad con ellas.

Metodología

RAFAFI MORFNO ARIAS Y HFI FNA OLAYA

MODELAMIENTO*

Se utilizó el método de máxima entropía implementado en el programa MaxEnt versión 3.4.1 (Phillips *et al.*, 2018). Se mantuvieron las características predeterminadas del programa. Se desactivó la extrapolación en la configuración básica, se hicieron tres réplicas para cada especie considerando la salida logística; mientras que el umbral para obtener los mapas binarios de distribución potencial fue definido con base al décimo percentil de los registros de presencia. El modelo final correspondió al promedio de las tres réplicas y se evaluó con el valor promedio de AUC sensibilidad vs. especificidad de las réplicas usando el método de bootstrap.

EDICIÓN DE MODELOS

Con el objeto de reducir la sobrepredicción en los modelos, se eliminaron las porciones de área sobrantes entre el modelo y las áreas ecogeográficas Cisandina, Transandina o Andina propuestas por Moreno-Arias & Calderón-Espinosa (2016), teniendo en cuenta la distribución conocida de las especies en esas áreas. Luego se realizó un refinamiento de los modelos reteniendo las áreas del modelo que estaban por debajo del registro de menor altitud o por encima del de mayor altitud. Para el caso de modelos con subpredicción, se les adicionó el área respectiva teniendo en cuenta que cumpliera los requisitos de pertenecer a la región ecogeográfica inicial y estar en la franja altitudinal de los registros siguiendo el criterio de experto (Velásquez-Tibatá et al., 2019).

VALIDACIÓN POR EXPERTOS DE LOS MODELOS DE DISTRIBUCIÓN

Las hipótesis de distribución de cada una de las 58 especies de anolinos continentales de Colombia se publicaron en la plataforma BioModelos. Dichas hipótesis fueron evaluadas y calificadas por expertos del grupo Anfibios y reptiles (Squamata) de Colombia en BioModelos, considerando una escala de 1 a 5, donde 1 indica que el mapa no representa la distribución de la especie y 5 indica que el mapa es la representación más confiable de la distribución de la especie (Velásquez-Tibatá *et al.*, 2019). De esta forma se seleccionaron los modelos de distribución que tuvieran las mayores calificaciones (iguales o mayores a 3), obteniendo así los 58 mapas de distribución potencial de las especies de anolinos de Colombia.

^{*} El valor promedio de AUC sensibilidad vs. especificidad de los modelos fue de 0.97 (N = 58, SD = 0.03, min. = 0.82, máx. = 1.00). Para consultar las métricas de desempeño de los modelos siga el enlace a BioModelos en la ficha de cada especie y consulte los metadatos correspondientes al modelo de distribución.

MODELOS DE DISTRIBUCIÓN REMANENTE

Para generar los modelos de distribución remanente se utilizó el módulo de coberturas de la tierra disponible en BioModelos (Fig. 1). Este módulo que sigue la leyenda nacional de coberturas de la tierra en el nivel 3 de la metodología CORINE Land Cover -CLC- (Ideam, 2010), permitió a los expertos reportar las coberturas que habitan cada una de las 58 especies de anolinos de Colombia. Los mapas de distribución remanente se obtuvieron realizando la intersección de los mapas de distribución potencial con las coberturas adecuadas para cada especie según la información de coberturas de la tierra disponible para el periodo 2010-2012.

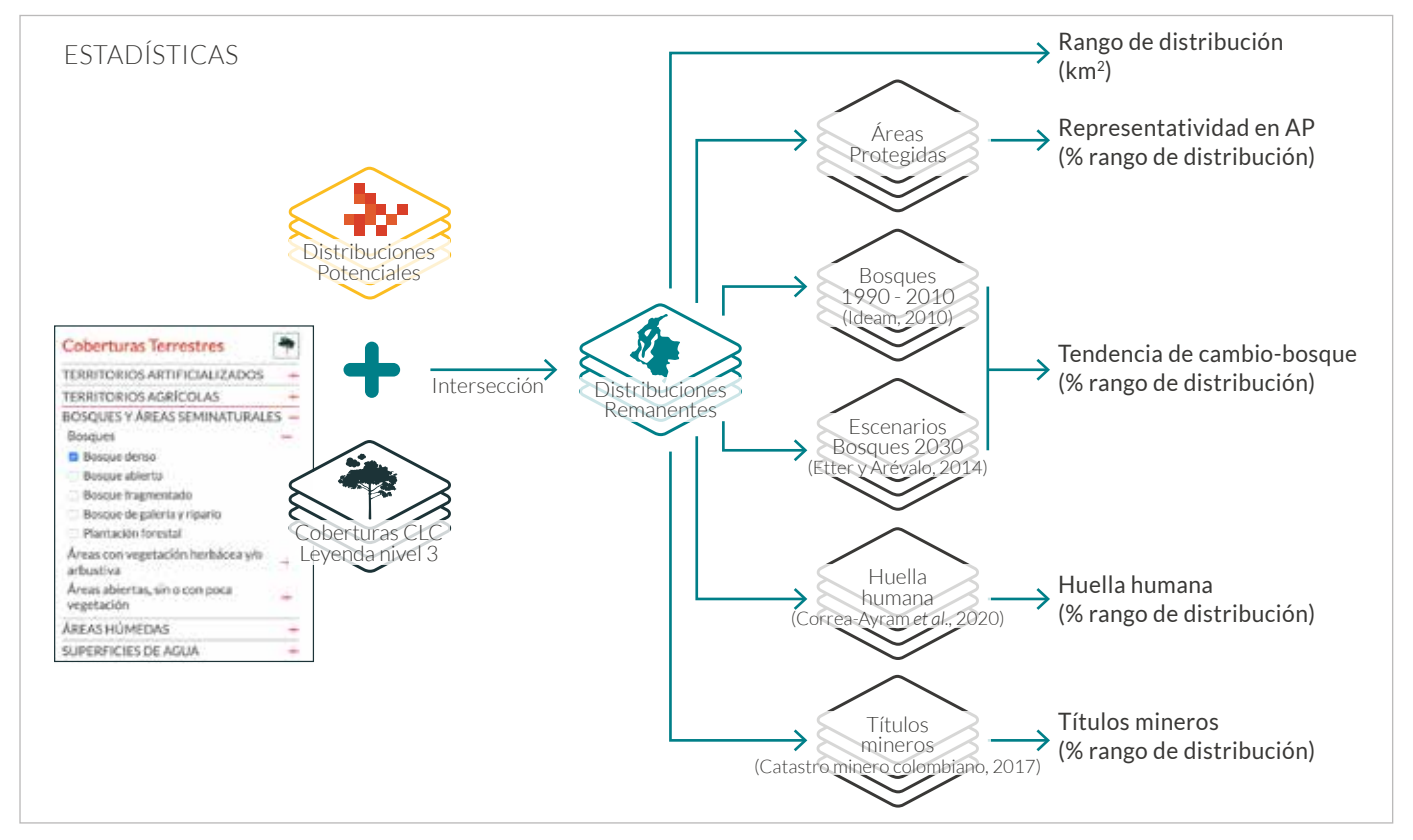


Fig. 1. Proceso espacial para la obtención de distribuciones remanentes y estadísticas.

CÁLCULO DE ESTADÍSTICAS

Con el fin de generar insumos para la evaluación de riesgo de extinción, basados en los registros y mapas de distribución potencial y remanente de cada especie, se calcularon las siguientes estadísticas en el lenguaje de programación *R* (R Core Team, 2016), utilizando los paquetes *data.table* (Dowle & Srinivasan, 2021), *dismo* (Hijmans *et al.*, 2020), *fasterize* (Ross, 2020), *raster* (Hijmans, 2021), *red* (Cardoso, 2020), *rgdal* (Bivand *et al.*, 2021), *rgeos* (Bivand y Rundel, 2020) y *sf* (Pebesma, 2018):

- Rango de distribución: área (km²) total de distribución de la especie (potencial o remanente) en Colombia.
- Extensión de ocurrencia: corresponde al área (km²) del polígono mínimo convexo que abarca todos los registros disponibles para la especie. Esta medida puede ser utilizada como insumo para evaluaciones de riesgo de extinción (p. ej. Renjifo *et al.*, 2014).
- Área de ocupación: Área de la distribución geográfica de una especie que está siendo realmente ocupada (evidencia de al menos un registro biológico) por dicha especie a una resolución de 2 x 2 km. Esta medida puede ser utilizada como insumo para evaluaciones de riesgo de extinción (p. ej. Renjifo et al., 2014).
- Representatividad en áreas protegidas: corresponde al porcentaje del área de distribución actual de cada especie que se encuentra bajo alguna figura de área protegida (Sinap, Reservas de Sociedad Civil y otras), de acuerdo a la información del registro único de áreas protegidas.
- Tendencias en coberturas de bosque: corresponde al área de coberturas boscosas en el rango de distribución remanente de cada especie entre 1990 y el 2010, calculada mediante la intersección entre las distribuciones remanentes y el producto bosque-no bosque del Ideam (Olaya-Rodríguez et al., 2018). Igualmente, se calculó mediante la intersección de las capas de escenarios futuros de deforestación desarrollados por Etter y Arévalo (2014) y las distribuciones remanentes de cada especie.
- Huella humana: utilizando los mapas de distribución remanente, se identificaron las áreas para las cuatro categorías de impacto por la huella humana (Correa-Ayram et al., 2020), mediante la intersección de ambas capas.
- Títulos mineros: utilizando los mapas de distribución remanente, se identificaron las áreas con títulos mineros vigentes (Catastro minero colombiano, 2017), mediante la intersección de ambas capas.
- Número de especies por departamento y jurisdicción de autoridad ambiental: Se cruzaron los modelos de distribución potencial y remanente con los límites político-administrativos por departamento y jurisdicción de autoridad ambiental, presentes en el Sistema de Ordenación Geográfica para la Planeación y el Ordenamiento Territorial (SIG-OT).

Referencias

- Bivand, R., Keitt, T. y Rowlingson, B. (2021). rgdal: Bindings for the 'Geospatial' Data Abstraction Library. R package version 1.5-23. https://CRAN.R-project.org/package=rgdal
- Bivand, B. y Rundel, C. (2020). rgeos: Interface to Geometry Engine Open Source ('GEOS'). R package version 0.5-5. https://CRAN.R-project.org/package=rgeos
- Cardoso, P. (2020). red: IUCN Redlisting Tools. R package version 1.5.0. https://CRAN.R-project.org/package=red
- Castañeda, M. R. y de Queiroz, K. (2011). Phylogenetic relationships of the Dactyloa clade of Anolis lizards based on nuclear and mitochondrial DNA sequence data. *Molecular phylogenetics and evolution* 61: 784–800.
- Catastro minero colombiano. (2017). En: Tierra minada. https://sites.google.com/site/tierraminada/ Fecha de descarga: [07/06/2019].
- Correa Ayram, C. A., Etter, A., Díaz-Timote, J., Ramírez, W. y Corzo, G. (2020). Spatiotemporal evaluation of the human footprint in Colombia: Four decades of anthropic impact in highly biodiverse ecosystems. *Ecological Indicators* 117: 106630. https://doi.org/10.1016/j.ecolind.2020.106630
- Dowle, M. y Srinivasan, A. (2021). data.table: Extension of `data.frame`. R package version 1.14.0. https://CRAN.R-project.org/package=data.table
- Etter, A. (1993). Diversidad ecosistémica en Colombia hoy. Pp 47-66. En: CEREC (ed). *Nuestra diversidad biótica*. Fundación Angel Escobar, Bogotá.
- Etter, A., y Arévalo, P. A. (2014). Escenarios futuros de la cobertura forestal en Colombia. En Biodiversidad 2014. Reporte de Estado y Tendencias de la Biodiversidad Continental de Colombia (pp. 57–58). Bogotá (Colombia): Instituto de Investigación de Recursos Biológicos Alexander von Humboldt.
- http://reporte.humboldt.org.co/biodiversidad/2014/cap2/210/
- Fick, S. E., y Hijmans, R. J. (2017). Worldclim 2: New 1-km spatial resolution climate surfaces for global land areas. *International Journal of Climatology* 37 (12): 4302-4315.
- Gallego-Carmona, C. A., Castro-Arango, J. A., y Bernal-Bautista, M. H. (2016). Effect of habitat disturbance on the body condition index of the Colombian endemic lizard *Anolis antonii* (Squamata: Dactyloidae). *South American Journal of Herpetology*, 11(3), 183-187.
- Grisales-Martínez, F. A., Velasco, J. A., Bolívar, W., Williams, E. E., y Daza, J. M. (2017). The taxonomic and phylogenetic status of some poorly known *Anolis* species from the Andes of Colombia with the description of a nomen nudum taxon. *Zootaxa* 4303: 213–230.

- Hijmans, R. J. (2021). raster: Geographic Data Analysis and Modeling. R package version 3.4-10. https://CRAN.R-project.org/package=raster
- Hijmans, R. J., Phillips, S., Leathwick, J. y Elith, J. (2020). dismo: Species Distribution Modeling. R package version 1.3-3. https://CRAN.R-project.org/package=dismo
- Ideam. (2010). Leyenda Nacional de Coberturas de la Tierra, metodología Corine *Land Cover* adaptada para Colombia, Escala 1:100.000. Bogotá: Instituto de Hidrología, Metereología y Estudios Ambientales.
- Igac. (2013). Mapa de corporaciones autónomas regionales, de desarrollo sostenible y autoridades ambientales urbanas. República de Colombia, Escala 1:2.500.000. Bogotá: Instituto Geográfico Agustín Codazzi.
- Igac. (2019). Cartografía básica digital integrada. República de Colombia, Escala 1:100.000. Versión 2 2017. Bogotá: Instituto Geográfico Agustín Codazzi. https://geoportal.igac.gov.co/contenido/datos-abiertos-cartografia-y-geografia
- IUCN. (2021). IUCN Red List of Threatened Species. Version 2021.1. IUCN 2021. IUCN Red List of Threatened Species. www.iucnredlist.org
- Loew, E. R., Fleishman, L. J., Foster, R. G., y Provencio, I. (2002). Visual pigments and oil droplets in diurnal lizards: a comparative study of Caribbean anoles. *Journal of Experimental Biology*, 205(7), 927-938.
- Losos, J. B. (2009). Lizards in an evolutionary tree. Berkeley: University of California Press.
- Losos, J. B., Jackman, T. R., Larson, A., De Queiroz, K., y Rodríguez-Schettino, L. (1998). Contingency and Determinism in Replicated Adaptive Radiations of Island Lizards. *Science* 279 (5359): 2115–2118.
- Mahler, D. L., Ingram, T., Revell, L. J., y Losos, J. B. (2013). Exceptional convergence on the macroevolutionary landscape in island lizard radiations. *Science* 341 (6143): 292-295.
- Marín, C. M., Vásquez-Restrepo, J. D., Sepúlveda, J. D., y Daza, J. M. (2017). On geographic distribution and morphological variation of the poorly known lizard *Anolis anoriensis* Velasco, Gutiérrez-Cárdenas y Quintero-Angel, 2010 (Squamata: Dactyloidae). *Herpetology Notes* 10: 643–645.
- Méndez-Galeano, M. A., Paternina-Cruz, R. F. y Calderón-Espinosa, M. L. (2020). The highest kingdom of *Anolis*: Thermal biology of the Andean lizard *Anolis heterodermus* (Squamata: Dactyloidae) over an elevational gradient in the Eastern Cordillera of Colombia. *Journal of Thermal Biology* 89: 102498.
- Morales-Betancourt, M. A., Lasso, C. A., Páez, V. P., y Bock, B. C. (2015). Libro Rojo de Reptiles de Colombia. Bogotá D.C. JAVEGRAF.
- Moreno-Arias, R. A., y Calderón-Espinosa, M. L. (2016). Patterns of morphological diversification of mainland *Anolis* lizards from northwestern South America. *Zoological Journal of the Linnean Society* 176: 632–647.

- Moreno-Arias, R. A., Bloor, P., y Calderón-Espinosa, M. L. (2020). Evolution of ecological structure of anole communities in tropical rain forests from north-western South America. *Zoological Journal of Linnean Society* 190 (1): 298-313.
- Moreno-Arias, R. A., Medina-Rangel, G. F. y Castaño-Mora, O. V. (2008). Lowland Reptiles of Yacopí (Cundinamarca, Colombia). Revista de La Academia Colombiana de Ciencias Exactas, Físicas y Naturales. 32 (122): 93-103.
- Moreno-Arias, R. A., y Urbina-Cardona, J. N. (2013). Population dynamics of the andean lizard *Anolis heterodermus*: Fast-slow demographic strategies in fragmented scrubland landscapes. *Biotropica* 45(2): 253-261.
- Nicholson, K. E., Crother, B. I., Guyer, C., y Savage, J. M. (2018). Translating a clade based classification into one that is valid under the international code of zoological nomenclature: the case of the lizards of the family Dactyloidae (Order Squamata). *Zootaxa* 4461: 573–586.
- Nicholson, K. E., Crother, B. I., Guyer, C. y Savage, J. M. (2012). It is time for a new classification of anoles (Squamata: Dactyloidae). *Zootaxa* 3477: 1–108.
- Olaya-Rodríguez, M. H., Velásquez-Tibatá, J., y Estupiñán-Suárez, L. M. (2018). Integrando la información de sensores remotos con modelos de distribución de especies para el monitoreo de la biodiversidad. Caso de estudio para las especies *Zamia amazonum* y *Zamia chigua*. *Biodiversidad En La Práctica*, 3(1), 74–98. Recuperado de: http://repository.humboldt.org.co/handle/20.500.11761/35155
- Pebesma, E. (2018). Simple Features for R: Standardized Support for Spatial Vector Data. *The R Journal* 10 (1): 439-446. https://doi.org/10.32614/RJ-2018-009
- Phillips, S. J., Dudík, M., y Schapire, R. E. (2018). Maxent software for modeling species niches and distributions (Versión 3.4.1). Disponible en: http://biodiversityinformatics.amnh.org/open_source/maxent/ Fecha de descarga: [01/11/2017].
- Phillips, S. J., Anderson, R. P., y Schapire, R. E. (2006). Maximum entropy modeling of species geographic distributions. *Ecological Modelling*, 190(3–4), 231–259. http://doi.org/10.1016/J.ECOLMODEL.2005.03.026
- Poe, S. (2013). 1986 Redux: New genera of anoles (Squamata: Dactyloidae) are unwarranted. *Zootaxa* 3626: 295.
- Poe, S., y Anderson, C. G., (2019). The existence and evolution of morphotypes in *Anolis* lizards: coexistence patterns, not adaptive radiations, distinguish mainland and island faunas. *PeerJ* 6: e6040.
- Poe, S., Nieto-Montes De Oca, A., Torres-Carvajal, O., De Queiroz, K., Velasco, J. A., Truett, B., Gray, L. N., Ryan, M. J., Köhler, G., Ayala-Varela, F., e lan Latella, A. (2017). A phylogenetic, biogeographic, and taxonomic study of all extant species of *Anolis* (Squamata; Iguanidae). *Systematic Biology* 66: 663–697.

- R Core Team. (2016). R: A language and environment for statistical computing. Vienna (Austria).
- Rengifo-Mosquera, J. T., Castro-Herrera, F., Purroy, F. J. y Rengifo-Palacios, M. Y. (2019). Importancia del género *Anolis* (Lacertilia: Dactyloidae), como indicadores del estado del hábitat, en un bosque pluvial tropical del Chocó. *Revista Colombiana de Ciencia Animal RECIA* 11(1). https://doi.org/10.24188/recia.v11.n1.2019.659
- Rengifo-Palacios, M. Y., Rengifo, J. T., & Serna, J. E. (2021). Diversidad de Anolis (Lacertilia: Dactyloidae) en bosque pluvial tropical, del Chocó-Colombia. Revista Colombiana de Ciencia Animal-RECIA, 13(1), e729-e729.
- Renjifo M., L. M., Gómez, M. F., Velásquez-Tibatá, J., Amaya-Villarreal, A. M., Kattán, G., Amaya-Espinel, J. D., y Burbano-Girón, J. (2014). *Libro rojo de aves de Colombia, volumen* 1, *Bosques húmedos de los Andes y la costa pacífica*. Bogotá: Pontificia Universidad Javeriana. Recuperado de:

http://repository.humboldt.org.co/handle/20.500.11761/32545

- Ross, N. (2020). fasterize: Fast Polygon to Raster Conversion. R package versión 1.0.3. https://CRAN.R-project.org/package=fasterize
- Sistema de Monitoreo de Bosques y Carbono. (2020). Boletín de Detección Temprana de Deforestación. Bogotá D. C., Colombia. Recuperado de:

http://smbyc.ideam.gov.co/AdmIF/KML/img/boletines/Boletin24.pdf

- The Consortium for Spatial Information (CGIAR-CSI). SRTM version 4.1. Disponible en: https://cgiarcsi.community/data/srtm-90m-digital-elevation-database-v4-1/Fecha de descarga: [01/11/2017].
- Velasco, J. A., Martínez-Meyer, E., Flores-Villela, O., García, A., Algar, A. C., Köhler, G., Daza, J. M. (2016). Climatic niche attributes and diversification in *Anolis* lizards. *Journal of Biogeography* 43: 134–144.
- Velásquez-Tibatá, J., Olaya-Rodríguez, M. H., López-Lozano, D., Gutiérrez, C., González, I., y Londoño-Murcia, M. C. (2019). BioModelos: a collaborative online system to map species distributions. *PLoS ONE* 14(3): e0214522. https://doi.org/10.1371/journal.pone.0214522
- Williams, E. E. (1972). The origin of faunas. Evolution of lizard congeners in a complex island fauna: A trial analysis. *Evolutionary Biology* 6: 47–89.
- Yánez-Muñoz, M. H., Reyes-Puig, C., Reyes-Puig, J. P., Velasco, J. A., Ayala-Varela, F., y Torres-Carvajal, O. (2018). A new cryptic species of *Anolis* lizard from northwestern South America (Iguanidae, Dactyloinae). *ZooKeys* 2018: 135–163.
- Uetz, P., Freed, P., y Hošek, J. (2019). The Reptile Database, http://www.reptile-database.org. Fecha de consulta: [11/12/2019]